Perturbazioni della Temperatura

Un'analisi scientifica del pianeta Marte e della sua influenza su terrorismo, precipitazioni e crolli dei mercati azionari

Antonio di Boston

Questo libro è diviso in tre articoli scientifici separati che utilizzano analisi scientifiche credibili per spiegare come il pianeta Marte influenza gli affari terreni attraverso la sua attrazione gravitazionale. Questo effetto gravitazionale influenza le fluttuazioni della temperatura, che a loro volta influenzano il clima e il comportamento umano. Ciò ci consente di applicare i fatti scientifici a modelli predittivi in cui la correlazione è vicina al 100%. Di conseguenza, dai dati possiamo concludere che la correlazione indica effettivamente una relazione causale.

I primi due articoli forniscono giustificazione scientifica e prova che i dati che mostrano la connessione tra gli attacchi missilistici a Gaza e il crollo del mercato azionario con la configurazione del pianeta Marte rispetto alla Terra dimostrano che esiste una connessione tra la fisica a livello astrofisico , le conseguenze meteorologiche e il loro impatto sui processi biologici degli organismi terrestri che esibiscono determinati comportamenti.

Il terzo articolo fa osservazioni acute che pongono una connessione tra l'allineamento della Luna e di Marte e la tempistica dei fenomeni di precipitazione estrema in Medio Oriente.

Questo libro si basa su studi del 2014 e del 2024 per chiarire le basi scientifiche della ricerca. Entrambi gli studi collegano i movimenti dei corpi celesti alle fluttuazioni meteorologiche e al clima. Altri studi collegano le fluttuazioni meteorologiche al comportamento umano. Tutto ciò può essere attribuito all'orbita del pianeta Marte .

Sezione I

Nel 2019, utilizzando i dati sui lanci di razzi del 2005, ho scoperto che i nemici di Israele hanno condotto i loro attacchi in un modo che rendeva facile prevedere quando avrebbero deciso di aumentarne l'intensità. Osservando quando Marte si trovava entro 30 gradi dal nodo lunare in un anno solare (da gennaio a dicembre), ho potuto vedere una forte correlazione tra l'escalation del lancio di razzi da Gaza verso Israele rispetto al resto dell'anno. Dal 2005, si è scoperto che le milizie di Gaza lanciavano i razzi con la massima intensità quando Marte si trovava entro 30 gradi dal nodo lunare. Dopo anni di previsioni riuscite, mi sembra giustificato fornire una spiegazione scientifica che aiuterebbe a far luce su questa questione. Innanzitutto, lasciatemi fornire le basi e le motivazioni per iniziare un'indagine sull'influenza di Marte sul comportamento umano.

L'effetto Marte, proposto per la prima volta dal ricercatore francese Michel Gauquelin nel 1955, è una tesi che fornisce prove statistiche di una connessione tra la posizione del pianeta Marte e l'importanza dei campioni sportivi. Le prove hanno dimostrato che esiste un significato statistico nel fatto che Marte appaia in aree chiave delle carte astrologiche dei maggiori campioni sportivi. Gauquelin divise la carta in 12 settori e, nel suo studio delle carte astrologiche di migliaia di atleti d'élite, scoprì che Marte era posizionato con una probabilità superiore al caso nei settori chiave, chiamati settore ascendente e settore di punta. La percentuale base per cui un pianeta appariva casualmente in 2 settori su 12 era del 17%. Nei vasti campioni di dati di Gauquelin, Marte è apparso con una frequenza del 22%, che è più di una semplice coincidenza e quindi - ignorando tutti gli altri possibili significati - significa che Marte deve avere una certa influenza. Quindi questa scoperta è sufficiente per razionalizzare la credenza nell'influenza di Marte.

Negli anni '80, il professor Suitbert Ertel sviluppò un criterio per calcolare l'eminenza contando il numero di menzioni di un particolare atleta nei libri di consultazione sportiva. Maggiore è il numero di menzioni, maggiore è l'eminenza. Nel suo test, utilizzando la raccolta di Gauquelin e i suoi criteri di eminenza, ha scoperto che l'effetto Marte giocava un ruolo più forte negli atleti con un numero di citazioni più elevato. Ciò ha confermato l'ipotesi di Gauquelin secondo cui Marte appare più spesso in settori chiave negli oroscopi

dei più grandi campioni dello sport. L'importanza del lavoro di Gauquelin sta nel fatto che fu allora che per la prima volta l'astrologia fu considerata scientificamente. Il lavoro di Gauquelin ed Ertel è la scintilla abbastanza forte da giustificare la fiducia nell'influenza di Marte e fornisce una solida base per la creazione di un nuovo sistema basato sulla scienza e su dati empirici.

Dopo che Gauquelin ed Ertel associarono l'influenza di Marte a un potenziale scientifico, io presi Marte e lo associai a un significato religioso. Avevo deciso di risolvere un antico mistero riguardante il numero della bestia, 666, che proviene dalla letteratura biblica cristiana. Il 666 è un numero che ha creato molta tensione perché associato a Satana, il grande avversario e nemico di Dio e del suo popolo. Nella tradizione cristiana il 666 è definito il numero della bestia e nel corso dei secoli sono stati molti i tentativi per scoprire cosa e chi rappresenti questo numero. Tradizionalmente questo numero è associato a una persona, ma altri lo hanno associato a sistemi e regni. In ogni caso, ci sono stati innumerevoli tentativi da parte di studiosi e mistici di risolvere il mistero del 666. Ho deciso di risolvere il puzzle e ho ideato Mars 360, che rappresenta la rivoluzione di Marte attorno al sole e la sua influenza sull'umanità.

Usando la Gematria sumera inglese, in cui le lettere dell'alfabeto sono numerate in multipli di 6... A = 6, B = 12, c = 18, ecc., ho sommato le lettere di Marte e ho ottenuto 306. semplicemente aggiungendo 360 a 306, ho ottenuto 666 e ho associato Satana all'influenza di Marte o Marte 360. Ricorda che nella tradizione talmudica ebraica, Samael è il re dei demoni e un acerrimo nemico di Israele ed è governato da Marte. Quindi qui abbiamo una tradizione religiosa che precede e suggerisce una futura comprensione scientifica dell'influenza di Marte.

Combinando questa affermazione religiosa con il supporto scientifico del lavoro di Gauquelin sull'influenza di Marte su eccezionali campioni sportivi ed esaminando se Marte si applica anche ad altre questioni terrene legate all'ethos abramitico di 666/la Bestia/Satana, ho potuto scoprire che La posizione di Marte entro 30 gradi dal nodo lunare ha coinciso con l'escalation del lancio di razzi da Gaza verso Israele a partire dal 2005. È importante notare che le

qualità competitive antagoniste evidenti dalla conclusione della ricerca di Gauquelin secondo cui Marte influenza i campioni sportivi sono applicabili anche a soldati o terroristi in situazioni in cui l'obiettivo è dominare o distruggere un avversario. Ho scoperto questo collegamento nel 2019. Dopo averlo scoperto, ho potuto dimostrarlo in tempo reale. Secondo la mia ricerca, le statistiche mostrano che Marte tipicamente subisce un transito completo entro 30 gradi dal nodo lunare per un periodo di circa 3-3,5 mesi per anno solare, a meno che Marte non sia retrogrado durante l'allineamento, il che può prolungare la durata di questo transito. costellazione. Il tasso di base per prevedere che qualcosa accadrà entro un periodo di circa tre mesi in un anno solare è di circa il 30,0%. In sostanza, chiunque selezioni casualmente 3,5 mesi all'interno di un anno solare ha circa il 30% di probabilità di prevedere il periodo in cui si verificherebbe il più grande lancio di razzi da Gaza verso Israele. Tuttavia, tra il 2019 e il 2024, osservando Marte, sono stato in grado di prevedere con precisione quando si sarebbe verificata la più alta concentrazione di lanci missilistici contro Israele con una percentuale di successo del 100%. Nel 2020, Marte si trovava entro 30 gradi dal nodo lunare tra il 15 gennaio e il 3 aprile. Secondo i dati, questo periodo ha registrato la più alta concentrazione di lanci missilistici contro Israele rispetto a tutto il 2020. In questo periodo sono stati lanciati circa 115 missili, più che in qualsiasi altro momento del 2020. Nel 2021, Marte è transitato tra il 9 febbraio e maggio 13, una fase completa in cui si trovava entro 30 gradi dal nodo lunare. Verso la fine di questa fase, oltre 4.000 razzi sono stati lanciati contro Israele, più che in qualsiasi altro momento nel 2021. Nel 2022, Marte ha attraversato una fase completa in cui si trovava entro 30 gradi tra il 22 giugno e il 19 settembre dal nodo lunare. Durante questo periodo, all'inizio di agosto, circa 1.100 razzi sono stati lanciati contro Israele, più che in qualsiasi altro periodo del 2022. Nel 2023, Marte ha attraversato una fase completa in cui si trovava entro 30 gradi dal nodo lunare tra il 24 agosto e il 15 novembre, e durante questo periodo i terroristi hanno lanciato 10.000 razzi contro Israele, più che in qualsiasi altro momento nel 2023. Nel 2024, Marte ha attraversato una fase completa tra il 12 aprile e il 25 giugno in cui si trovava entro 30 gradi dal nodo lunare. Durante quel periodo, Hamas e la Jihad islamica hanno lanciato

circa 770 razzi, superando già la quantità lanciata in qualsiasi altro momento nel 2024.

Secondo i dati sul lancio di razzi da Gaza dal 2005, Hamas e la Jihad islamica hanno lanciato un totale di 26.722 razzi su Israele. Dal 2005, 18.636 razzi sono stati lanciati contro Israele mentre Marte si trovava a 30 gradi dal nodo lunare. In qualsiasi altro momento dal 2005, sono stati lanciati contro Israele 8.086 razzi. Il 68% di tutti i missili lanciati contro Israele dal 2005 sono stati lanciati mentre Marte si trovava entro 30 gradi dal nodo lunare. Nei 15/20 anni tra il 2005 e il 2024, la maggior parte dei razzi sono stati lanciati durante l’anno solare mentre Marte si trovava entro 30 gradi dal nodo lunare. Nei 20/20 anni tra il 2005 e il 2024, il mese con il maggior lancio di razzi dell’anno è stato anche il mese in cui Marte si trovava entro 30 gradi dal nodo lunare. Questa è una correlazione del 100%.

Naturalmente, dopo aver incontrato molti scettici che spesso sollevano l’avvertimento che la correlazione non equivale alla causalità, sono costretto a fornire una spiegazione più biologica e geologica che potrebbe spiegare questa tesi di Marte oltre la mera analisi statistica. Va però detto che qualunque tentativo di applicare il ragionamento induttivo deve presentare un modello predittivo, e qui ne abbiamo già uno. In ogni caso, esaminiamo esempi di alcune delle teorie che sono state avanzate su come Marte o i corpi celesti potrebbero influenzare il comportamento umano.

Durante il lavoro di Gauquelin sull'effetto Marte, ci furono numerosi tentativi di spiegare come Marte potesse esercitare un'influenza geologica o biologica sul comportamento umano. Gauquelin suggerì che la nascita del feto fosse innescata dalla sua risposta ai segnali planetari. Frank McGillion, autore di The Opening Eye, ha spiegato ulteriormente questo concetto ipotizzando che i segnali siano rilevati dalla ghiandola pineale. Jacques Halbronn e Serge Hutin, autori di Histoire de l'astrologie, postularono più tardi che le convinzioni di una persona siano modellate geneticamente. Nel 1990 Percy Seymour, autore di The Evidence of Science, cercò di spiegare che i segnali emessi dai pianeti sono il risultato dell'interazione tra le maree planetarie e la magnetosfera. Peter Roberts presumeva che i segnali provenienti dai pianeti fossero percepiti dall'anima umana. Il

professore di psicologia tedesco Arno Müller sosteneva che gli uomini nati con pianeti prominenti erano gli uomini dominanti con i maggiori diritti riproduttivi. Ertel cercò di scoprire se esistesse una base fisica per l'effetto Marte. Ha testato Marte in relazione alla Terra e ha controllato se la distanza tra la Terra e Marte avrebbe causato variazioni nell'effetto Marte. Le dimensioni angolari, la declinazione, la posizione orbitale rispetto al Sole e l'attività geomagnetica sulla Terra furono tutte escluse da Ertel come qualsiasi cosa che potesse spiegare fisicamente l'effetto Marte. Spiegherò ulteriormente il fenomeno marziano postulando e dimostrando come Marte produca un effetto quando si trova a 30 gradi dal nodo lunare. L'essenza di questo allineamento e ipotesi è essenzialmente che quanto più il pianeta Marte è vicino all'intersezione tra l'orbita della Luna e l'orbita della Terra, si crea un effetto che fa sì che le persone mostrino caratteristiche più pessimistiche, ciniche e aggressive. Durante questa fase, gli investitori del mercato azionario hanno un atteggiamento negativo nei confronti del mercato, mentre i militanti diventano più aggressivi, rispetto ad altri momenti in cui Marte non si trova entro i 30 gradi dal Nodo Lunare. L'ipotesi di base facilmente giustificabile è che se la Luna esercita una forza gravitazionale sulle maree dell'oceano e gli esseri umani sono costituiti principalmente da acqua, è ragionevole supporre che la Luna possa influenzare il comportamento umano. Tuttavia, ho concluso che Marte deve avere un effetto simile a quello della Luna.

I nodi lunari sono le intersezioni tra l'orbita della Luna attorno alla Terra e l'orbita della Terra attorno al Sole. A partire da 30 gradi dal nodo lunare, quanto più l'orbita di Marte attorno al Sole si avvicina all'intersezione (nodo lunare) tra l'orbita della Luna attorno alla Terra e l'orbita della Terra attorno al Sole, maggiore sarà l'influenza di Marte sull'orbita della Luna attorno al Sole. gli eventi del Sole sulla terra. La migliore spiegazione fisica che posso dare probabilmente deriva dall'influenza della luna. Ho suggerito che, poiché è stato confermato che la Luna esercita una forza gravitazionale sulla Terra, tale che quanto più la Luna è vicina alla Terra, tanto più alte sono le maree, la Luna deve anche influenzare l'umore delle persone, poiché il corpo umano è costituito principalmente d'acqua. Poiché questa spiegazione di Marte si basa

sulla sua posizione relativa all'intersezione tra l'orbita della Luna e l'orbita della Terra, ritengo che Marte potrebbe esercitare un'influenza sugli esseri umani in modo simile. La mia grande occasione è arrivata nel 2024, quando gli scienziati hanno scoperto che Marte esercita una forte forza gravitazionale sulla Terra che avvicina la Terra al Sole, determinando periodi di riscaldamento e raffreddamento che durano oltre 2 milioni di anni. Tieni presente che i miei postulati su Marte, così come quelli di Gauquelin, precedono questa scoperta scientifica secondo cui Marte ha effettivamente un impatto sulla Terra. E ora, nel 2024, gli scienziati stanno cominciando a postulare che Marte abbia effettivamente un impatto sul clima e sulle maree degli oceani terrestri, confermando la mia tesi così come quella di Gauquelin.

Ecco un articolo di science.org: "La luna provoca sia l'alta che la bassa marea, ma non è l'unico corpo celeste che influenza le acque della Terra. Secondo uno studio pubblicato questa settimana su Nature Communications, la gravità di Marte influenza le correnti marine profonde del nostro pianeta".


Scienza

Marte potrebbe avere un impatto profondo sulle correnti oceaniche profonde della Terra

Il Pianeta Rosso ha fatto uscire la Terra dalla sua orbita almeno due volte negli ultimi 40 milioni di anni

Ecco un estratto dell'articolo.

studio riportato su Nature Communications questa settimana. Confrontando oltre 50 anni di registrazioni di trivellazioni in acque profonde con spostamenti nell'orbita terrestre, i ricercatori hanno scoperto che l'attrazione gravitazionale di Marte sulla Terra sta causando una leggera oscillazione sul suo asse. Ogni 2,4 milioni di anni, l'orbita di Marte si avvicina abbastanza alla Terra da essere influenzata dalla sua gravità, inclinando il percorso e l'orientamento abituali della Terra. Questo spostamento orbitale fa sì che la Terra sia esposta a più luce solare, riscaldando il clima, che, a sua volta, agita le correnti oceaniche e le rende più forti. Tuttavia, alcuni ricercatori dubitano che la debole attrazione gravitazionale di Marte sia la vera causa di questi cambiamenti, riporta New Scientist.

Ciò apre le porte all'influenza di Marte e con queste informazioni possiamo ottenere maggiori informazioni su come Marte influenza il comportamento umano. Secondo questa scoperta scientifica, mentre Marte orbita attorno al Sole, esercita una forza gravitazionale sulla Terra, che alla fine influenza l'inclinazione dell'asse terrestre e l'orbita terrestre, provocando un riscaldamento per lunghi periodi di tempo, in realtà milioni di anni, e un raffreddamento periodi. Con questa comprensione, possiamo supporre che anche durante un anno solare in cui Marte orbita attorno al Sole, eserciti ancora una certa attrazione gravitazionale e un certo grado di riscaldamento, anche se molto piccolo. Questo spiega la rotazione di Marte attorno al Sole, che ci permette anche di spiegare come gioca il Nodo Lunare in tutto questo.

Secondo la NASA, ogni anno la Luna si allontana dalla Terra di 3 centimetri man mano che la sua orbita si espande. Le mie preoccupazioni suggeriscono che Marte potrebbe essere il catalizzatore di questo effetto poiché si muove entro 30 gradi dal nodo lunare. Lasciami spiegare.

C'è una forza gravitazionale tra tutti gli oggetti nell'universo. La forza gravitazionale di una massa non influenza solo la posizione e l'orientamento di altre masse e viceversa, ma può anche influenzare le orbite di altre masse e viceversa. Ciò si verifica quando Marte si avvicina entro 30 gradi dal nodo lunare: in sostanza, la massa di Marte esercita una forza gravitazionale sull'orbita della Luna attorno alla Terra. Ciò avviene tramite i nodi lunari.

Il nodo lunare è semplicemente il punto in cui l'orbita della Luna attorno alla Terra interseca l'orbita della Terra attorno al Sole. Questa intersezione, suppongo, espone l'orbita della Luna alla forza gravitazionale di Marte quando Marte si trova entro 30 gradi dal nodo lunare, il che farebbe effettivamente sì che l'orbita della Luna si avvicini al Sole nel tempo, il che da ora in poi sposterebbe il pianeta. la luna stessa si allontana ogni anno di 3 cm dalla terra. Con la nuova comprensione che Marte, mentre orbita attorno al Sole, esercita una forza gravitazionale sull'inclinazione dell'asse terrestre, causando periodi di riscaldamento e raffreddamento nel corso di milioni di anni e anche in periodi di tempo più brevi, possiamo ora

concludere che se Marte è entro 30 gradi dal nodo lunare, Marte esercita anche una forza gravitazionale sull'orbita lunare e allunga il piano orbitale della Luna, allontanando così la Luna dalla Terra, il che avrebbe di conseguenza un effetto destabilizzante sull'oscillazione terrestre, poiché è il Luna responsabile della stabilità dell'oscillazione della Terra. I ricercatori notano che man mano che la Luna si allontana dalla Terra, la Terra sperimenterebbe di conseguenza grandi fluttuazioni nei modelli climatici, poiché la diminuzione dell'influenza della Luna nella stabilizzazione dell'oscillazione della Terra farebbe sì che l'oscillazione della Terra diventi irregolare, il che porterebbe a drastici cambiamenti stagionali. Prendendo in considerazione Marte, ora possiamo comprendere queste dinamiche.

Da questo punto di vista, poiché esiste un ampio corpus di prove scientifiche che collegano l'aggressività alle temperature più elevate, possiamo facilmente applicare la corrispondente aggressività che estrapoliamo dall'influenza di Marte alle temperature più calde - possiamo usare questo come principio per la nostra ricerca sull'influenza di Marte sul comportamento umano. Tuttavia, in questo caso, dovremmo ipotizzare che l'aggressione corrispondente provenga da temperature più elevate rispetto alla media e che questi scenari siano legati al fatto che Marte si trovi entro 30 gradi dal nodo lunare. Ora si può concludere che quando Marte si trova entro 30 gradi dal nodo lunare, può esercitare un'influenza gravitazionale ancora maggiore sull'inclinazione dell'asse terrestre tirando l'orbita della Luna, espandendo così l'orbita della Luna, così mentre la Luna si muove gradualmente più lontano dalla Terra, l'influenza stabilizzante della Luna sull'oscillazione terrestre diminuisce, il che esporrebbe la Terra a maggiori fluttuazioni di temperatura anche se Marte continua a esercitare una forza gravitazionale sulla Terra mentre viaggia attorno al Sole. Ciò dovrebbe quindi avere un impatto maggiore sulle temperature e sul comportamento umano. Ciò potrebbe spiegare perché ci sono prove che le azioni umane siano più drastiche quando Marte si trova entro 30 gradi dal nodo lunare.

Questi critici dell'influenza marziana non possono più ignorare l'influenza marziana e attribuire l'aggressione da Gaza, dal Medio Oriente o altrove alle temperature primaverili ed estive più calde.

Posso confutare l’affermazione secondo cui l’aggressione militante può essere semplicemente attribuita ai cambiamenti climatici stagionali piuttosto che all’influenza marziana.

Coloro che sostengono che chiunque possa prevedere il picco dell’escalation del lancio di razzi contro Israele supponendo che avverrà nei mesi più caldi possono mettere alla prova la loro teoria. La tua teoria fornisce una finestra temporale di 7 mesi, che è molto più ampia della mia che è di 3,5 mesi. Ecco i miei tempi per prevedere un'escalation del lancio di missili basati su Marte entro 30 gradi dal nodo lunare, che sono stati accurati ogni anno

15 gennaio 2020 – 3 aprile 2020 – massima escalation nel mese di febbraio

9 febbraio 2021 – 13 maggio 2021 – l’escalation più elevata si è verificata a maggio

22 giugno 2022 – 19 settembre 2022 – massima escalation in agosto

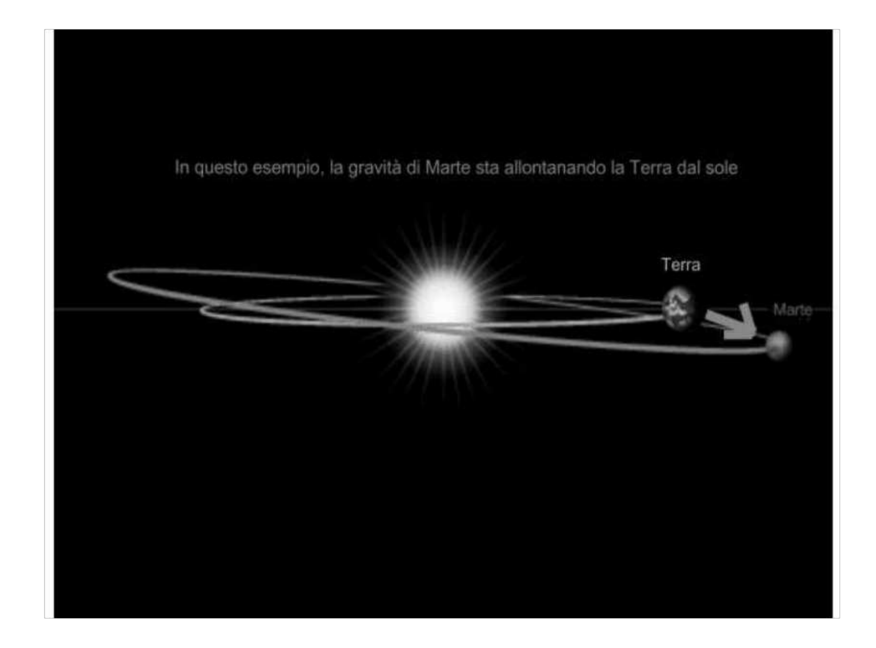
24 agosto 2023 – 15 novembre 2023 – massima escalation in ottobre

12 aprile 2024 – 25 giugno 2024 – l’escalation più alta fino ad oggi ha avuto luogo a maggio

Se si fosse tentato di prevedere negli ultimi 5 anni che la più alta escalation di razzi contro Israele rispetto al resto dell'anno si sarebbe verificata nei mesi primaverili ed estivi tra il 20 marzo e il 20 settembre (una finestra di 7 mesi), avrebbero avuto ragione in 3 degli ultimi 5 anni. Tuttavia, si sarebbero sbagliati nel 2020 e nel 2023, quando contava davvero, soprattutto data la portata degli attacchi del 7 ottobre 2023. Quindi, anche con una finestra di 7 mesi, non avrebbero raggiunto la stessa accuratezza di qualcuno che prevedeva che l'escalation si sarebbe verificata entro il lasso di tempo di 3,5 mesi durante il quale Marte si trova entro 30 gradi dal Nodo Lunare.

Inoltre, posso sostenere che temperature più elevate rispetto alla media potrebbero portare a violenze in Medio Oriente a causa della gravità di Marte sulla Terra, che lo avvicina al Sole. È facile confondersi qui perché Marte è più lontano dal Sole della Terra,

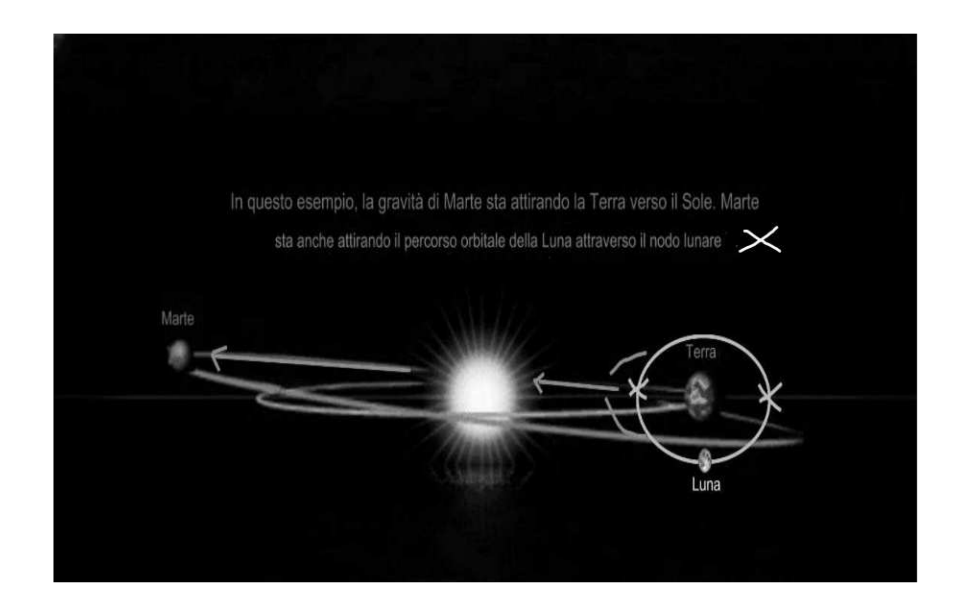
portando a pensare che la gravità di Marte allontanerebbe semplicemente la Terra dal Sole. Visualizzare come Marte e la Terra orbitano attorno al Sole e come ci sono momenti in cui Marte è più vicino e più lontano dalla Terra può aiutare a evitare confusione. Mentre Marte orbita attorno al Sole, la sua gravità avvicina l'inclinazione dell'asse terrestre al Sole man mano che si allontana dalla Terra. E al contrario, più Marte è vicino alla Terra nella sua rivoluzione attorno al Sole, più la gravità di Marte inclinerebbe l'asse terrestre lontano dal Sole. Ecco una visualizzazione



In questo esempio, la gravità di Marte sta attirando la Terra verso il sole

Marte

Terra



Data la scoperta scientifica dell'influenza gravitazionale di Marte sulla Terra e del suo impatto sul clima terrestre, possiamo supporre che questo effetto di Marte, che consente lunghi periodi di raffreddamento e riscaldamento della Terra, sia il risultato del lento cambiamento dell'inclinazione assiale e dell'orbita della Terra attraverso Marte. Durante l'influenza gravitazionale di Marte, che avvicina l'inclinazione della Terra al Sole e quindi la espone a più radiazione solare, anche l'orbita della Terra viene influenzata e diventa più ellittica nel tempo, esponendo la Terra a più radiazione termica al perielio che al perielio all'afelio. Attualmente, l'orbita della Terra è quasi circolare, con la radiazione termica al perielio che ha solo una differenza del 6% rispetto all'afelio.

L'inclinazione della Terra è il fattore principale che spiega i cambiamenti di temperatura, in contrapposizione alla vicinanza della Terra al Sole. Infatti, la Terra è più vicina al sole a gennaio, ma in questo periodo le temperature sono più basse. A luglio, invece, la Terra è più lontana dal Sole, ma le temperature sono ancora più calde. La ragione di questa dinamica risiede nel modo in cui l'inclinazione dell'asse terrestre influenza il modo in cui i raggi del sole colpiscono la Terra. In estate, i raggi del sole colpiscono la Terra con un angolo ripido e non si diffondono, determinando una maggiore concentrazione di energia sulla Terra. Ciò è in contrasto con l'inverno, quando il sole colpisce la Terra con un angolo più piatto, dove i raggi solari sono più dispersi e consumano meno energia. Si può provare ad applicare questa dinamica alla situazione del lancio di razzi a Gaza, ma, come spiegato, utilizzare i mesi primaverili ed estivi avrebbe comportato errori di calcolo in due dei cinque anni che ho usato come esempio. Se prendiamo in considerazione Marte, possiamo supporre che la posizione di Marte rispetto alla Terra influenzi le temperature medie in ogni stagione. Ad esempio, supponiamo che Marte sia il più lontano dalla Terra, entro 30 gradi dal nodo lunare, ma eserciti una forza gravitazionale sull'inclinazione dell'asse terrestre, avvicinando l'angolo al Sole, anche se solo di un piccolo grado. Il risultato, in teoria, indipendentemente dalla stagione, dovrebbe essere una temperatura media più elevata, forse più precipitazioni, esponendo così le persone a livelli più elevati di aggressività. Ecco un esempio. Ecco una rappresentazione visiva di Marte che si allinea con la Terra il 7

ottobre , il giorno in cui Hamas ha lanciato una massiccia operazione terroristica contro Israele. Marte si trovava entro 30 gradi dal nodo lunare ma lontano dalla Terra, ma esercitava forze gravitazionali che spingevano l'inclinazione dell'asse terrestre verso il Sole.



Ecco la carta astrologica per il 7 ottobre. In una carta astrologica, la Terra è sempre opposta al Sole. Ho aggiunto un'icona

Questo è un esempio di un grave attacco in autunno, non un tipico periodo noto per il clima aggressivo. Pertanto, possiamo considerare il fattore Marte qui. Ho ipotizzato che l'influenza di Marte sull'aggressività non fosse legata alle temperature più elevate in generale, ma piuttosto a temperature più elevate rispetto alla media. L'ottobre 2023 è stato l'ottobre più caldo mai registrato.



NOAA Amministrazione nazionale oceanica e atmosferica

Cerca siti NOAA

Home / Notizie e caratteristiche

Il pianeta ha appena avuto l'ottobre più caldo mai registrato

Finora, il 2023 è un anno record per il caldo a livello globale

Aree di interesse: satelliti, clima Argomenti: clima, calore, ghiaccio marino, dati climatici, siccità, calore dell'oceano, rapporto mensile sul clima

15 novembre 2023

Il clima in cifre

Ottobre 2023

La temperatura media globale di ottobre è stata di 2,41 gradi F (1,34 gradi C) al di sopra della media del XX secolo di 57,1 gradi F (14,0 gradi C), classificandosi come l'ottobre più caldo mai registrato al mondo. Ciò è stato di 0,43 gradi F (0,24 gradi C) al di sopra del precedente record di ottobre 2015. Per il settimo mese consecutivo, anche la temperatura della superficie oceanica globale ha raggiunto un livello record.

Esiste una grande quantità di informazioni, studi e ricerche che collegano temperature più elevate all'aggressività e alla riduzione delle prestazioni cognitive. Tuttavia, in relazione alla tesi di Marte e alla sua influenza sull'aggressività, sostengo che temperature più elevate rispetto alla media innescano l'aggressività e riducono le prestazioni cognitive. Concludo anche che queste temperature più elevate rispetto alla media dovrebbero, in teoria, portare con sé precipitazioni superiori alla media.

Ho allegato i dati del lancio di razzi da Gaza a questo documento per vostro riferimento.

Queste statistiche riguardano solo i militanti di Gaza e tutti i razzi lanciati da Gaza verso Israele dal 2005

C'è uno schema in cui la più alta concentrazione di razzi lanciati contro Israele in un anno solare si verifica quando Marte si trova entro 30 gradi dal nodo lunare. Ciò avviene a un tasso del 70% dal 2005.

In ogni anno a partire dal 2005, il mese in cui si è verificato il più alto numero di lanci di razzi è stato un mese in cui Marte si è trovato a meno di 30 gradi dal nodo lunare.

Figura H - Attacchi missilistici di Gaza contro Israele

*La più grande quantità di razzi lanciati durante l'anno

	2005	2006	2007	2008	2009	2010	2011	2012
Gen	40	7	28	136	345*	13	17	9
Feb	5	9	43	228	52	5	6	36
Mar	23	41	31	103	34	35*	38	173
Apr	34	79	25	373*	5	5	87	10
Mag	77	54	257*	206	1	14	1	3
Giu	129	140	63	153	2	14	4	83
Lug	211*	191*	61	4	1	13	20	18
Ago	50	41	81	8	1	14	145*	21
Set	61	40	70	1	-10	16	8	17
Ott	26	52	53	1	1	3	52	116
Nov	42	157	65	125	4	5	11	1734*
Dic	76	50	113	361	4	15	30	1

Figura H - Attacchi missilistici di Gaza contro Israele

*La più grande quantità di razzi lanciati durante l'anno

	2013	2014	2015	2016	2017	2018	2019
Gen	0	22	0	6*	0	6	0
Feb	1	9	0	0	7*	4	0
Mar	4	65	0	5	2	0	3
Apr	17*	19	1	0	1	0	0
Mag	1	4	1	2	1	70	600*
Giu	5	62	3	0	1	64	3
Lug	5	2,874*	1	2	2	174*	0
Ago	4	950	3	1	1	8	0
Set	8	0	4	0	0	0	1
Ott	3	1	5*	0	1	0	0
Nov	0	0	3	0	0	17	455
Dic	4	1	4	0	7	0	4

Figura H - Attacchi missilistici di Gaza contro Israele

*La più grande quantità di razzi lanciati durante l'anno

	2020	2021	2022	2023	2024	2025	2026
Gen	8	3	0	1	357		
Feb	104*	0	0	8	165		
Mar	0	0	0	0	104		
Apr	0	45	5	66	113		
Mag	1	4375*	0	1470	452*		
Giu	3	0	1	0	205		
Lug	3	0	4	6	216		
Ago	15	1	1100*	0	116		
Set	13	2	0	0			
Ott	3	0	0	8500*			
Nov	3	0	4	2000			
Dic	2	0	1	1000			

Date di Marte entro 30 gradi dal nodo lunare

29 maggio 2005 - 29 agosto 2005 17 novembre 2005 - 27 dicembre 2005 20 luglio 2006-14 ottobre 2006
19 marzo 2007-30 maggio 2007 28 aprile 2008-31 luglio 2008 08 gennaio 2009-24 marzo 2009 24 agosto 2009-2 maggio 2010
02 novembre 2010-18 gennaio 2011 11 giugno 2011-1 settembre 2011 24 agosto 2012-12 novembre 2012 03 aprile 2013-22 giugno 2013
19 dicembre 2013-28 agosto 2014 27 gennaio 2015-12 aprile 2015 27 settembre 2015-26 dicembre 2015 21 novembre 2016-01 febbraio 2017
11 luglio 2017-10 ottobre 2017 08 aprile 2018-14 novembre 2018 01 maggio 2019-29 luglio 2019 15 gennaio 2020-3 aprile 2020

Di seguito sono riportate le date future di Marte entro 30 gradi dal nodo lunare

9 febbraio 2021-13 maggio 2021
4 novembre 2021-22 gennaio 2022
22 giugno 2022 19 settembre 2022
26 dicembre 2022-24 gennaio 2023
24 agosto 2023-15 novembre 2023
12 aprile 2024-25 giugno 2024
5 giugno 2025-4 settembre 2025
4 febbraio 2026-19 aprile 2026
27 settembre 2026-12 giugno 2027

Per cinque anni consecutivi sono stato in grado di prevedere quando si sarebbe verificata la più alta concentrazione di razzi contro Israele avverrebbe entro un anno solare.

Negli ultimi cinque anni si prevedeva che la più alta escalation di lanci di razzi nell'arco dell'anno solare sarebbe stata si verificano nel momento in cui Marte si trova a meno di 30 gradi dal nodo lunare.

1. 15 gennaio 2020-3 aprile 2020-https://www.youtube.com/watch?v=e5Gx04ZW2fc
2. 9 febbraio 2021-13 maggio 2021-https://www.youtube.com/watch?v=v1sA-ZS73Lw&t
3. 22 giugno 2022-19 settembre 2022-https://www.youtube.com/watch?v=6EniwV0TWew&t
4. 24 agosto 2023-15 novembre 2023-https://www.youtube.com/watch?v=IGbNPE09qS4&t
5. 12 aprile 2024-25 giugno 2024-https://www.youtube.com/watch?v=qW_-CiWu5b0&t

https://www.youtube.com/@anthonym1690

Secondo i dati sui lanci di razzi da Gaza risalenti al 2005, Hamas e la Jihad islamica hanno lanciato un totale di 26.722 razzi contro Israele

Dal 2005 sono stati lanciati 18.636 razzi verso Israele mentre Marte si trovava a meno di 30 gradi dal nodo lunare.

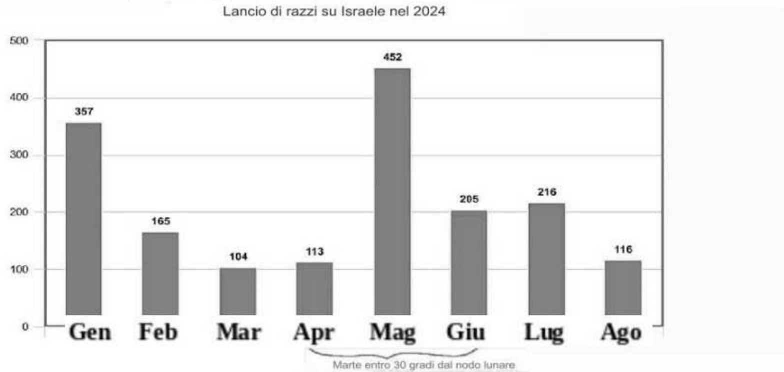
In qualsiasi altro momento dal 2005, sono stati lanciati 8086 razzi contro Israele

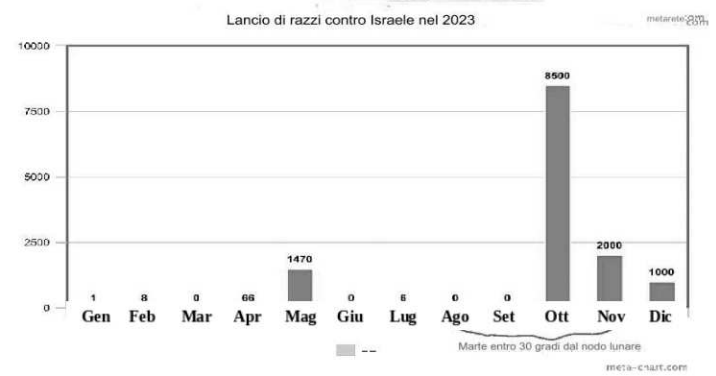
Il 68% dei razzi totali lanciati contro Israele dal 2005 sono stati lanciati mentre Marte si trovava entro 30 gradi dal nodo lunare

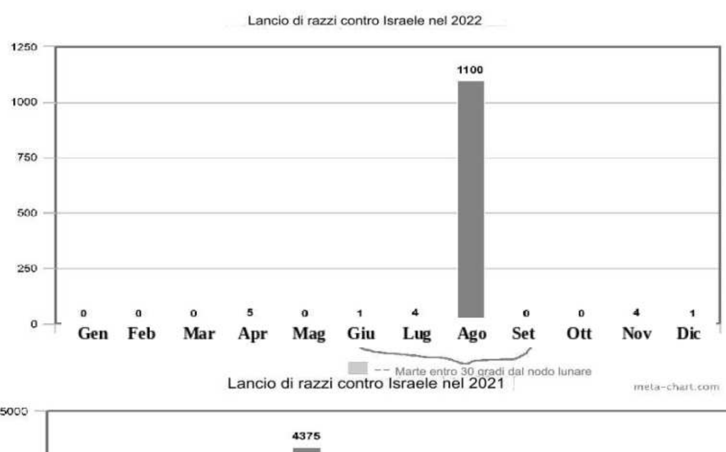
Nei 15/20 anni tra il 2005 e il 2024, la maggior parte dei razzi lanciati durante l'anno solare sono stati lanciati mentre Marte si trovava entro 30 gradi dal nodo lunare.

Negli anni 20/20 tra il 2005 e il 2024, il mese con il più alto numero di lanci di razzi dell'anno è stato anche quello in cui Marte si trovava entro 30 gradi dal nodo lunare

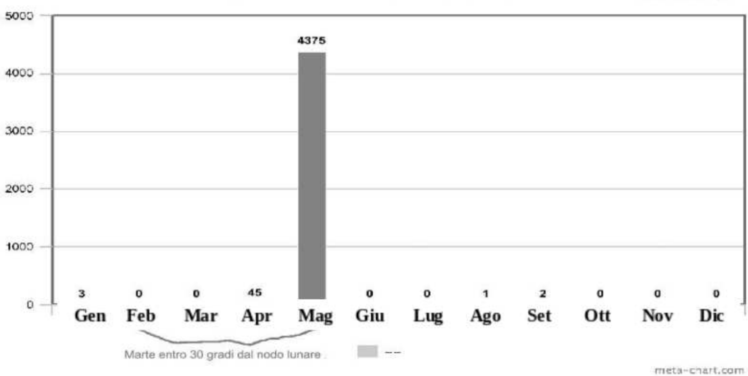
Ecco i grafici che rappresentano gli attacchi missilistici contro Israele dal 2005



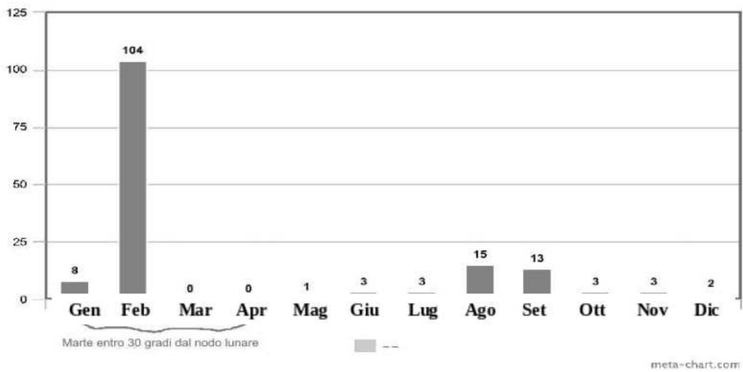


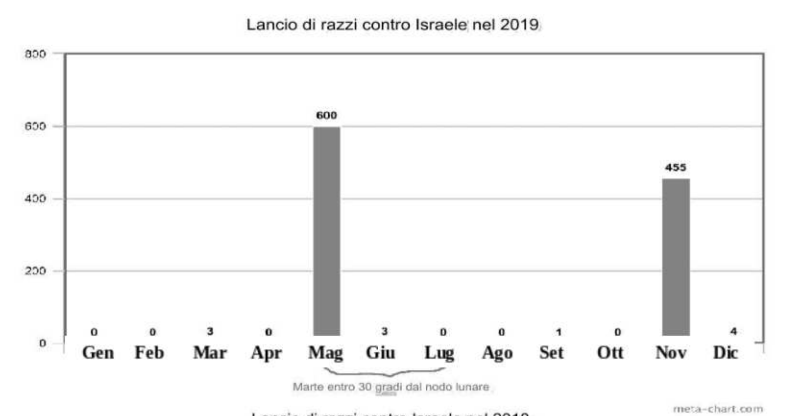


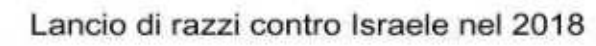
Lancio di razzi contro Israele nel 2021



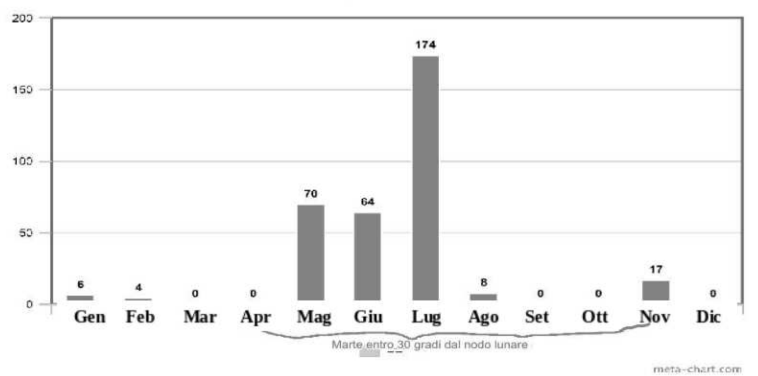


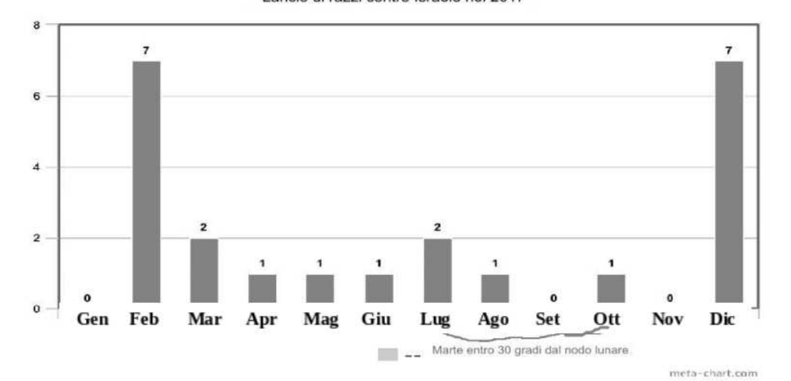




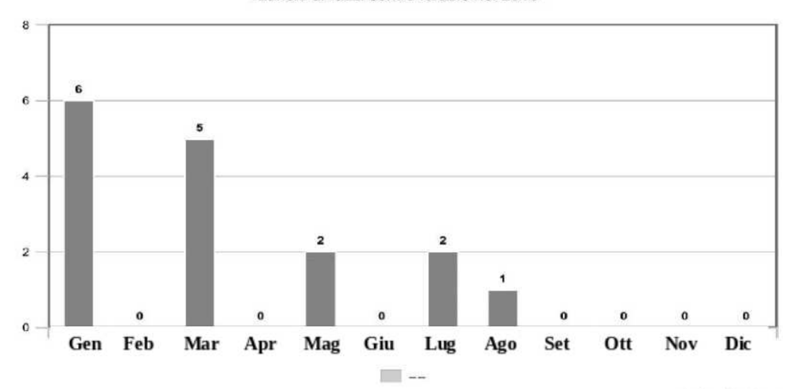


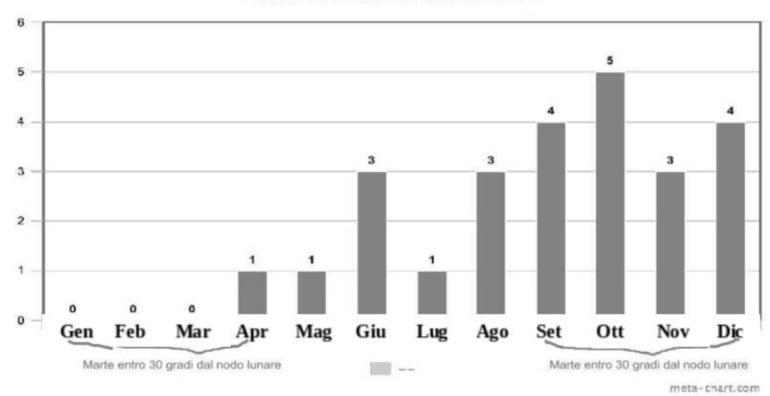
meta-chart.com

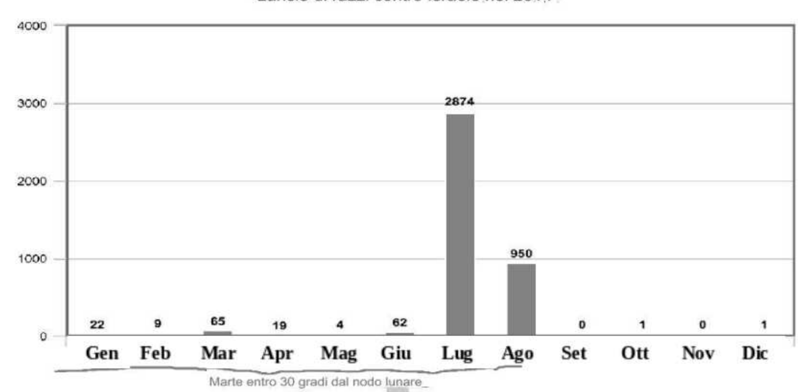




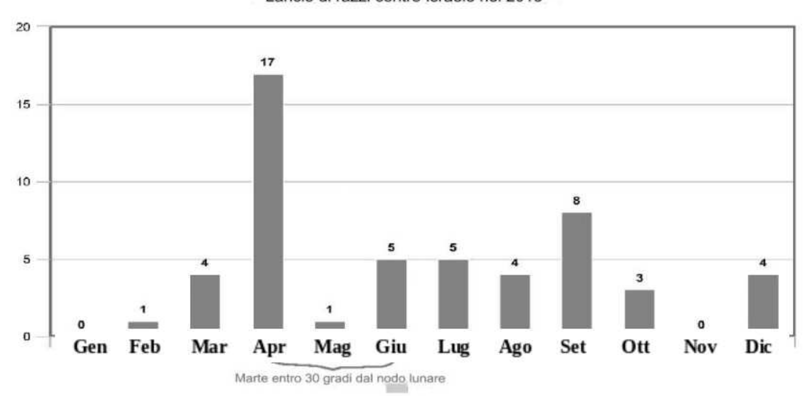

Lancio di razzi contro Israele nel 2016


8
6
4
2
0
6
0
5
0
2
0
2
1
0
0
0
0
Gen
Feb
Mar
Apr
Mag
Giu
Lug
Ago
Set
Ott
Nov
Dic
--
meta-chart.com


Lancio di razzi contro Israele nel 2015
6
5
4
3
2
1
0
0
0
0
1
1
3
1
3
4
5
3
4
Gen
Feb
Mar
Apr
Mag
Giu
Lug
Ago
Set
Ott
Nov
Dic
Marte entro 30 gradi dal nodo lunare
--
Marte entro 30 gradi dal nodo lunare
meta-chart.com

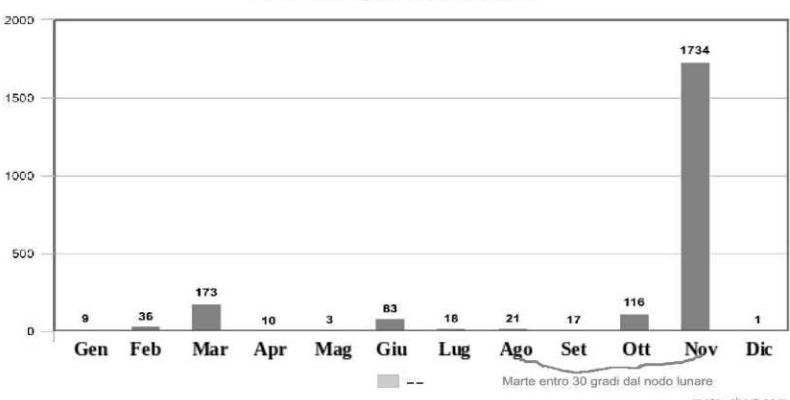

Lancio di razzi contro Israele nel 2014
4000
3000
2000
1000
0
22
9
65
19
4
62
2874
950
0
1
0
1
Gen
Feb
Mar
Apr
Mag
Giu
Lug
Ago
Set
Ott
Nov
Dic
Marte entro 30 gradi dal nodo lunare
meta-chart.com

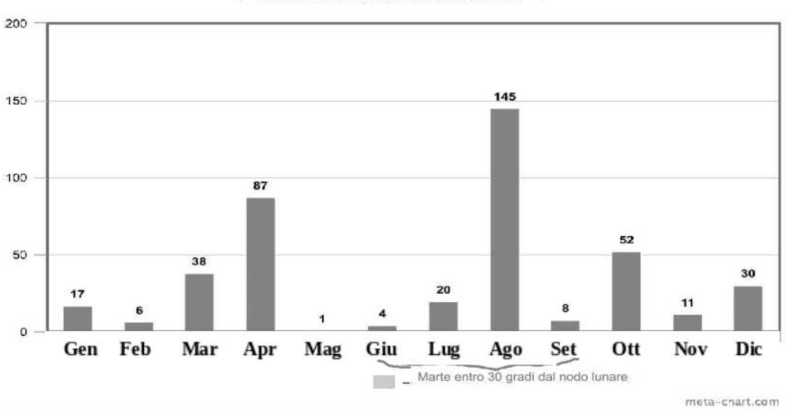






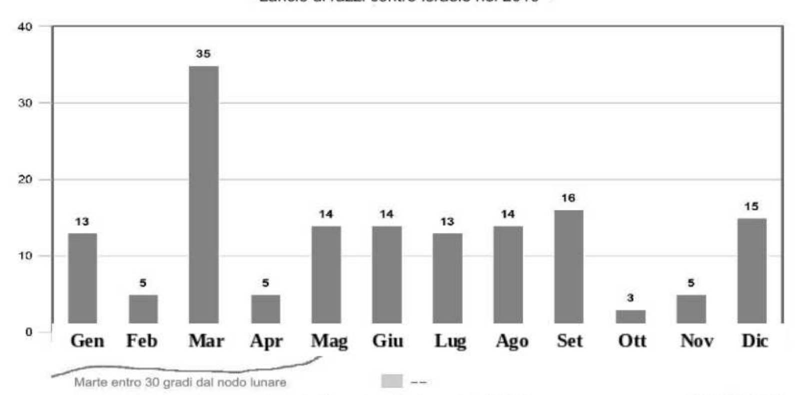
Lancio di razzi contro Israele nel 2012



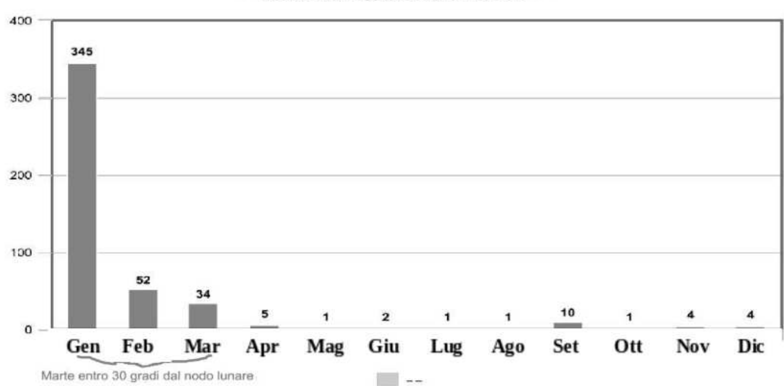




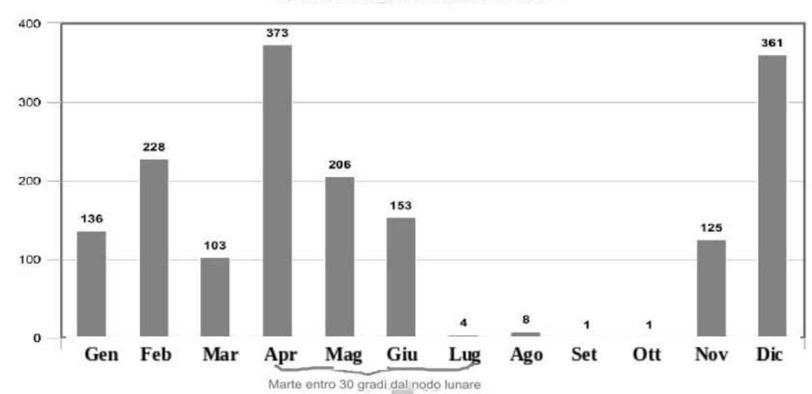
Lancio di razzi contro Israele nel 2010



40
30
20
10
0
13
5
35
5
14
14
13
14
16
3
5
15
Gen Feb Mar Apr Mag Giu Lug Ago Set Ott Nov Dic
Marte entro 30 gradi dal nodo lunare
meta-chart.com

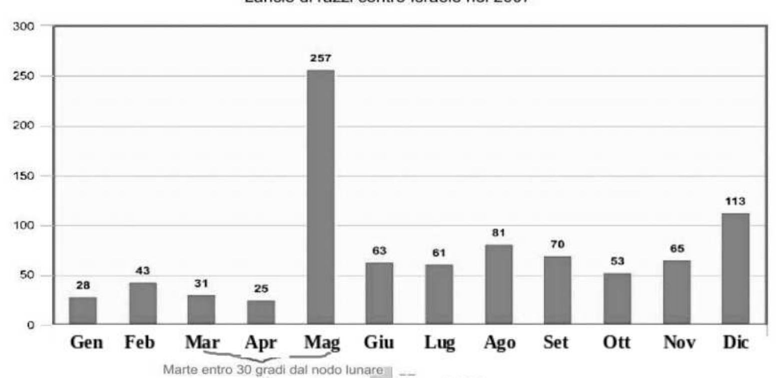


Lancio di razzi contro Israele nel 2009
400
300
200
100
0
345
52
34
5
1
2
1
1
10
1
4
4
Gen Feb Mar Apr Mag Giu Lug Ago Set Ott Nov Dic
Marte entro 30 gradi dal nodo lunare
meta-chart.com



Lancio di razzi contro Israele nel 2008
400
300
200
100
0
136
228
103
373
206
153
4
8
1
1
125
361
Gen Feb Mar Apr Mag Giu Lug Ago Set Ott Nov Dic
Marte entro 30 gradi dal nodo lunare
meta-chart.com





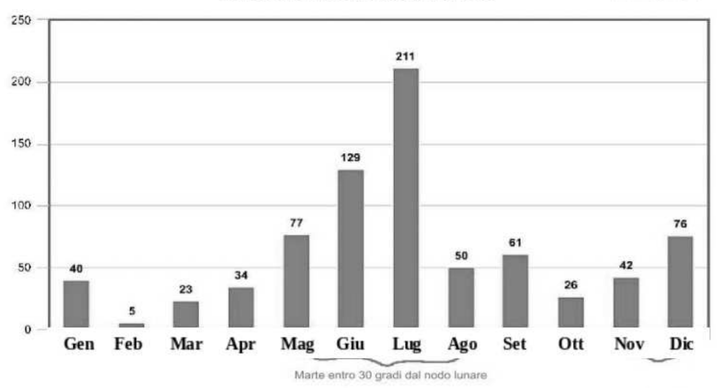
Lancio di razzi in Israele nel 2006

250
200
150
100
50
0
191
157
140
79
54
52
50
41
41
40
9
7
Gen Feb Mar Apr Mag Giu Lug Ago Set Ott Nov Dic

Marte entro 30 gradi dal nodo lunare

meta-chart.com

Lancio di razzi contro Israele nel 2005



Sezione II

Questa sezione descrive i 25 maggiori crolli e flessioni del mercato azionario nella storia degli Stati Uniti. I dati mostrano una correlazione del 100% tra questi eventi e la posizione di Marte rispetto alla Terra. Ogni crollo del mercato azionario e ogni grave declino nella storia degli Stati Uniti si sono verificati quando Marte orbitava dietro il sole visto dalla Terra.

Per fornire un contesto pertinente a ciò che mostra questo articolo, è importante considerare un recente studio pubblicato su Nature Communications nel marzo 2024, circa 5 anni dopo che questa idea è stata presentata per la prima volta al pubblico. In questo studio, pubblicato nel marzo 2024, i ricercatori hanno scoperto che Marte esercita una forza gravitazionale sull'inclinazione della Terra, esponendo la Terra a temperature più calde e a più luce solare, il tutto in un ciclo di 2,4 milioni di anni. Ritengo che questo ci porti a credere che anche su scale temporali più brevi, Marte esercita ancora una forza gravitazionale sull'inclinazione assiale della Terra sufficiente ad aumentare le temperature quando il pianeta si trova entro 30 gradi dal nodo lunare, il che significa che influenzerebbe l'attività umana. comportamento. Citando il fatto che esistono numerosi studi che collegano l'aggressività e l'irritabilità alle temperature più calde, enuncio un assioma e poi sostengo che Marte entro 30 gradi dal nodo lunare dovrebbe influenzare il cervello influenzando la percezione riduce e provoca aggressività e irritabilità.

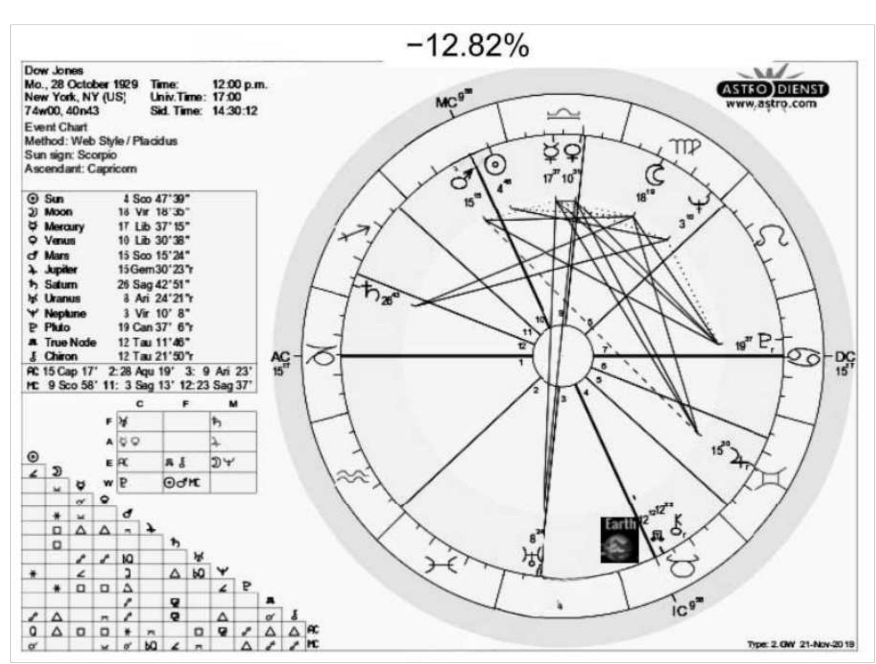
Ecco uno sguardo a cosa succede quando Marte orbita attorno al Sole, esercitando una forza gravitazionale sull'inclinazione dell'asse terrestre. In questo primo grafico, la gravità di Marte allontana la Terra dal Sole.



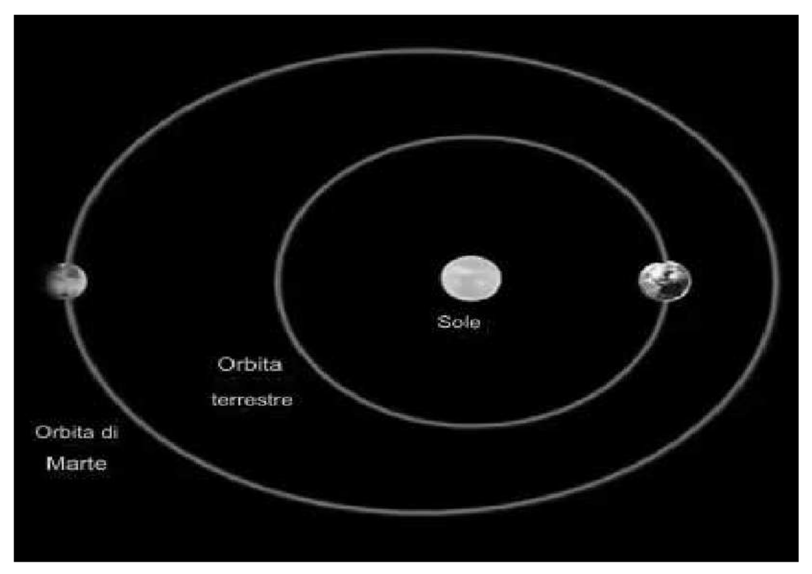
Nel grafico successivo, la gravità di Marte attira la Terra verso il Sole.



Secondo quest'ultimo resoconto, questo scenario dovrebbe avere il maggiore impatto sul comportamento umano. Ecco come appare questo scenario, in cui Marte sposta l'inclinazione della Terra verso il Sole, in una carta astrologica. Questo è il grafico del crollo del mercato azionario del 29 ottobre 1929. Il pianeta Terra è sempre opposto al sole in un grafico astrologico.

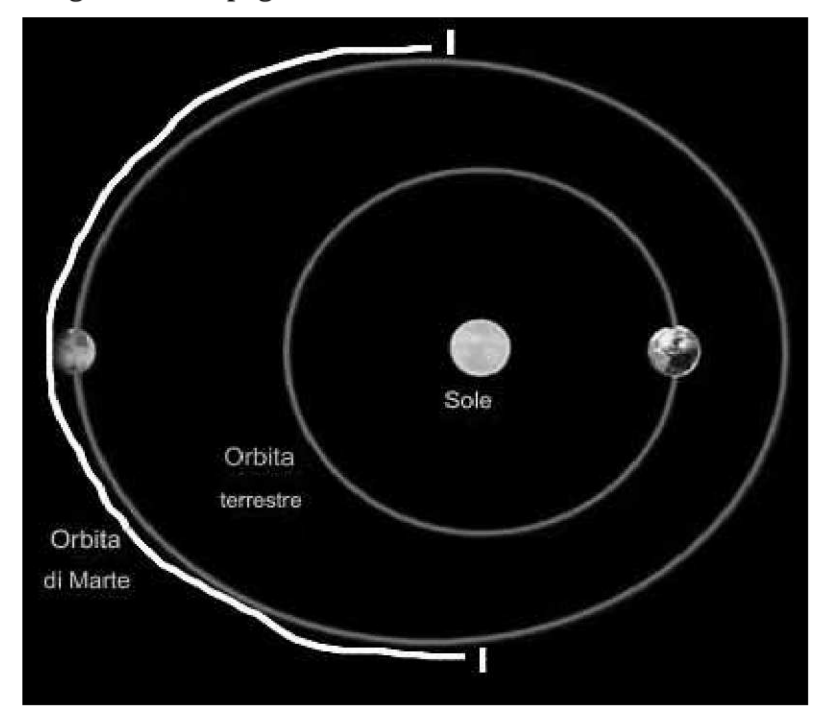


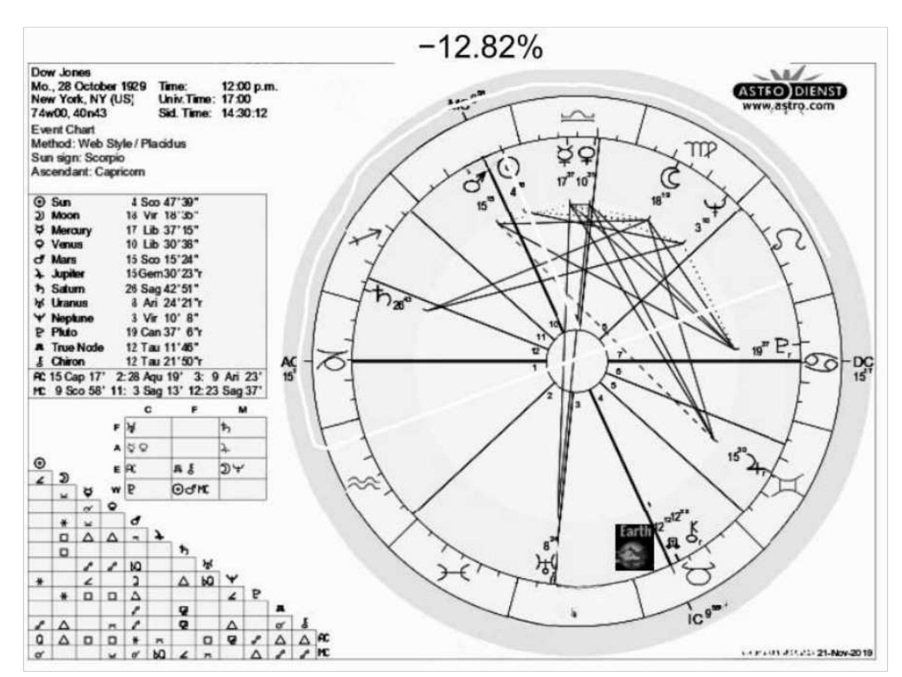
Ecco la vista dall'alto dello stesso scenario della costellazione planetaria.



In tutti i principali crolli del mercato azionario e nelle perdite di un giorno, Marte si è trovato da qualche parte lungo la linea bianca, come mostrato in questo grafico, che la ricerca suggerisce indicherebbe che Marte sta inclinando la Terra verso il sole, causando irritabilità.

Ecco come viene rappresentata la stessa immagine in una carta astrologica. Vedi la pagina successiva. Nota la linea bianca.



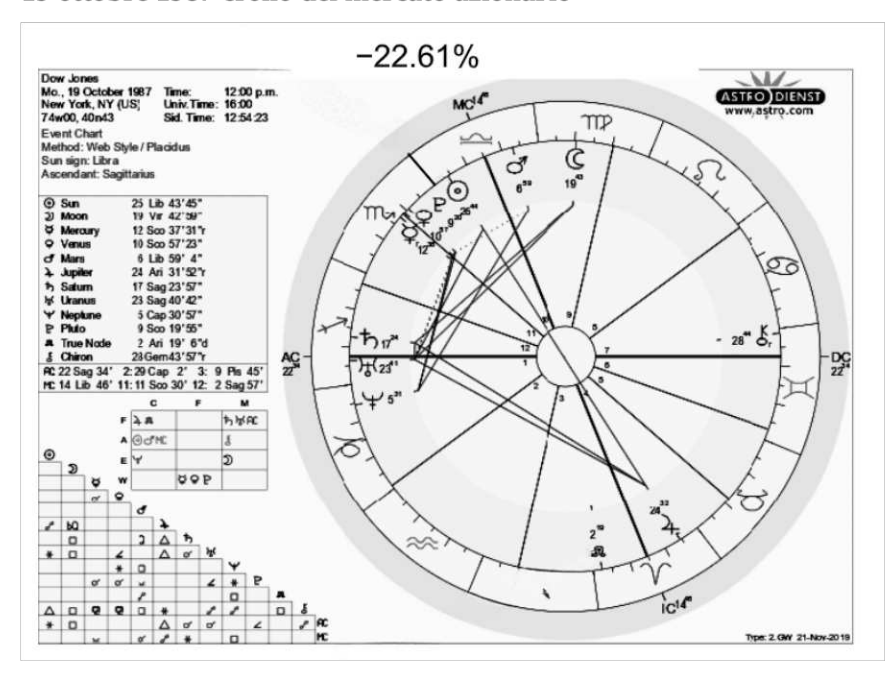


Tutti i più grandi crolli o cali del mercato azionario in un giorno si sono verificati quando Marte è apparso all'interno di questa linea bianca tracciata dal grado del Sole.

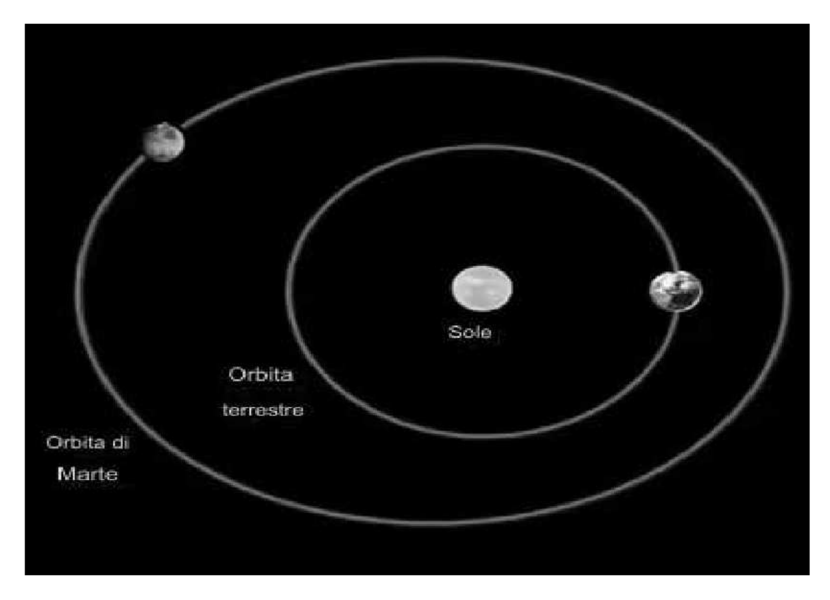
Questa prospettiva dovrebbe aiutare il lettore ad andare oltre la nozione preconcetta di assurdità e a vedere che ciò ha un valore scientifico

Ecco il resto dei crolli del mercato azionario, insieme alle carte astrologiche e al grafico della posizione di Marte nello spazio

19 ottobre 1987 crollo del mercato azionario



Ecco come si trovava Marte nello spazio rispetto alla Terra quel giorno:



6 novembre 1929 crollo del mercato azionario

−9.92%

Dow Jones
We., 6 November 1929 Time: 12:00 p.m.
New York, NY (US) Univ. Time: 17:00
74w00, 40n43 Sid. Time: 15:05:41
Event Chart
Method: Web Style / Placidus
Sun sign: Scorpio
Ascendant: Capricorn

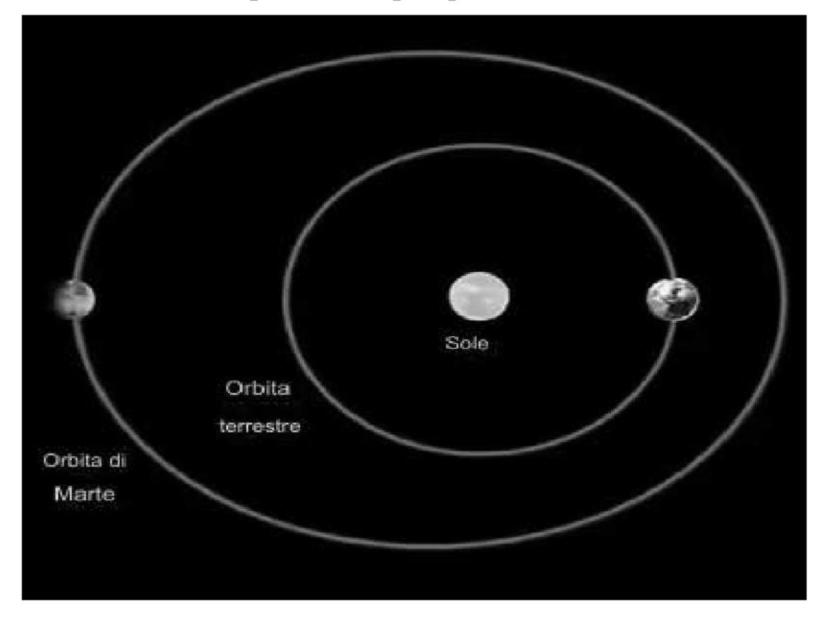
Sun	13 Sco 48'34"
Moon	12 Cap 26'16"
Mercury	1 Sco 26'25"
Venus	21 Lib 42'15"
Mars	21 Sco 34'21"
Jupiter	14 Gem 42'33"r
Saturn	27 Sag 32'18"
Uranus	8 Ari 6'41"r
Neptune	3 Vir 20'15"
Pluto	19 Can 34'26"r
True Node	12 Tau 9'51"
Chiron	11 Tau 54'59"r

AC: 25 Cap 3' 2: 10 Pis 30' 3: 20 Ari 16'
MC: 18 Sco 53' 11: 11 Sag 9' 12: 1 Cap 40'

ASTRO DIENST www.astro.com

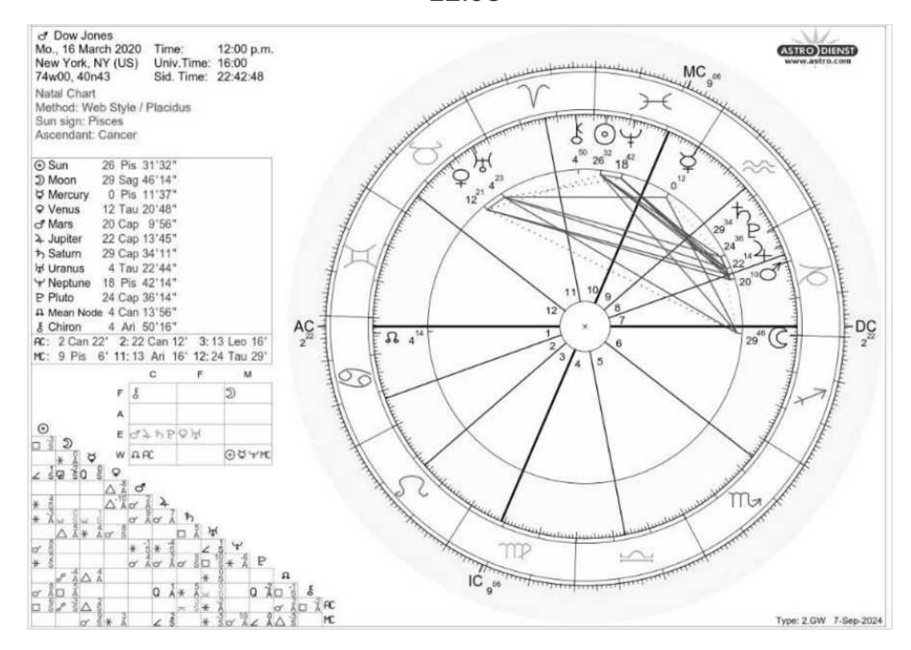
Type: 2.GW 21-Nov-2019

Qui Marte era nello spazio dalla prospettiva della Terra

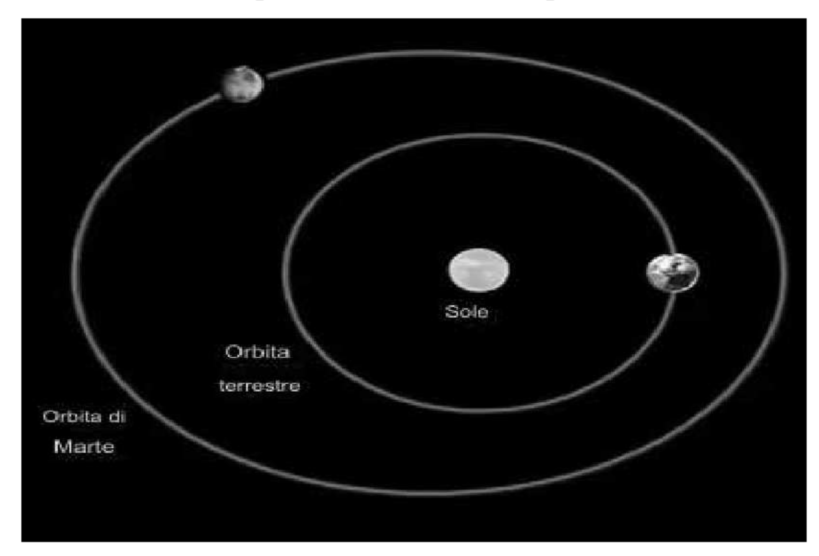


16 marzo 2020 Crollo del mercato azionario

-12.93



Ecco come Marte era posizionato nel cielo rispetto alla Terra



12 marzo 2020 Crollo del mercato azionario

-9,99

Dow Jones
Th., 12 March 2020 Time: 12:00 p.m.
New York, NY (US) Univ.Time: 16:00
74w00, 40n43 Sid. Time: 22:27:01
Natal Chart
Method: Web Style / Placidus
Sun sign: Pisces
Ascendant: Gemini

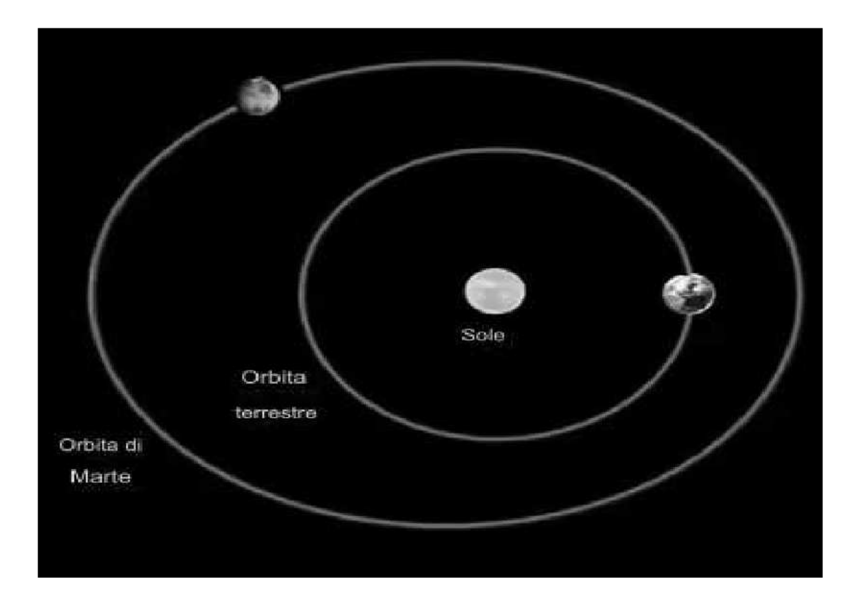
Sun	22 Pis 32'22"
Moon	4 Sco 2'49"
Mercury	28 Aqu 31'38"
Venus	8 Tau 8'28"
Mars	17 Cap 23'26"
Jupiter	21 Cap 35' 4"
Saturn	29 Cap 14' 6"
Uranus	4 Tau 11'26"
Neptune	18 Pis 33' 9"
Pluto	24 Cap 31'29"
Mean Node	4 Can 26'39"
Chiron	4 Ari 36'19"

AC: 28 Gem 46' 2: 18 Can 50' 3: 9 Leo 40'
MC: 4 Pis 55' 11: 8 Ari 24' 12: 19 Tau 49'

ASTRO DIENST www.astro.com

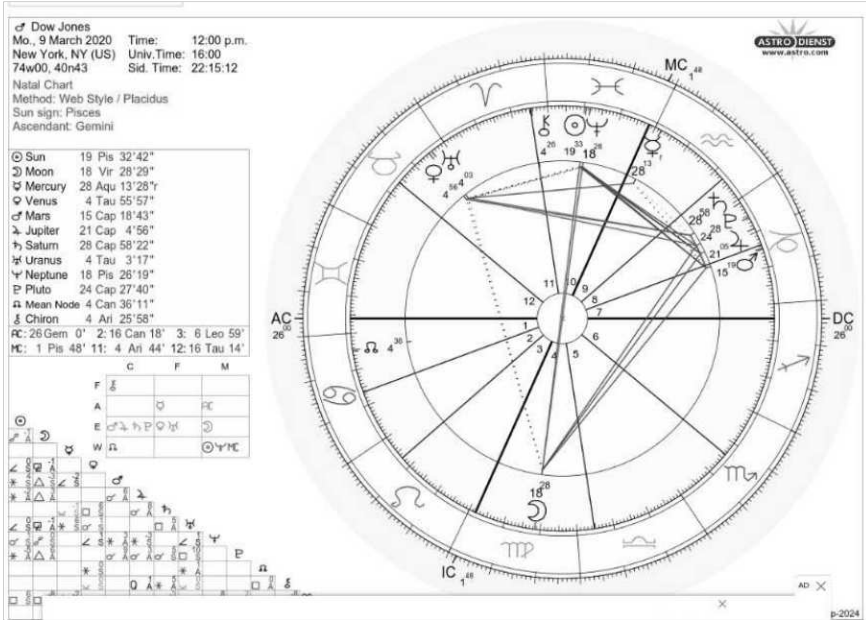
Type: 2.GW 7-Sep-2024

Ecco come si trovava Marte nel cielo quel giorno

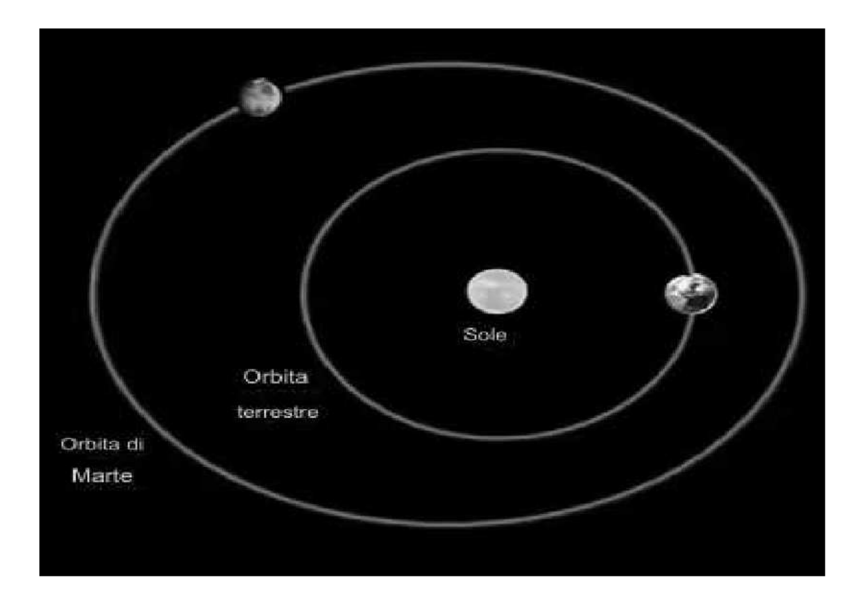


9 marzo 2020 Crollo del mercato azionario





Marte era nel cielo qui quel giorno



Il 18 dicembre 1899 il mercato azionario crollò del -8,72%.

−8.72 %

Dow Jones
Mo., 18 December 1899 Time: 12:00 p.m.
New York, NY (US) Univ.Time: 17:00
74w00, 40n43 Sid. Time: 17:52:21
Event Chart
Method: Web Style / Placidus
Sun sign: Sagittarius
Ascendant: Pisces

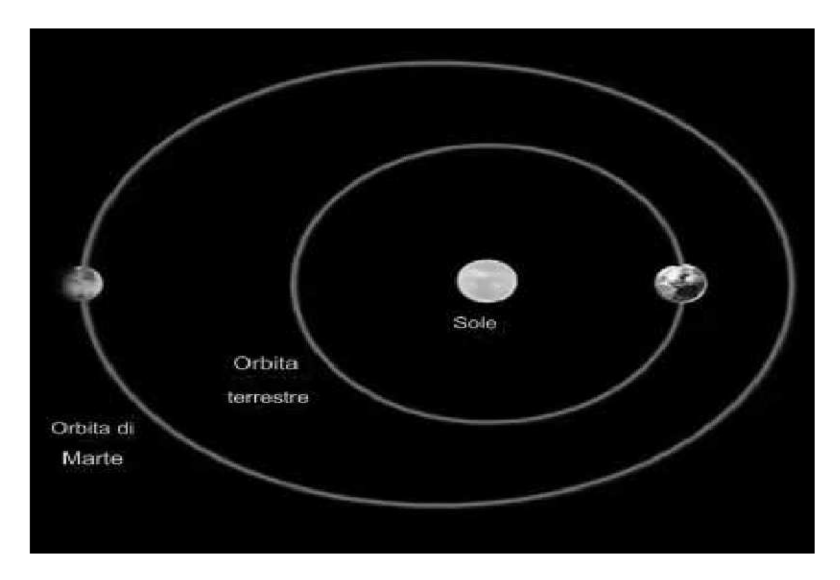
Sun	26 Sag 36'30"
Moon	15 Can 39' 6"
Mercury	6 Sag 22'17"
Venus	19 Cap 49'26"
Mars	3 Cap 41'27"
Jupiter	28 Sco 26'50"
Saturn	26 Sag 9'19"
Uranus	9 Sag 22'27"
Neptune	25 Gem 35'26"r
Pluto	15 Gem 29'37"r
True Node	20 Sag 17'16"
Chiron	17 Sag 22'25"

AC 26 Pis 40' 2: 9 Tau 4' 3: 6 Gem 31'
MC 28 Sag 15' 11: 19 Cap 41' 12: 16 Aqu 5'

ASTRO DIENST www.astro.com

Type: 2.GW 21-Nov-2019

Ecco come si trovava Marte nel cielo quel giorno



12 agosto 1932, il mercato azionario crollò del -8,4%

−8.40 %

Dow Jones
Fr., 12 August 1932 Time: 12:00 p.m.
New York, NY (US) Univ.Time: 16:00
74w00, 40n43 Sid. Time: 8:27:33
Event Chart
Method: Web Style / Placidus
Sun sign: Leo
Ascendant: Libra

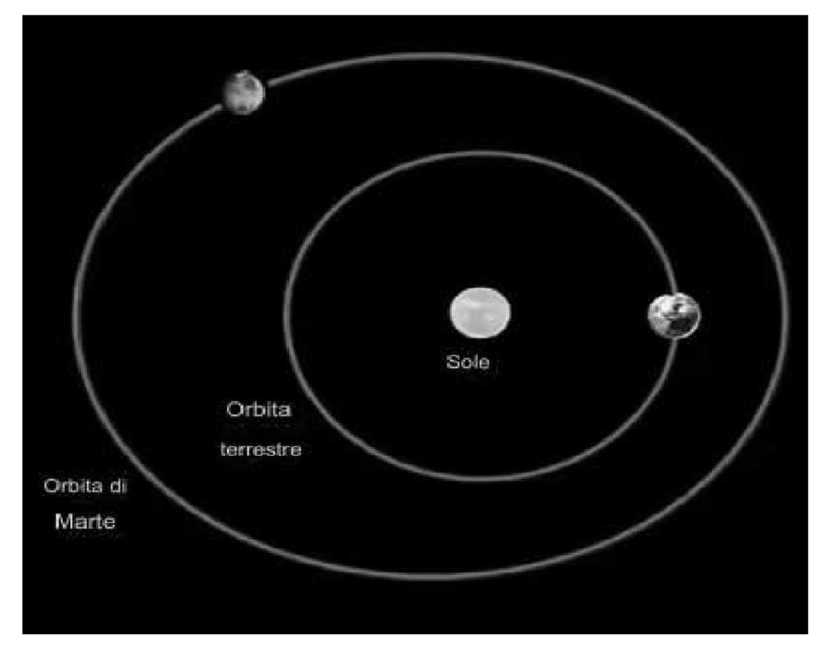
☉ Sun	19 Leo 41'45"
☽ Moon	3 Cap 41'59"
☿ Mercury	28 Leo 27'51"r
♀ Venus	7 Can 15'24"
♂ Mars	5 Can 11'35"
♃ Jupiter	0 Vir 17'39"
♄ Saturn	0 Aqu 3'14"r
♅ Uranus	23 Ari 18'36"r
♆ Neptune	7 Vir 2'19"
♇ Pluto	22 Can 27'30"
☊ True Node	17 Pis 22' 6"
⚷ Chiron	28 Tau 25'38"

AC 29 Lib 9' 2: 27 Sco 18' 3: 29 Sag 37'
MC 4 Leo 33' 11: 7 Vir 43' 12: 6 Lib 1'

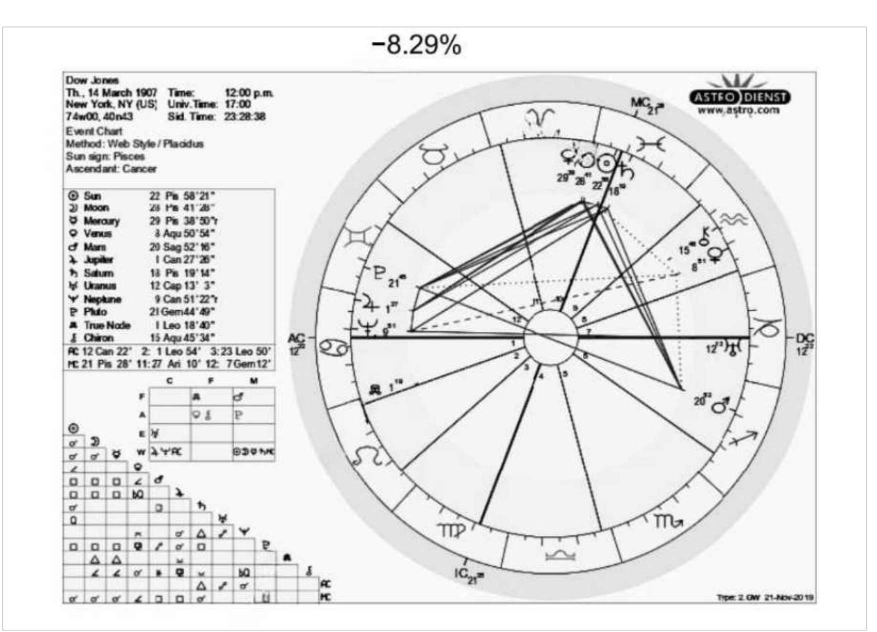
ASTRO DIENST www.astro.com

Type: 2.GW 21-Nov-2019

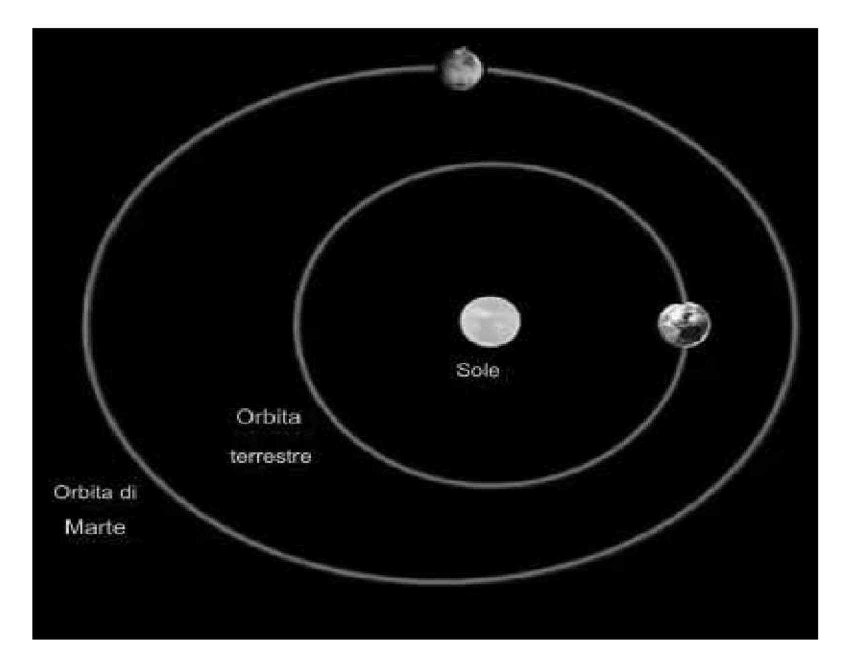
Marte era così nel cielo quel giorno



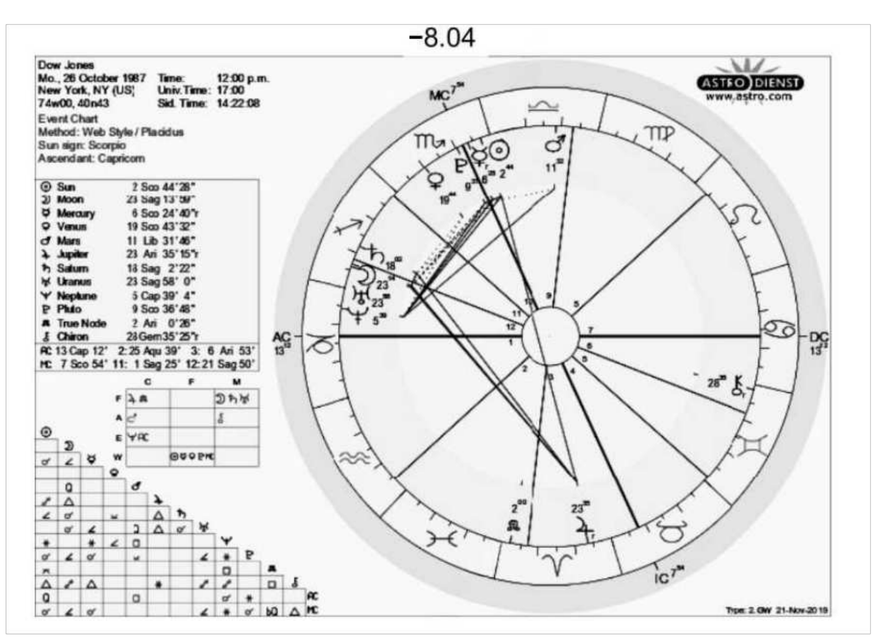
Il 14 marzo 1907 il mercato azionario crollò del -8,29%



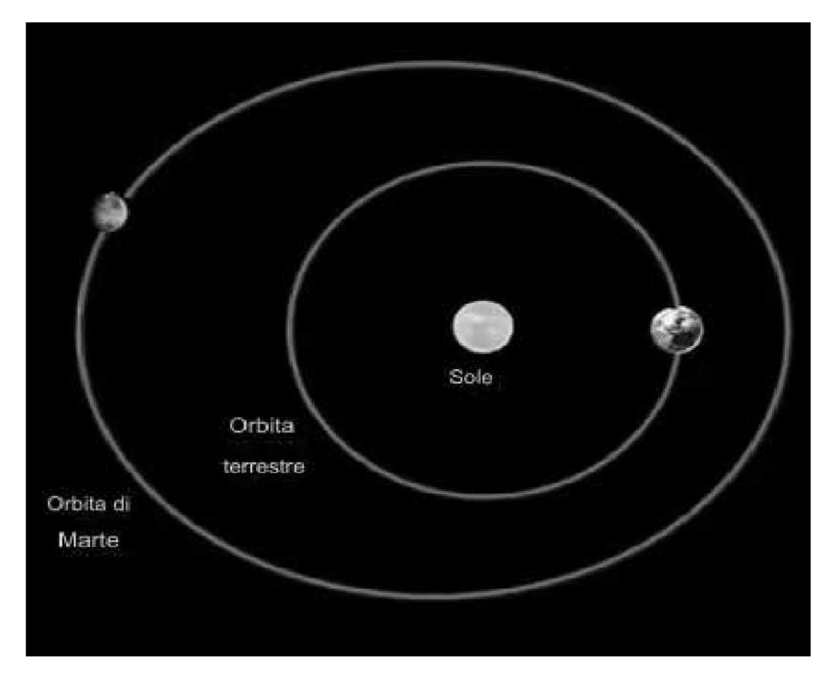
Marte era così nel cielo quel giorno



Il 26 ottobre 1987 il mercato azionario crollò del -8,04%.



Marte era nel cielo qui quel giorno



Il 15 ottobre 2008 il mercato azionario è sceso del -7,87%

−7.87%

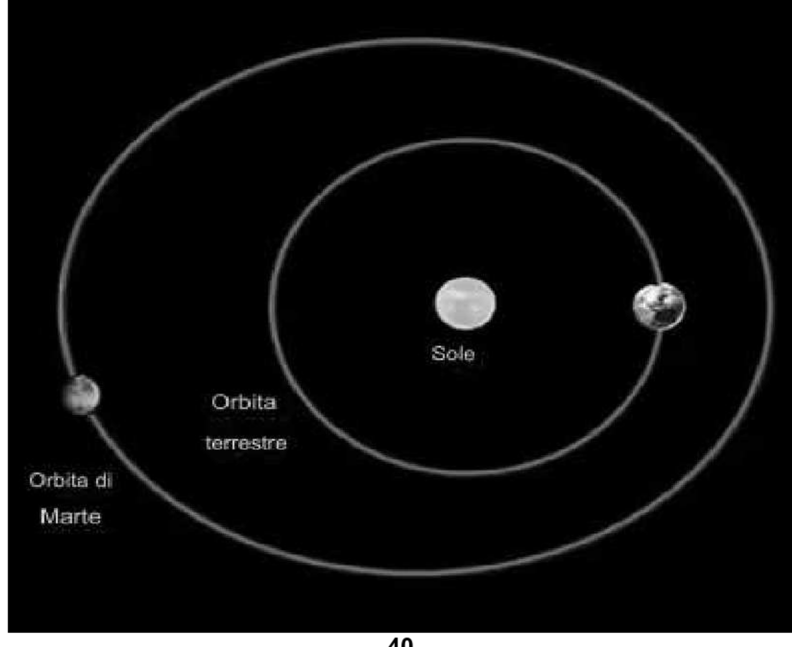
Dow Jones
We., 15 October 2008 Time: 12:00 p.m.
New York, NY (US) Univ.Time: 16:00
74w00, 40n43 Sid. Time: 12:42:13
Event Chart
Method: Web Style / Placidus
Sun sign: Libra
Ascendant: Sagittarius

☉	Sun	22 Lib 40' 3"
☽	Moon	3 Tau 57' 2"
☿	Mercury	7 Lib 34' 7"r
♀	Venus	26 Sco 14' 2"
♂	Mars	7 Sco 48'41"
♃	Jupiter	14 Cap 41'48"
♄	Saturn	16 Vir 56'36"
♅	Uranus	19 Pis 27'57"r
♆	Neptune	21 Aqu 33'17"r
♇	Pluto	28 Sag 50'40"
☊	True Node	16 Aqu 12'34"
⚷	Chiron	16 Aqu 5'12"r

AC 19 Sag 57' 2: 25 Cap 43' 3: 6 Pis 5'
MC 11 Lib 29' 11: 8 Sco 41' 12: 0 Sag 23'

ASTRO DIENST www.astro.com
Type: 2.GW 21-Nov-2019

Marte era nel cielo qui quel giorno



21 luglio 1933, il mercato azionario crolla -7,84

−7.84%

Dow Jones
Fr., 21 July 1933 Time: 12:00 p.m.
New York, NY (US) Univ.Time: 16:00
74w00, 40n43 Sid. Time: 6:59:52
Event Chart
Method: Web Style / Placidus
Sun sign: Cancer
Ascendant: Libra

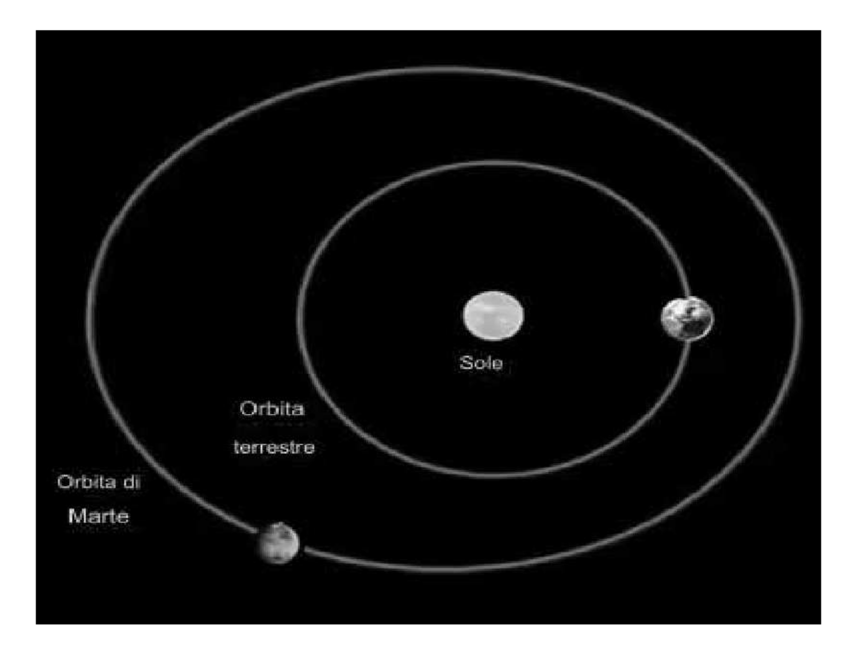
Sun	28 Can 24' 16"
Moon	17 Can 14' 34"
Mercury	12 Leo 20' 33"r
Venus	22 Leo 40' 14"
Mars	8 Lib 13' 31"
Jupiter	20 Vir 7' 21"
Saturn	14 Aqu 9' 5"r
Uranus	27 Ari 21' 27"
Neptune	8 Vir 25' 37"
Pluto	23 Can 8' 48"
True Node	28 Aqu 48' 4"
Chiron	2 Gem 46' 46"

AC 11 Lib 52' 2: 8 Sco 49' 3: 9 Sag 51'
MC 13 Can 47' 11: 17 Leo 11' 12: 16 Vir 54'

ASTRO DIENST www.astro.com

Type: 2.GW 21-Nov-2019

Marte era nel cielo qui quel giorno



Il 18 ottobre 1937 il mercato azionario crollò del -7,75%

−7.75%

Dow Jones
Mo., 18 October 1937 Time: 12:00 p.m.
New York, NY (US) Univ.Time: 17:00
74w00, 40n43 Sid. Time: 13:51:03
Event Chart
Method: Web Style / Placidus
Sun sign: Libra
Ascendant: Capricorn

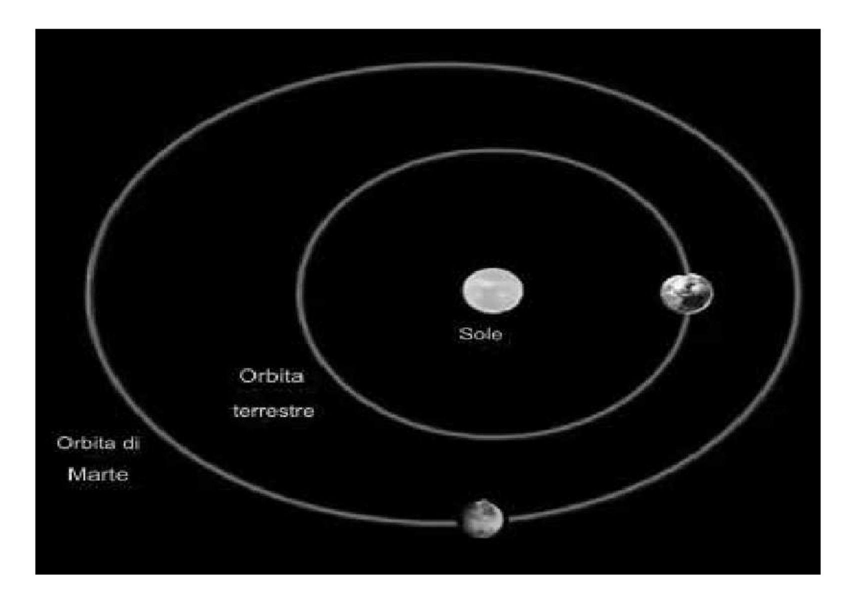
Sun	24 Lib 53'54"
Moon	8 Ari 36'33"
Mercury	17 Lib 31'35"
Venus	28 Vir 47'18"
Mars	12 Cap 35'48"
Jupiter	19 Cap 21'39"
Saturn	29 Pis 57'47"r
Uranus	12 Tau 21'43"r
Neptune	20 Vir 0' 1"
Pluto	0 Leo 5'24"
True Node	6 Sag 46' 9"
Chiron	1 Can 10'16"r

AC 5 Cap 29' 2: 15 Aqu 41' 3: 27 Pis 13'
MC 29 Lib 51' 11: 24 Sco 25' 12: 15 Sag 2'

ASTRO DIENST
www.astro.com

Type: 2.GW 21-Nov-2019

Questo è dove si trovava Marte quel giorno



Il 1 dicembre 2008 il mercato azionario è sceso del -7,70%

−7.70%

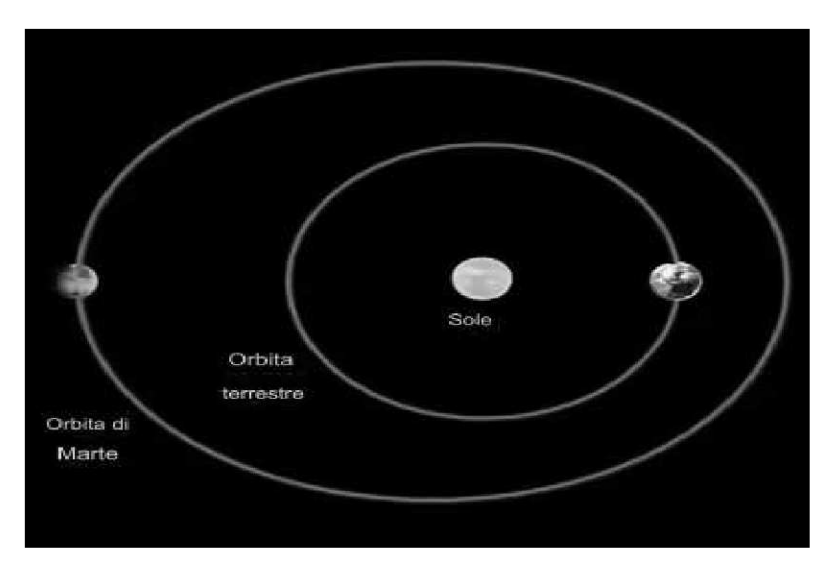
Dow Jones
Mo., 1 December 2008 Time 12:00 p.m.
New York, NY (US) Univ. Time: 17:00
74w00, 40n43 Sid. Time: 16:47:41
Event Chart
Method: Web Style / Placidus
Sun sign: Sagittarius
Ascendant: Aquarius

☉	Sun	9 Sag 52'57"
☽	Moon	23 Cap 12'54"
☿	Mercury	13 Sag 13'43"
♀	Venus	22 Cap 39' 5"
♂	Mars	11 Sag 4'51"
♃	Jupiter	22 Cap 18'58"
♄	Saturn	20 Vir 56'55"
♅	Uranus	18 Pis 44'44"
♆	Neptune	21 Aqu 42'46"
♇	Pluto	0 Cap 9'38"
☊	True Node	10 Aqu 59' 4"
⚷	Chiron	16 Aqu 47'22"

AC: 29 Aqu 39' 2: 17 Ari 9' 3: 19 Tau 40'
MC: 13 Sag 20' 11: 4 Cap 16' 12: 27 Cap 12'

ASTRO DIENST www.astro.com
MC 13° AC 29° DC 29° IC 13°
Type: 2.GW 21-Nov-2019

Ecco la posizione di Marte nel cielo quel giorno



Il 9 ottobre 2008 il mercato azionario è sceso del -7,33%

−7.33 %

Dow Jones
Th., 9 October 2008 Time: 12:00 p.m.
New York, NY (US) Univ. Time: 16:00
74w00, 40n43 Sid. Time: 12:18:34
Event Chart
Method: Web Style / Placidus
Sun sign: Libra
Ascendant: Sagittarius

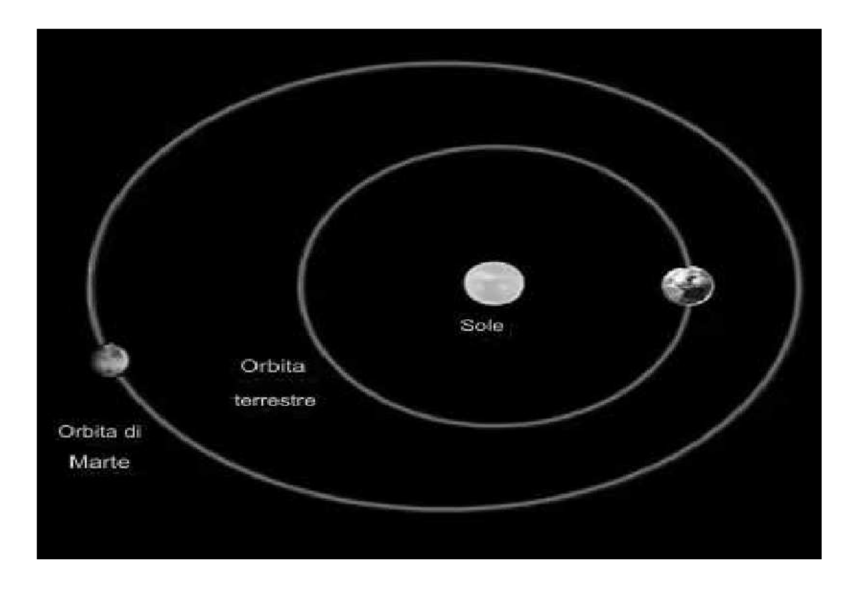
Sun	16 Lib 43'50"
Moon	12 Aqu 16'23"
Mercury	10 Lib 53'20"r
Venus	18 Sco 56'39"
Mars	3 Sco 42'48"
Jupiter	14 Cap 4'32"
Saturn	16 Vir 16' 7"
Uranus	19 Pis 39'46"r
Neptune	21 Aqu 37'18"r
Pluto	28 Sag 44'25"
True Node	16 Aqu 45'38"d
Chiron	16 Aqu 10' 6"r

AC 14 Sag 57' 2: 19 Cap 27' 3: 29 Aqu 3'
MC 5 Lib 3' 11: 3 Sco 10' 12: 25 Sco 25'

ASTRO DIENST www.astro.com

Type: 2.GW 21-Nov-2019

Ecco la posizione di Marte nel cielo quel giorno



Il 1° febbraio 1917 il mercato azionario crollò del -7,24%

−7.24%

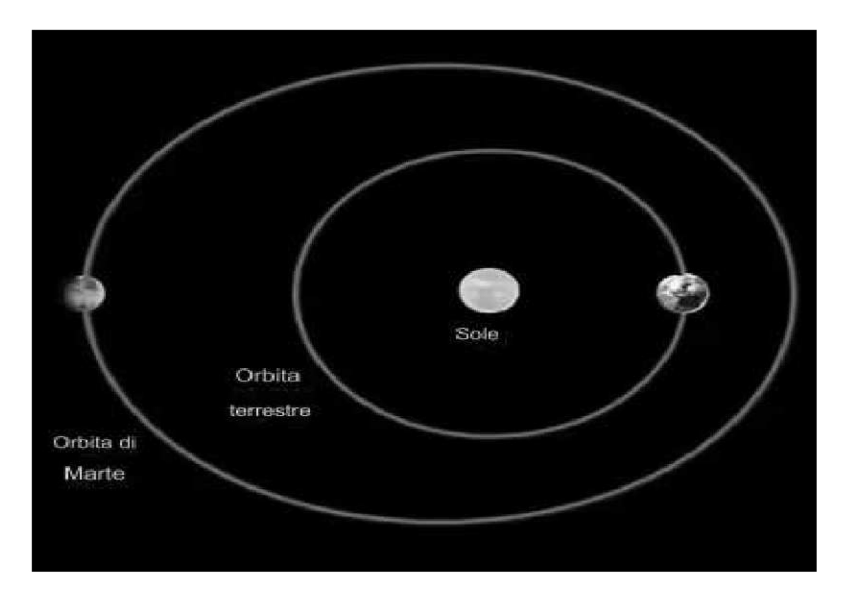
Dow Jones
Th., 1 February 1917 Time: 12:00 p.m.
New York, NY (US) Univ.Time: 17:00
74w00, 40n43 Sid. Time: 20:49:18
Event Chart
Method: Web Style / Placidus
Sun sign: Aquarius
Ascendant: Gemini

☉	Sun	12 Aqu 17'52"
☽	Moon	13 Gem 8'39"
☿	Mercury	19 Cap 51'14"
♀	Venus	21 Cap 32' 2"
♂	Mars	18 Aqu 15'15"
♃	Jupiter	28 Ari 24'41"
♄	Saturn	25 Can 56'24"r
♅	Uranus	19 Aqu 16'31"
♆	Neptune	3 Leo 15'34"r
♇	Pluto	2 Can 40'26"r
☊	True Node	19 Cap 45'32"d
⚷	Chiron	23 Pis 22'39"

AC 3 Gem 30' 2: 27 Gem 10' 3: 17 Can 43'
MC 9 Aqu 53' 11: 8 Pis 13' 12: 17 Ari 44'

ASTRO DIENST www.astro.com
Type: 2.GW 21-Nov-2019

Marte era nel cielo qui quel giorno



Il 27 ottobre 1997 il mercato azionario crollò del 7,18%.

−7.18%

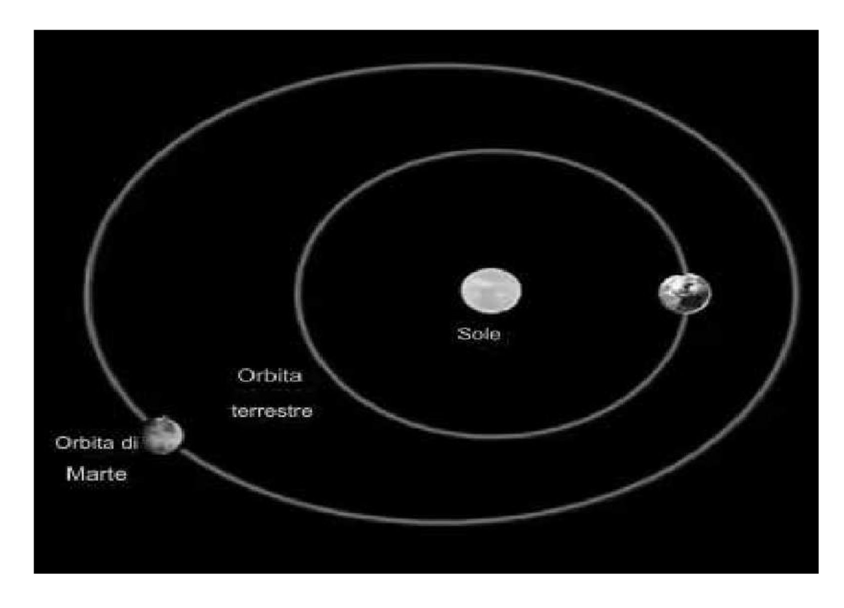
Dow Jones
Mo., 27 October 1997 Time: 12:00 p.m.
New York, NY (US) Univ.Time: 17:00
74w00, 40n43 Sid. Time: 14:28:21
Event Chart
Method: Web Style / Placidus
Sun sign: Scorpio
Ascendant: Capricorn

Sun	4 Sco 18'38"
Moon	23 Vir 34' 7"
Mercury	13 Sco 10'16"
Venus	21 Sag 3'54"
Mars	20 Sag 40'25"
Jupiter	12 Aqu 43' 1"
Saturn	15 Ari 33'43"r
Uranus	4 Aqu 48'41"
Neptune	27 Cap 16'37"
Pluto	4 Sag 17'36"
True Node	19 Vir 2'47"
Chiron	7 Sco 7'18"

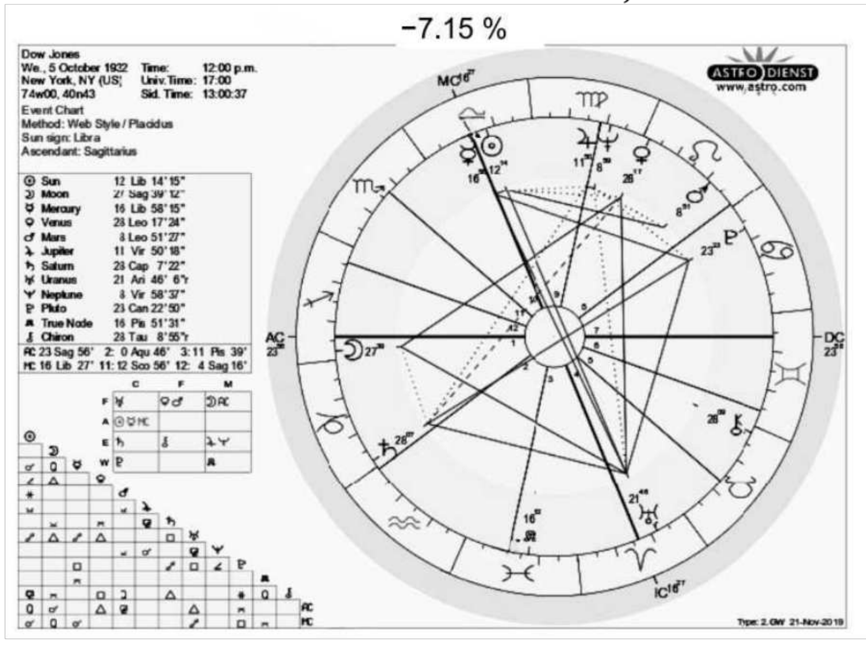
AC 14 Cap 49' 2: 27 Aqu 43' 3: 8 Ari 49'
MC 9 Sco 29' 11: 2 Sag 49' 12: 23 Sag 13'

ASTRO DIENST www.astro.com
MC 9°
AC 14°
DC 14°
IC 9°
Type: 2.GW 21-Nov-2019

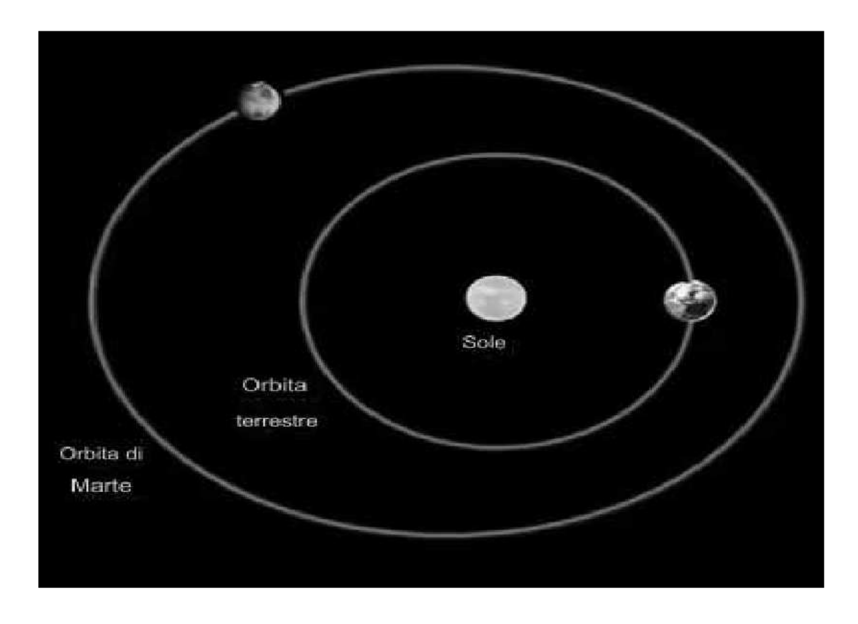
Marte era nel cielo qui quel giorno



Il 5 ottobre 1932 il mercato azionario crollò del -7,15%.



Marte era nel cielo qui quel giorno



Il 17 settembre 2001 il mercato azionario crollò del -7,13%

−7.13%

Dow Jones
Mo., 17 September 2001 Time: 12:00 p.m.
New York, NY (US) Univ.Time: 16:00
74w00, 40n43 Sid. Time: 10:50:36
Event Chart
Method: Web Style / Placidus
Sun sign: Virgo
Ascendant: Scorpio

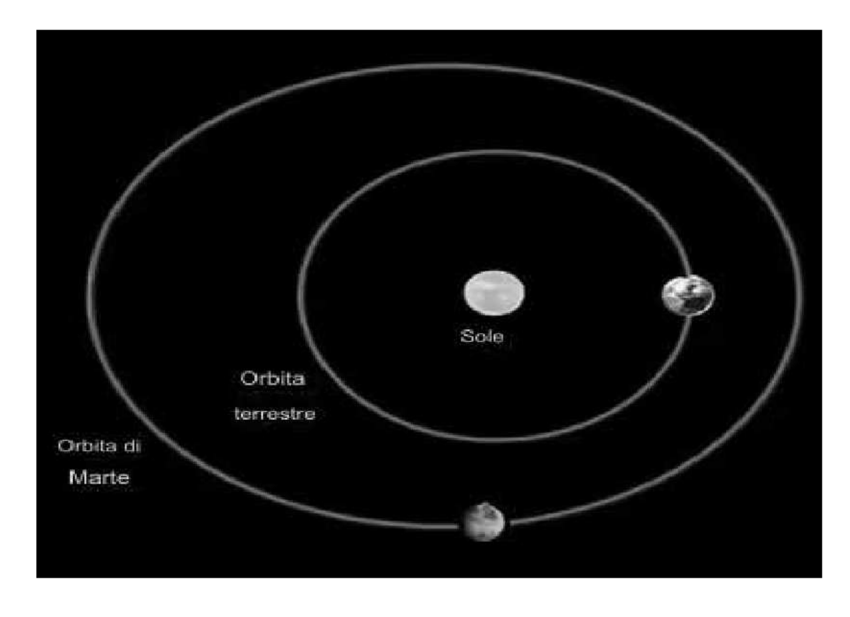
☉	Sun	24 Vir 49'27"
☽	Moon	28 Vir 6'26"
☿	Mercury	21 Lib 12'37"
♀	Venus	25 Leo 50' 5"
♂	Mars	4 Cap 45'51"
♃	Jupiter	12 Can 26'38"
♄	Saturn	14 Gem 53'24"
♅	Uranus	21 Aqu 38'15"r
♆	Neptune	6 Aqu 14'19"r
♇	Pluto	12 Sag 42'39"
☊	True Node	2 Can 32'18"
⚷	Chiron	23 Sag 13'25"

AC 27 Sco 10' 2: 28 Sag 13' 3: 4 Aqu 31'
MC 11 Vir 12' 11: 12 Lib 14' 12: 6 Sco 51'

ASTRO DIENST
www.astro.com

Type: 2.GW 21-Nov-2019

Marte era nel cielo qui quel giorno



Il 24 settembre 1931 il mercato azionario crollò del -7,07%

−7.07%

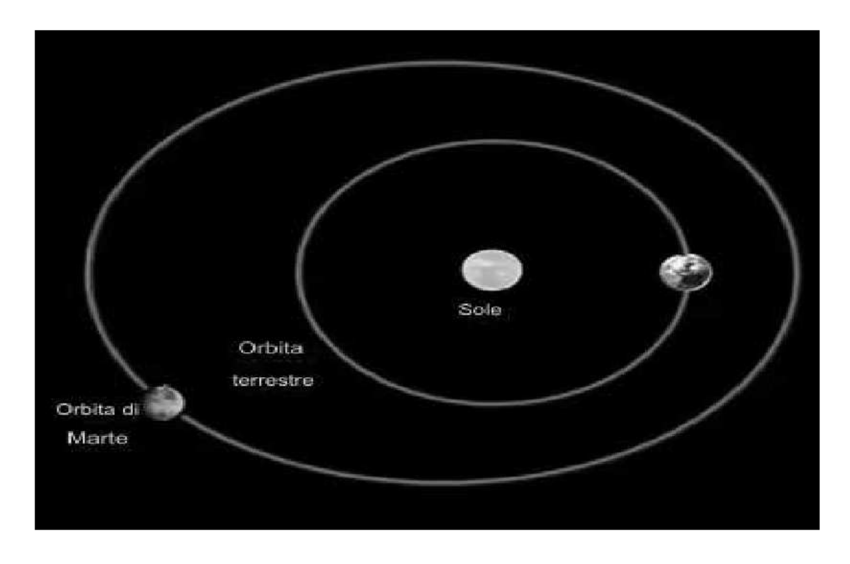
Dow Jones
Th., 24 September 1931 Time: 12:00 p.m.
New York, NY (US) Univ.Time: 16:00
74w00, 40n43 Sid. Time: 11:14:05
Event Chart
Method: Web Style / Placidus
Sun sign: Libra
Ascendant: Sagittarius

☉	Sun	0 Lib 38'13"
☽	Moon	7 Pis 13'43"
☿	Mercury	13 Vir 31'10"
♀	Venus	5 Lib 4'21"
♂	Mars	4 Sco 55'42"
♃	Jupiter	14 Leo 38'30"
♄	Saturn	16 Cap 39'12"
♅	Uranus	18 Ari 3'37"r
♆	Neptune	6 Vir 27'23"
♇	Pluto	21 Can 59'17"
☊	True Node	5 Ari 23'26"
⚷	Chiron	23 Tau 18'22"r

AC 1 Sag 49' 2: 3 Cap 37' 3: 10 Aqu 48'
MC 17 Vir 31' 11: 17 Lib 53' 12: 11 Sco 50'

ASTRO DIENST www.astro.com

Marte era nel cielo qui quel giorno



Il 20 luglio 1932 il mercato azionario crollò del -7,07%

−7.07%

Dow Jones
We., 20 July 1932 Time: 12:00 p.m.
New York, NY (US) Univ.Time: 16:00
74w00, 40n43 Sid. Time: 6:56:52
Event Chart
Method: Web Style / Placidus
Sun sign: Cancer
Ascendant: Libra

Sun	27 Can 40'53"
Moon	2 Pis 23'16"
Mercury	24 Leo 34'13"
Venus	28 Gem 54'50"r
Mars	19 Gem 45'27"
Jupiter	25 Leo 26'36"
Saturn	1 Aqu 43'11"r
Uranus	23 Ari 21'41"
Neptune	6 Vir 16'18"
Pluto	21 Can 52' 9"
True Node	18 Pis 6'42"
Chiron	27 Tau 39'36"

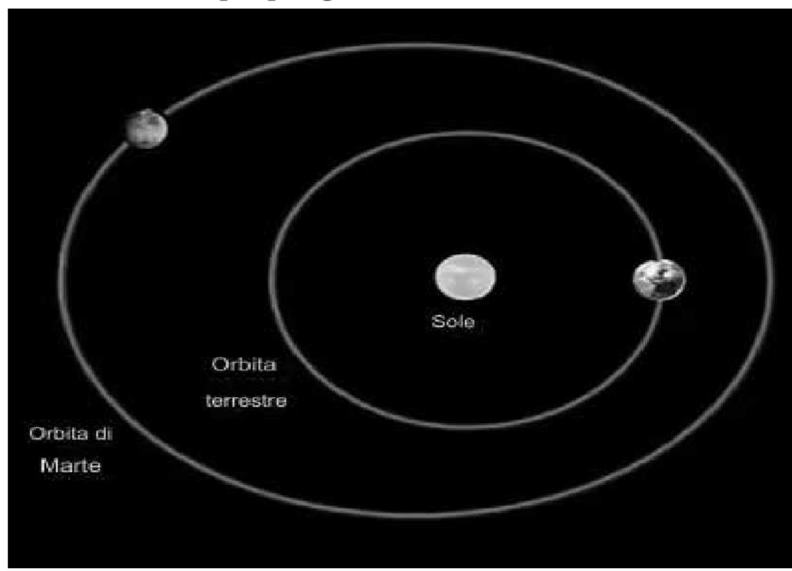
AC 11 Lib 17' 2: 8 Sco 11' 3: 9 Sag 11'
MC 13 Can 5' 11: 16 Leo 29' 12: 16 Vir 15'

MC 13 · AC 11 · DC 11 · IC 13

ASTRO DIENST www.astro.com

Type: 2.GW 21-Nov-2019

Marte era nel cielo qui quel giorno



Il 30 luglio 1914 il mercato azionario crollò del -6,91%

−6.91%

Dow Jones
Th., 30 July 1914 Time: 12:00 p.m.
New York, NY (US) Univ.Time: 17:00
74w00, 40n43 Sid. Time: 8:33:56
Event Chart
Method: Web Style / Placidus
Sun sign: Leo
Ascendant: Scorpio

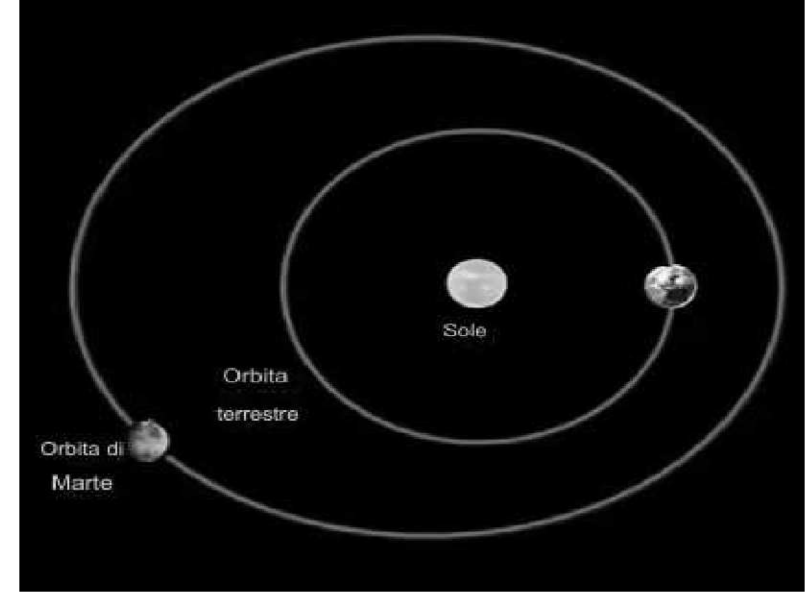
☉	Sun	6 Leo 39'37"
☽	Moon	16 Sco 6'52"
☿	Mercury	19 Can 23' 5"
♀	Venus	17 Vir 28'37"
♂	Mars	20 Vir 42'11"
♃	Jupiter	18 Aqu 47'12"r
♄	Saturn	27 Gem 31'38"
♅	Uranus	9 Aqu 45'57"r
♆	Neptune	28 Can 17'17"
♇	Pluto	1 Can 30'17"
☊	True Node	6 Pis 11'36"
⚷	Chiron	18 Pis 19'39"r

AC 0 Sco 24' 2: 28 Sco 39' 3: 1 Cap 5'
MC 6 Leo 6' 11: 9 Vir 15' 12: 7 Lib 24'

ASTRO DIENST
www.astro.com

Type: 2.GW 21-Nov-2019

Marte era nel cielo qui quel giorno



29 settembre 2008, il mercato azionario è sceso del 6,98%

-6,98%

♂ Dow Jones
Mo., 29 September 2008 Time: 12:00 p.m.
New York, NY (US) Univ.Time: 16:00
74w00, 40n43 Sid. Time: 11:39:09
Natal Chart
Method: Web Style / Placidus
Sun sign: Libra
Ascendant: Sagittarius

☉ Sun	6	Lib	52'33"
☽ Moon	10	Lib	44'46"
☿ Mercury	21	Lib	7'33"r
♀ Venus	6	Sco	45'49"
♂ Mars	26	Lib	57'10"
♃ Jupiter	13	Cap	15'40"
♄ Saturn	15	Vir	5'37"
♅ Uranus	20	Pis	1'25"r
♆ Neptune	21	Aqu	46'16"r
♇ Pluto	28	Sag	36'24"
☊ Mean Node	15	Aqu	54'16"
⚷ Chiron	16	Aqu	23' 9"r

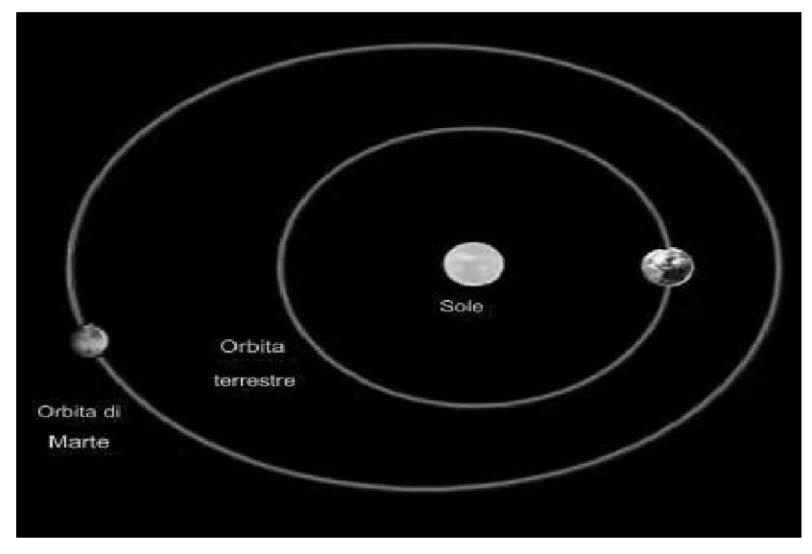
AC: 6 Sag 51' 2: 9 Cap 35' 3: 17 Aqu 44'
MC: 24 Vir 19' 11: 23 Lib 52' 12: 17 Sco 7'

ASTRO DIENST www.astro.com

MC 24°19' · AC 6°51' · DC 6°51' · IC 24°19'

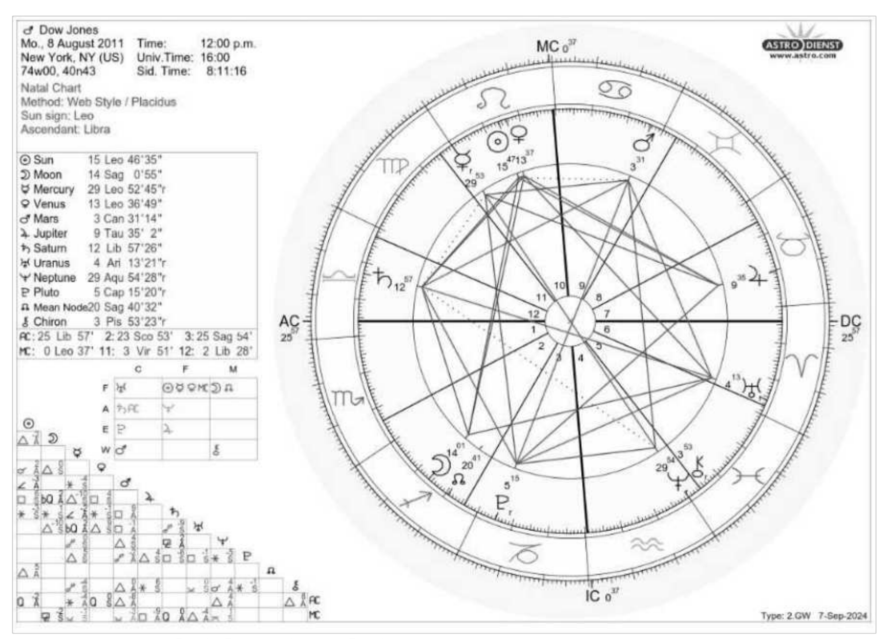
Type: 2.GW 7-Sep-2024

Marte era nel cielo qui quel giorno

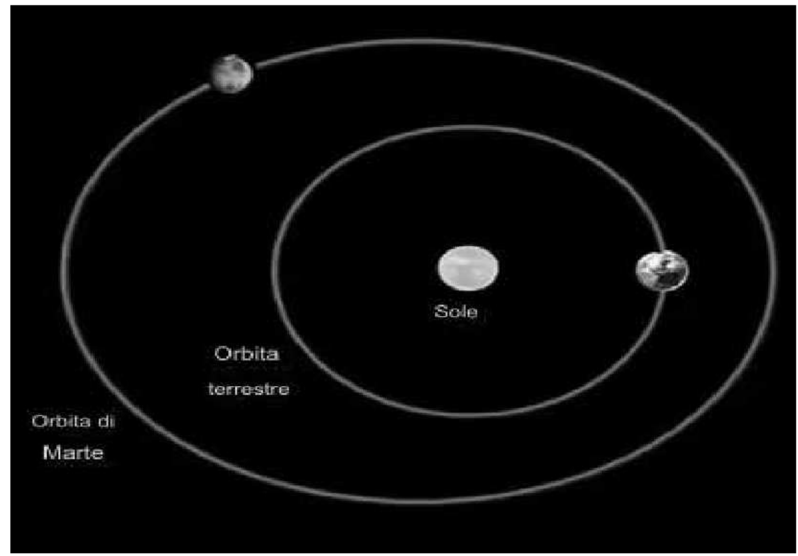


L'8 agosto 2011 il mercato azionario è sceso del -5,15%

-5,15%



Marte era nel cielo qui quel giorno



Il 14 aprile 2000 il mercato azionario crollò del -5,66%

-5,66%

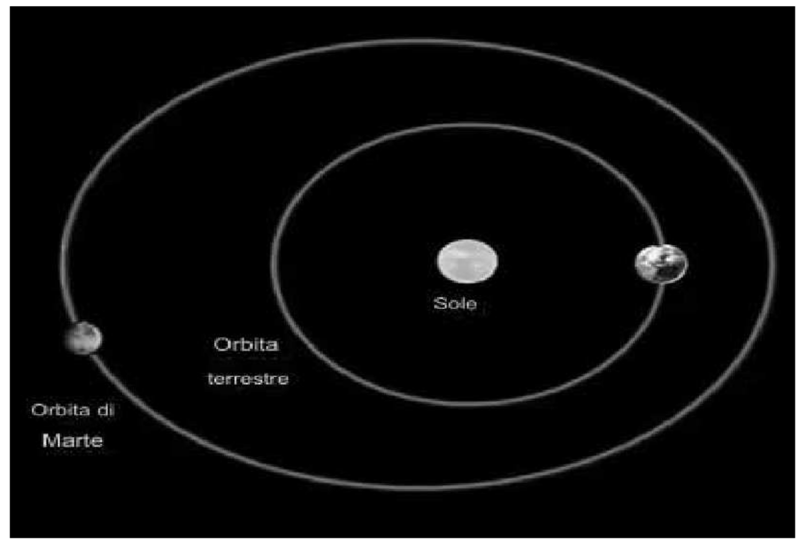
Dow Jones
Fr., 14 April 2000 Time: 12:00 p.m.
New York, NY (US) Univ.Time: 16:00
74w00, 40n43 Sid. Time: 0:36:31
Natal Chart
Method: Web Style / Placidus
Sun sign: Aries
Ascendant: Cancer

Sun	25	Ari	0'16"
Moon	4	Vir	56'40"
Mercury	2	Ari	32'25"
Venus	9	Ari	43'59"
Mars	16	Tau	25'11"
Jupiter	12	Tau	18'53"
Saturn	17	Tau	7'26"
Uranus	20	Aqu	9'29"
Neptune	6	Aqu	25' 5"
Pluto	12	Sag	39'21"r
Mean Node	29	Can	31'27"
Chiron	16	Sag	58'50"r

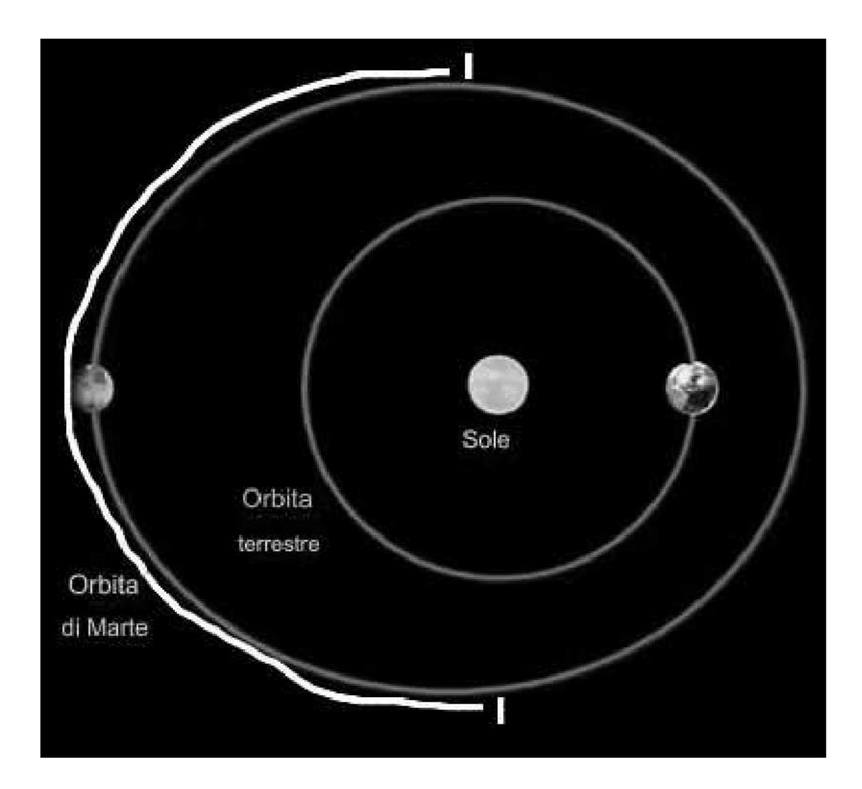
AC: 26 Can 18' 2: 16 Leo 11' 3: 9 Vir 52'
MC: 9 Ari 56' 11: 16 Tau 37' 12: 24 Gem 10'

ASTRO DIENST www.astro.com
AC 26 DC 26 MC 9 IC 9
Type: 2.GW 7-Sep-2024

Marte era nel cielo qui quel giorno



Durante tutti i giorni dei maggiori crolli e ribassi del mercato azionario nella storia del Dow Jones, Marte è sempre stato nella fase orbitale contrassegnata dalla linea bianca dal punto di vista della Terra.



Questi dati mostrano che se Marte orbita nell'area non contrassegnata dalla linea bianca, non si verificherà mai un grave crollo del mercato azionario. Possiamo dirlo con certezza al 100%.

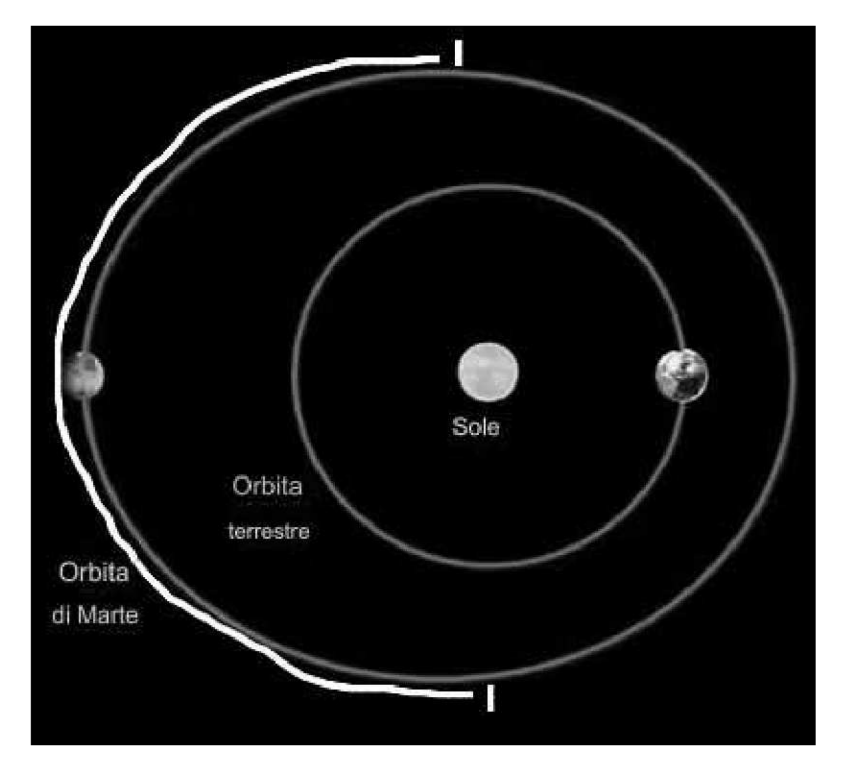
L'area bianca rappresenta la fase dell'orbita in cui Marte si allontana dalla Terra, ma anche quando la sua gravità inclina l'asse terrestre verso il Sole, portando potenzialmente a temperature più elevate, che dovrebbero avere l'impatto più negativo sulla fiducia degli investitori, supponendo che un aumento temperature rispetto alla media influenzano la funzione cognitiva e innescano una sorta di irritabilità o pessimismo. Esistono studi che confermano questa dinamica tra temperature più elevate e stati d'animo negativi.

Al di fuori dell'area bianca, quando Marte si avvicina alla Terra, la sua gravità allontana l'asse terrestre dal Sole, portando probabilmente temperature più fresche e meno effetti negativi sull'umore, il che potrebbe spiegare perché non si verificano mai eventi importanti in questa fase dell'orbita di Marte. incidenti in arrivo.

Variazioni percentuali del Dow Jones tra il 1896 e il 2023, correlate alla fase orbitale di Marte.
Di Anthony da Boston

Si prega di leggere questo documento per contestualizzare prima di analizzare i seguenti dati
https://www.academia.edu/123648970

Di seguito sono riportati i periodi durante i quali Marte è scomparso dietro il Sole dal punto di vista della Terra, nonché l'andamento del Dow Jones durante questo periodo. Tutti i 25 principali crolli del mercato azionario si sono verificati quando Marte si trovava da qualche parte lungo la linea bianca. Questo è indicato tra parentesi nei dati. La teoria è che durante questa fase orbitale di Marte, la sua gravità spinge l’asse della Terra verso il sole, aumentando il riscaldamento e influenzando negativamente il sentiment degli investitori.

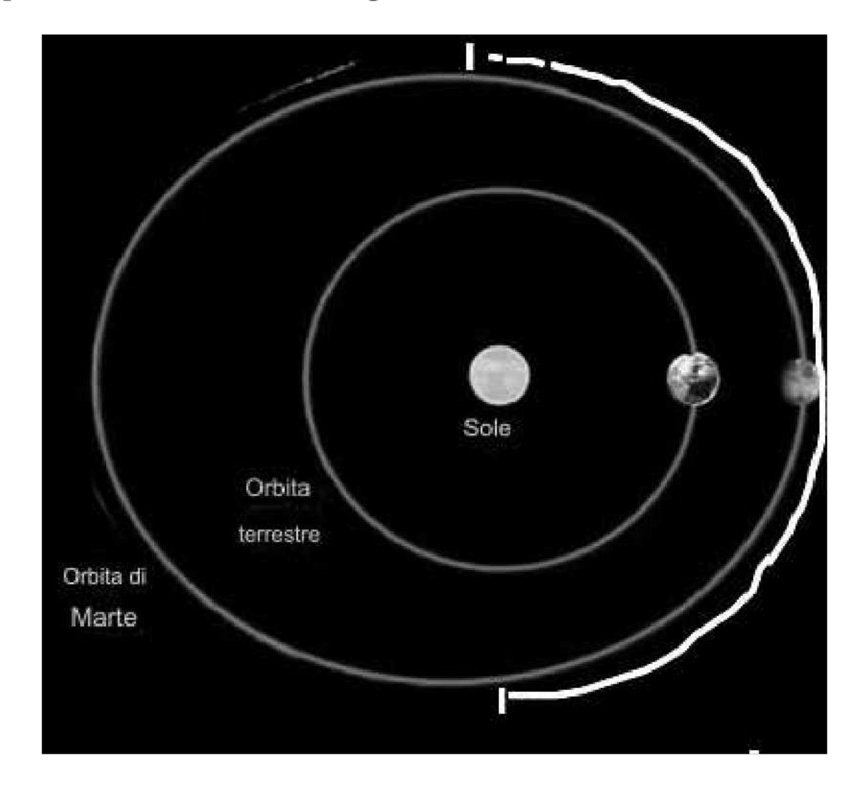


Dal 15 luglio 1896 al 1 settembre 1896 Marte era dietro il Sole. Il Dow Jones è sceso del -3,46%
15 febbraio 1897 – 18 ottobre 1898, Marte era dietro il Sole. Il Dow Jones è salito del 29%
24 marzo 1899 – 15 novembre 1900, Marte era dietro il Sole. Il Dow Jones è sceso del -3,14%
(18 dicembre 1899, il mercato azionario crollò del -8,72%)
2 maggio 1901 – 27 dicembre 1902, Marte era dietro il Sole. Il Dow è sceso del -14,93%
9 giugno 1903 - 26 gennaio 1905, Marte era dietro il Sole, il Dow Jones salì del +23%
1 agosto 1905 – 14 marzo 1907, Marte era dietro il Sole, il Dow crollò del -4,84%
(14 marzo 1907, il mercato azionario crollò del -8,29%)
14 ottobre 1907 – 13 maggio 1909 – Marte dietro il sole, Dow salito del +40%
18 dicembre 1909 – 8 agosto 1911 – Marte dietro il sole, il Dow crollo del -15,63%
27 gennaio 1912 – 4 ottobre 1913 – Marte dietro il sole, il Dow crollo del -0,30%
11 marzo 1914 – 9 novembre 1915 – Marte dietro il sole, Dow salito del +17,29%
(30 luglio 1914, il mercato azionario crollò del -6,91%)
18 aprile 1916 – 12 dicembre 1917 – Marte dietro il sole, il Dow crollo del -26,10%
(Il 1° febbraio 1917 il mercato azionario crollò del -7,24%)
22 maggio 1918 – 14 gennaio 1920 - Marte dietro il sole, Dow salito del +23,54%
7 luglio 1920 – 19 febbraio 1922 – Marte dietro il sole, il Dow crolla del 7,60%
15 settembre 1922 – 12 aprile 1924 – Marte dietro il sole, il Dow crollo del -8,78%
23 novembre 1924 – 10 luglio 1926 – Marte dietro il sole, Dow salito del +36%

16 gennaio 1927 – 15 settembre 1928 – Marte dietro il sole, Dow salito del 45%
1 marzo 1929 – 27 ottobre 1930: Marte dietro il sole, il Dow scende del -38%
(Crollo del mercato azionario il 29 ottobre 1929)
(Crollo del mercato azionario del 6 novembre 1929)
28 marzo 1931 – 30 novembre 1932 – Marte dietro il sole, il Dow crollo del -92,36%
(12 agosto 1932, il mercato azionario crollò del -8,4%)
(24 settembre 1931, il mercato azionario crollò del -7,07%)
(5 ottobre 1932, il mercato azionario crollò del -7,15%)
(20 luglio 1932, il mercato azionario crollò del -7,07%)
3 maggio 1933 – 1 gennaio 1935, Marte dietro il sole, Dow salito del +37%
(21 luglio 1933, il mercato azionario crollò del -7,84%)
16 giugno 1935 – 3 febbraio 1937, Marte dietro il sole, Dow salito del 47,67%
10 agosto 1937 – 22 marzo 1939, Marte dietro il sole, il Dow crollo del -21,97%
(18 ottobre 1937, il mercato azionario crollò del -7,75%)
25 ottobre 1939 – 2 giugno 1941 – Marte dietro il sole, Dow crollo del -25,90%
31 dicembre 1942 – 28 agosto 1943 – Marte dietro il sole, Dow salito del +21,05%
13 febbraio 1944 – 12 ottobre 1945 – Marte dietro il sole, Dow salito del 32%
17 marzo 1946 - 18 novembre 1947 - Marte dietro il sole, Dow crollato - 4,61%
23 aprile 1948 – 18 dicembre 1949 – Marte dietro il sole, Dow salito del +8,78%
29 maggio 1950 – 22 gennaio 1952 – Marte dietro il sole, Dow salito del +22,91%
16 luglio 1952 – 2 marzo 1954 – Marte dietro il sole, Dow salito del +7,72%
1 ottobre 1954 - 28 aprile 1956 - Marte dietro il sole, il Dow è aumentato del 36,53%
7 dicembre 1956 – 25 luglio 1958 – Marte dietro il sole, Dow salito del +2,42%
27 gennaio 1959 – 26 settembre 1960 – Marte dietro il sole, il Dow è sceso del -1,68%
5 marzo 1961 – 6 novembre 1962 – Marte dietro il sole, il Dow crolla del 7,97%
10 aprile 1963 – 6 dicembre 1964 – Marte dietro il sole, Dow salito del +21,51%
17 maggio 1965 – 8 gennaio 1967 – Marte dietro il sole, il Dow è sceso del -14,02%
26 giugno 1967 – 14 febbraio 1969 – Marte dietro il sole, Dow salito del +8,68%
24 agosto 1969 - 1 aprile 1971 - Marte dietro il sole, il Dow è aumentato del 9,19%
17 novembre 1971 – 20 giugno 1973 – Marte dietro il sole, Dow salito del +8,88%
15 gennaio 1974 – 9 settembre 1975 – Marte dietro il sole, Dow salito del +2,03%
21 febbraio 1976 – 20 ottobre 1977 – Marte dietro il sole, il Dow è sceso del -18,33%
29 marzo 1978 – 23 novembre 1979 – Marte dietro il sole, il Dow crolla dell'8,27%
1 maggio 1980 – 24 dicembre 1981 – Marte dietro il sole, Dow in rialzo +8,21%
9 giugno 1982 – 30 gennaio 1984 – Marte dietro il sole, Dow in rialzo del 44%
1 agosto 1984 – 16 marzo 1986 – Marte dietro il sole, Dow in rialzo del 49%
15 ottobre 1986 – 19 maggio 1988 – Marte dietro il sole, Dow salito del +16,03%
(19 ottobre 1987, crollo del mercato azionario)
(26 ottobre 1987, il mercato azionario crollò del -8,04%)
17 dicembre 1988 – 7 agosto 1990 – Marte dietro il sole, Dow salito del +24,76%
6 febbraio 1991 – 5 ottobre 1992 – Marte dietro il sole, Dow salito del +14,44%
12 marzo 1993 – 10 novembre 1994 – Marte dietro il sole, Dow in rialzo del +10,79%
21 aprile 1995 – 13 dicembre 1996 – Marte dietro il sole, Dow in rialzo del +40,92%
20 maggio 1997 – 14 gennaio 1999 – Marte dietro il sole, Dow salito del +26,49%
(Il 27 ottobre 1997 il mercato azionario crollò del -7,18%)
8 luglio 1999 – 22 febbraio 2001 – Marte dietro il sole, il Dow è sceso del -3,20%
(14 aprile 2000, il mercato azionario è sceso del -5,66%)
13 settembre 2001 – 18 aprile 2003 – Marte dietro il sole, il Dow è sceso del -9,25%
(17 settembre 2001, il mercato azionario è sceso del -7,13%)
1 dicembre 2003 - 12 luglio 2005 - Marte dietro il sole, Dow up +8,13%
17 gennaio 2006 – 17 settembre 2007 – Marte dietro il sole, Dow in rialzo +21,00%

27 febbraio 2008 – 28 ottobre 2009 – Marte dietro il sole, il Dow è sceso del -16,66%
(15 ottobre 2008, il mercato azionario è sceso del -7,87%)
(29 settembre 2008, il mercato azionario è sceso del -6,98%)
(9 ottobre 2008, il mercato azionario è sceso del -7,33%)
(Il 1° dicembre 2008 il mercato azionario è sceso del -7,70%)
5 aprile 2010 – 1 dicembre 2011 – Marte dietro il sole, Dow in rialzo +12,35%
(8 agosto 2011, il mercato azionario è sceso del -5,15%)
8 maggio 2012 – 2 gennaio 2014 – Marte dietro il sole, Dow in rialzo del +24,46%
15 giugno 2014 – 8 febbraio 2016 – Marte dietro il sole, il Dow è sceso del -2,81%
15 agosto 2016 – 23 marzo 2018 – Marte dietro il sole, Dow in rialzo del 24%
4 novembre 2018 – 7 giugno 2020 – Marte dietro il sole, Dow in rialzo +7,28%
(9, 12 e 16 marzo 2020, crollo del mercato azionario)
1 gennaio 2021 – 27 agosto 2022 – Marte dietro il sole, Dow salito del +5,48%

Di seguito sono riportati i periodi in cui Marte è passato davanti al Sole visto dalla Terra, nonché l'andamento del Dow Jones durante questo periodo. Non si sono verificati gravi crolli del mercato azionario quando Marte si trovava da qualche parte lungo la linea bianca (vedi sotto). Questo è indicato nei dati. La teoria è che durante questa fase orbitale, la gravità di Marte allontana l'asse della Terra dal Sole, aumentando il raffreddamento e influenzando positivamente il sentiment degli investitori.



Dal 2 settembre 1896 al 13 febbraio 1897 Marte si trovò di fronte al Sole. Il Dow Jones è salito del +22%
19 ottobre 1898 - 23 marzo 1899, Marte di fronte al sole, il Dow Jones è salito di +32,90
16 novembre 1900 – 1 maggio 1901, Marte era di fronte al Sole. Il Dow Jones è salito del +13,49%
28 dicembre 1902 - 9 giugno 1903, Marte era di fronte al Sole, il Dow crollò del -10,09%
27 gennaio 1905 – 31 luglio 1905, Marte era di fronte al sole, il Dow Jones salì del +16%
15 marzo 1907 – 13 ottobre 1907 – Marte di fronte al Sole, il Dow è sceso del -18,70%
14 maggio 1909 - 17 dicembre 1909 - Marte di fronte al Sole, Dow salito +8,23

9 agosto 1911 – 26 gennaio 1912 – Marte prima del Sole, il Dow è sceso del -0,53%
5 ottobre 1913 - 9 marzo 1914 – Marte davanti al Sole, il Dow è salito del +1,17%
10 novembre 1915 – 18 aprile 1916 – Marte di fronte al Sole, il Dow è aumentato dello 0,04%
13 dicembre 1917 – 21 maggio 1918 – Marte di fronte al Sole, il Dow è aumentato del 21%
15 gennaio 1920 – 6 luglio 1920 – Marte di fronte al Sole, il Dow è sceso del -8,06%
20 febbraio 1922 – 14 settembre 1922 – Marte di fronte al Sole, il Dow è aumentato del 18,33%
13 aprile 1924 – 22 novembre 1924 – Marte di fronte al Sole, il Dow è aumentato del 19,21%
11 luglio 1926 – 15 gennaio 1927 – Marte di fronte al sole, il Dow è aumentato dello 0,47%
16 settembre 1928 – 28 febbraio 1929 – Marte davanti al Sole. Il Dow Jones è cresciuto del 29%.
28 ottobre 1930 – 27 marzo 1931 – Marte di fronte al Sole, il Dow è sceso del -7,81%
30 novembre 1932 – 2 maggio 1933, Marte di fronte al Sole, il Dow è aumentato del 35%
2 gennaio 1935 – 15 giugno 1935, Marte di fronte al Sole, il Dow è aumentato del 14,15%
4 febbraio 1937 – 9 agosto 1937, Marte di fronte al Sole, il Dow crollo del -0,31%
23 marzo 1939 – 24 ottobre 1939 – Marte di fronte al Sole, il Dow è aumentato del +11,45%
3 giugno 1941 – 30 dicembre 1941 – Marte di fronte al Sole, il Dow è sceso del -3,81%
29 agosto 1943 – 12 febbraio 1944 – Marte di fronte al Sole, il Dow è sceso del -0,11%
13 ottobre 1945 – 16 marzo 1946 – Marte di fronte al Sole, il Dow è aumentato del 4,87%
19 novembre 1947 – 22 aprile 1948 – Marte di fronte al Sole, il Dow è aumentato dello 0,91%
19 dicembre 1949 – 28 maggio 1950 – Marte di fronte al Sole, il Dow è aumentato del +11,49%
23 gennaio 1952 – 15 luglio 1952 – Marte di fronte al Sole, il Dow è aumentato dello 0,64%
3 marzo 1954 – 1 ottobre 1954 – Marte di fronte al Sole, il Dow è aumentato del 19,25%
29 aprile 1956 – 7 dicembre 1956 – Marte di fronte al Sole, il Dow è sceso del -3,00%
26 luglio 1958 – 26 gennaio 1959 - Marte di fronte al Sole, il Dow è aumentato del 16,86%
27 settembre 1960 – 5 marzo 1961 – Marte di fronte al Sole, il Dow è aumentato del 15,37%
7 novembre 1962 – 9 aprile 1963 – Marte davanti al sole, il Dow è aumentato del +14,72%
7 dicembre 1964 – 16 maggio 1965 – Marte di fronte al Sole, il Dow è salito del +7,70%
9 gennaio 1967 – 25 giugno 1967 – Marte di fronte al Sole, il Dow è salito del +8,43%
15 febbraio 1969 – 23 agosto 1969 – Marte di fronte al Sole, il Dow è sceso del -12,54%
2 aprile 1971 – 16 novembre 1971 – Marte di fronte al Sole, il Dow è sceso del -9,42%
21 giugno 1973 – 14 gennaio 1974 – Marte di fronte al Sole, il Dow è sceso del -3,98%
10 settembre 1975 – 20 febbraio 1976 – Marte di fronte al Sole, il Dow è aumentato del 18,21%
21 ottobre 1977 – 28 marzo 1978 – Marte di fronte al Sole, il Dow è sceso del -6,84%
24 novembre 1979 – 30 aprile 1980 – Marte di fronte al Sole, il Dow è aumentato del +1,17%
25 dicembre 1981 – 8 giugno 1982 – Marte di fronte al Sole, il Dow è sceso del -8,11%
1 febbraio 1984 – 30 luglio 1984 – Marte di fronte al Sole, il Dow è aumentato del -9,10%
17 marzo 1986 – 14 ottobre 1986 – Marte di fronte al sole, Dow salito del +1,18%

20 maggio 1988 – 16 dicembre 1988 – Marte di fronte al Sole, il Dow è aumentato del 10,03%
8 agosto 1990 – 5 febbraio 1991 – Marte di fronte al Sole, il Dow è salito del +3,77%
6 ottobre 1992 - 11 marzo 1993 - Marte davanti al sole, il Dow è aumentato del 8,58%
11 novembre 1994 – 20 aprile 1995 – Marte di fronte al Sole, il Dow è aumentato del 10,37%
14 dicembre 1996 – 19 maggio 1997 – Marte di fronte al Sole, il Dow è aumentato del 14,24%
15 gennaio 1999 – 7 luglio 1999 – Marte di fronte al Sole, il Dow è salito del +21,08%
23 febbraio 2001 – 12 settembre 2001 – Marte di fronte al Sole, il Dow è sceso del -8%
19 aprile 2003 – 30 novembre 2003 – Marte davanti al Sole, Dow in rialzo del +16%
13 luglio 2005 – 16 gennaio 2006 – Marte davanti al Sole, Dow in rialzo del +4,30%
18 settembre 2007 – 26 febbraio 2008 – Marte di fronte al Sole, il Dow è sceso di -4,71
29 ottobre 2009 – 4 aprile 2010 – Marte davanti al Sole, Dow in rialzo del +12,09%
2 dicembre 2011 – 7 maggio 2012 – Marte davanti al Sole, Dow in rialzo del +8,17%
3 gennaio 2014 – 14 giugno 2014 – Marte davanti al Sole, Dow in rialzo del +2,27%
9 febbraio 2016 – 14 agosto 2016 – Marte davanti al Sole, Dow in rialzo del +15,08%
24 marzo 2018 – 3 novembre 2018 – Marte di fronte al Sole, Dow è salito del +7,69%
8 giugno 2020 – 31 dicembre 2020 – Marte davanti al sole, Dow Jones è aumentato del +16,45%
28 agosto 2022 – 19 febbraio 2023 – Marte di fronte al Sole, Dow è salito del +4,78%

Sezione III

Per fornire un contesto pertinente a ciò che mostra questo articolo, è importante considerare un recente studio pubblicato su Nature Communications nel marzo 2024, circa 5 anni dopo che questa idea è stata presentata per la prima volta al pubblico. In questo studio, pubblicato nel marzo 2024, i ricercatori hanno scoperto che Marte esercita una forza gravitazionale sull'inclinazione della Terra, esponendo la Terra a temperature più calde e a più luce solare, il tutto in un ciclo di 2,4 milioni di anni. Io sostengo che questo ci porta a credere che anche su scale temporali più brevi, Marte esercita ancora una forza gravitazionale sull'inclinazione dell'asse terrestre sufficiente ad aumentare le temperature mentre Marte viaggia dietro il Sole, o ad abbassare le temperature, quando viaggia davanti al Sole. il sole, dal punto di vista della Terra. Ciò influenzerebbe le precipitazioni se altre dinamiche innescassero le perturbazioni della temperatura che favoriscono le precipitazioni


Nuove prove di un attore inaspettato nei cicli climatici multimilionari della Terra: il pianeta Marte

Pubblicato: 12 marzo 2024 15:14 EDT

Dietmar Müller

Email

Facebook 595

su Linkedin

La nostra esistenza è regolata da cicli naturali, dai ritmi quotidiani del sonno e dell'alimentazione, a schemi più ampi come il cambio delle stagioni e il ciclo quadriennale degli anni bisestili.

Dopo aver esaminato i sedimenti del fondale marino risalenti a 65 milioni di anni fa, abbiamo trovato un ciclo mai rilevato prima da aggiungere alla lista: un flusso e riflusso nelle correnti marine profonde, legato a un'ondata di riscaldamento e raffreddamento globale di 2,4 milioni di anni, guidata da un tiro alla fune gravitazionale tra la Terra e Marte. La nostra ricerca è pubblicata su Nature Communications.

Autori

Adriana Dutkiewicz
ARC Future Fellow, University of Sydney

Dietmar Müller
Professore di Geofisica
Università di Sydney

Slah Boulila
Sorbona

Nel 2014, due scienziati dell'Università di Washington hanno esaminato 15 anni di dati climatici e hanno scoperto che il conteggio delle lune influenza le precipitazioni. Tsubasa Kohyama e il suo professore John Wallace hanno esaminato 15 anni di dati sulle

precipitazioni tra il 1998 e il 2012 e hanno scoperto che la posizione della Luna, quando è in alto rispetto al nostro punto di osservazione sulla Terra o sotto i nostri piedi, aumenta la pressione atmosferica, con conseguente temperature più elevate, maggiore assorbimento umidità e meno precipitazioni. Sebbene l'effetto fosse solo l'1% di tutte le fluttuazioni delle precipitazioni, i dati erano sufficientemente significativi da collegare la posizione della Luna alle precipitazioni. In teoria, le precipitazioni dovrebbero essere maggiori all'alba o al tramonto dal nostro punto di osservazione. Ma al meridiano, secondo lo studio, la Luna riduce le precipitazioni. La scienza alla base di questo studio è che la gravità della Luna spinge l'atmosfera terrestre più in alto e aumenta la pressione atmosferica. Quando ciò accade, l'aria sottostante diventa più calda e può trattenere più umidità. Questo studio ci consente di utilizzare la posizione della Luna come fattore scatenante delle precipitazioni. Poiché presupponiamo che la Luna abbia un effetto stabilizzante sulle oscillazioni della Terra, possiamo anche sottolineare che la posizione della Luna rispetto a Marte ha un'influenza temporanea sull'inclinazione dell'asse terrestre, in contrasto con l'attrazione gravitazionale di Marte. Se la Luna si trova nella posizione opposta a Marte, ciò può portare a uno spostamento temporaneo delle temperature rispetto alla tendenza attuale, favorita dall'attrazione gravitazionale di Marte sulla Terra.

NOTIZIE UW

AMBIENTE | COMUNICATI STAMPA | RICERCA | SCIENZA

29 gennaio 2016

Le forze di marea della Luna influenzano la quantità di pioggia sulla Terra

Hannah Hickey

Notizie UW

Quando la luna è alta nel cielo, crea dei rigonfiamenti nell'atmosfera del pianeta che determinano impercettibili cambiamenti nella quantità di pioggia che cade sotto.

Una nuova ricerca dell'Università di Washington, che verrà pubblicata sulla rivista Geophysical Research Letters, dimostra che le forze lunari influenzano la quantità di pioggia, anche se in misura molto ridotta.

Con questa nuova comprensione della rotazione di Marte attorno al Sole e della sua connessione con i modelli climatici della Terra e il comportamento umano, possiamo iniziare a immaginare come queste dinamiche si svilupperebbero nella previsione delle precipitazioni. La premessa di base delle precipitazioni è che l’aria più calda può trattenere umidità/vapore acqueo finché non arriva aria più fredda e sottopone il vapore acqueo a un processo chiamato condensazione, in cui il vapore acqueo viene convertito in goccioline liquide o ciò che conosciamo come pioggia. Se comprendiamo come Marte può creare le condizioni per la pioggia, possiamo prevedere gli eventi di precipitazione in modo molto più efficiente. In precedenza si pensava che mentre Marte viaggia dietro il Sole visto dalla Terra, la sua gravità sull’inclinazione dell’asse terrestre può esporre la Terra a più luce solare e temperature più calde. Mentre Marte passa davanti al Sole dalla prospettiva della Terra, la sua gravità sull'inclinazione dell'asse terrestre allontana la Terra dal Sole, il che dovrebbe comportare meno luce solare, meno calore e più raffreddamento. Tenendo conto di questi aspetti, possiamo applicare questa dinamica alle stagioni in cui ciò accade. Ciò consentirebbe di prevedere quando l’aria calda si mescolerà con l’aria più fredda o viceversa, creando le condizioni affinché l’umidità precipiti e diventi precipitazione.

Ecco un esempio di ciò che intendo. I mesi più caldi di un anno solare sono la primavera e l'estate, che iniziano intorno al 20 marzo e durano fino al 20 settembre. Come costante, possiamo supporre che in questo periodo dell’anno ci sia più umidità nell’aria e meno pioggia, a meno che la variabile marziana non abbia un impatto. Poiché Marte si sposta dietro il Sole durante questo periodo, esponendo la Terra a più luce solare e calore, ci si può aspettare che ci sarà meno pioggia, permettendoci di prevedere che quest’anno la primavera e l’estate saranno più secche. Se è il contrario, con Marte che si muove davanti al Sole in primavera ed estate, e l’inclinazione della Terra che tende verso l’esterno, esponendo la Terra a meno luce solare e a più raffreddamento, allora possiamo aspettarci più precipitazioni in primavera. ed estate poiché l'aria più fresca creata da questa configurazione di Marte si mescola con l'aria più calda primaverile ed estiva, creando le condizioni per le precipitazioni.

Questa dinamica vale anche per i mesi più freddi, autunnali e invernali tra il 20 settembre e il 20 marzo · Quando Marte viaggia dietro il sole in inverno, l'aria più calda si mescola con quella più fredda, creando le condizioni per le precipitazioni. Quando Marte si muove davanti al Sole durante questo periodo, viene creata aria più fresca con una minore possibilità di precipitazioni.

Possiamo anche considerare Marte entro 30 gradi dal nodo lunare come un fattore che può peggiorare le condizioni delle precipitazioni tirando e allungando l'orbita della Luna, spostando così la Luna più lontano dalla Terra, con un effetto destabilizzante sull'oscillazione della terra.

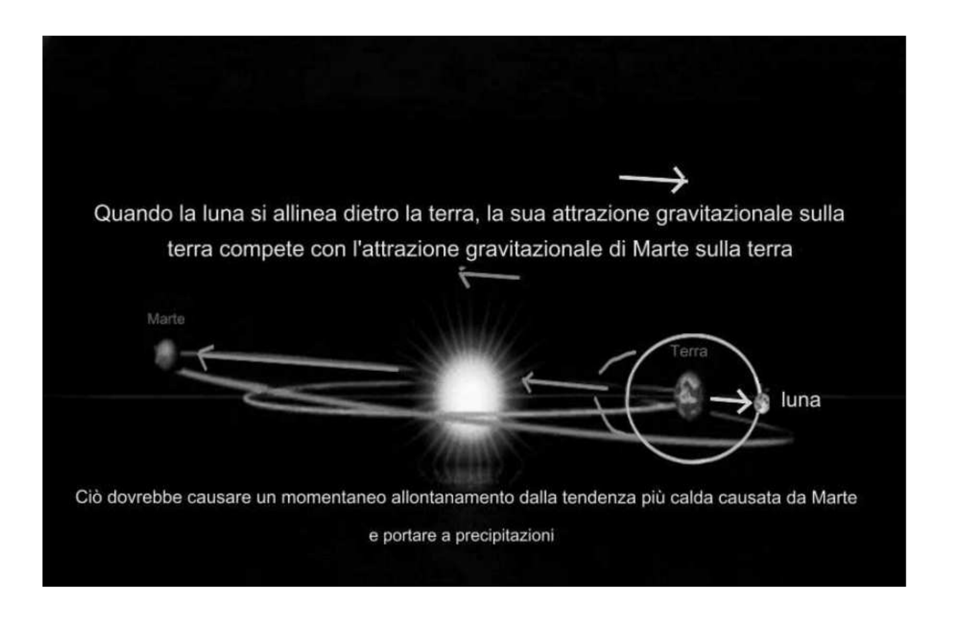
Questo quadro teorico permette di stabilire le condizioni necessarie per innescare le precipitazioni effettive. Supporre un periodo di precipitazioni più alte o più basse in base alla posizione di Marte rispetto alla Terra e alla particolare stagione non fornisce un meccanismo effettivo che potrebbe innescare le precipitazioni. Dobbiamo quindi immaginare uno scenario in cui l'aria più fresca e quella più calda si mescolano in un certo periodo di tempo. Supponiamo che Marte viaggi dietro il Sole in inverno, creando uno scenario per un inverno più caldo poiché la gravità di Marte influenza l'inclinazione dell'asse terrestre durante questo periodo. A questo proposito, possiamo supporre che in questo periodo ci saranno più piogge che nevicate. Tuttavia, dobbiamo ancora interpolare uno scenario in cui l'aria più calda si mescola con l'aria più fredda. Se questo scenario, in cui Marte viaggia dietro il Sole in inverno, prevede un inverno più caldo, allora bisognerebbe spiegare un meccanismo che porti aria più fresca in modo che possa piovere in questo periodo dell'anno. Possiamo quindi inserire lo schema della Luna.

Nel 2014, due scienziati dell'Università di Washington hanno esaminato 15 anni di dati climatici e hanno scoperto che il conteggio delle lune influenza le precipitazioni. Tsubasa Kohyama e il suo professore John Wallace hanno esaminato 15 anni di dati sulle precipitazioni tra il 1998 e il 2012 e hanno scoperto che la posizione della Luna, quando è in alto rispetto al nostro punto di osservazione sulla Terra o sotto i nostri piedi, aumenta la pressione atmosferica,

con conseguente temperature più elevate, maggiore assorbimento umidità e meno precipitazioni . Sebbene l’effetto fosse solo l’1% di tutte le fluttuazioni delle precipitazioni , i dati erano sufficientemente significativi da collegare la posizione della Luna alle precipitazioni. In teoria, le precipitazioni dovrebbero essere maggiori all'alba o al tramonto dal nostro punto di osservazione. Ma al meridiano, secondo lo studio, la Luna riduce le precipitazioni. La scienza alla base di questo studio è che la gravità della Luna spinge l’atmosfera terrestre più in alto e aumenta la pressione atmosferica. Quando ciò accade, l’aria sottostante diventa più calda e può trattenere più umidità. Questo studio ci consente di utilizzare la posizione della Luna come fattore scatenante delle precipitazioni.

Inoltre, poiché la Luna ha un effetto stabilizzante sul movimento della Terra, possiamo supporre che la posizione della Luna rispetto a Marte abbia un'influenza temporanea e contrastante sull'attrazione gravitazionale di Marte sull'inclinazione dell'asse terrestre. Se la Luna si trova in una posizione opposta a Marte, ciò potrebbe spostare temporaneamente le temperature lontano dalla tendenza attuale, favorita dall’attrazione gravitazionale di Marte sulla Terra. Se siamo in una stagione più calda del solito perché Marte viaggia dietro il Sole e l'inclinazione della Terra tira verso il Sole, possiamo supporre che quando la Luna è in posizione opposta a Marte ma si trova dietro la Terra, la gravità della Luna, che allontana l'inclinazione della Terra dal Sole, causerà uno spostamento temporaneo della temperatura che creerebbe le condizioni affinché l'aria più fredda si mescoli con l'aria più calda e divida il vapore acqueo, facendo precipitare l'acqua e trasformandola in pioggia.

Ecco un'idea generale di come pensare a questo scenario come causa della pioggia.



Nell'immagine vediamo le condizioni che potrebbero causare l'assorbimento di umidità e vapore acqueo durante la tendenza più calda, che poi diventa precipitazione quando la Luna rompe la tendenza più calda cercando di contrastare l'attrazione gravitazionale di Marte e l'inclinazione del pianeta per allontanare la Terra. dal sole. Questo sarebbe temporaneo e durerebbe 1-5 giorni poiché la Luna orbita attorno alla Terra molto più velocemente di quanto Marte orbita attorno al Sole.

Tieni presente che esistono molte varianti di questa dinamica che possono innescare la pioggia. Ad esempio, se Marte si sposta davanti al Sole in estate, causando temperature inferiori alla media perché la gravità di Marte allontana l'asse della Terra dal Sole, ciò potrebbe incontrare resistenza mentre la Luna si muove davanti alla Terra, che a sua volta crea le condizioni per le precipitazioni, poiché la gravità della luna sulla terra che attira la terra verso il sole potrebbe interrompere una tendenza più fresca. L'aria calda si mescolerebbe con quella più fredda, provocando la disgregazione del vapore acqueo. Ecco un esempio che illustra uno scenario del genere.

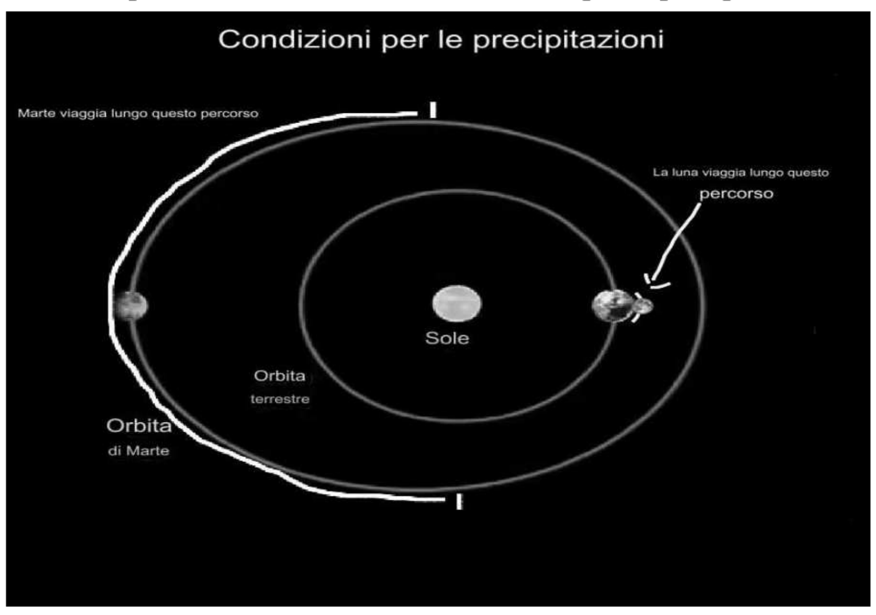
Mentre Marte allontana l'inclinazione assiale della Terra dal Sole, la gravità della Luna riporta l'inclinazione della Terra verso il Sole

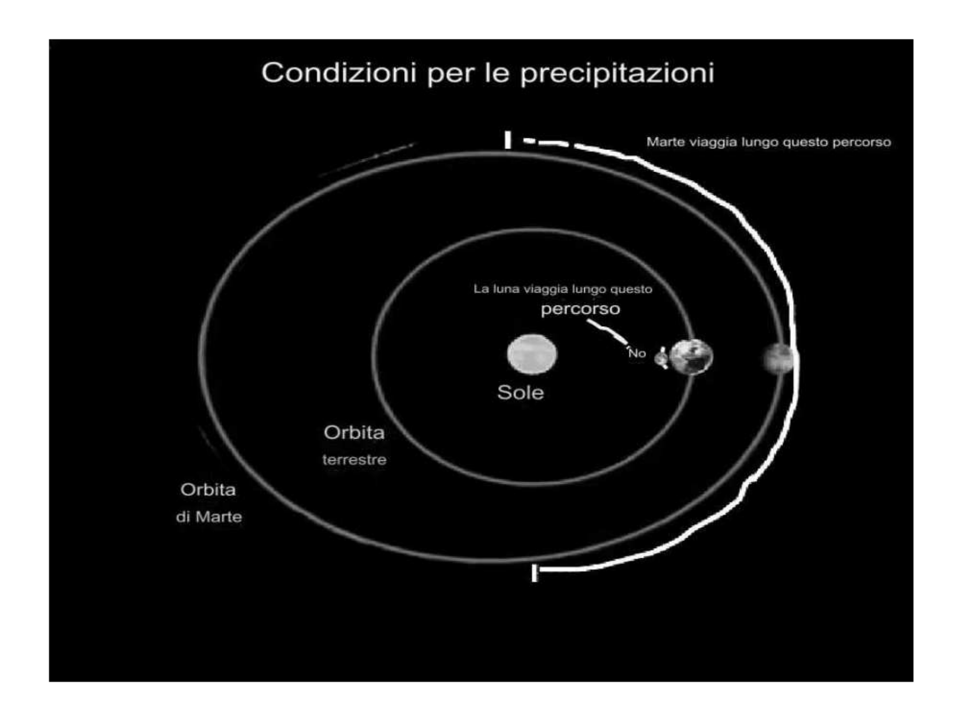
luna

Marte

Ciò dovrebbe portare ad un momentaneo allontanamento dalla tendenza più fredda causata da Marte e portare a precipitazioni.

Ecco una panoramica di base delle condizioni per le precipitazioni





Questi primi due esempi interpolano il modo in cui questo orientamento può favorire la pioggia e isolare i parametri che possono innescare la pioggia. Ora possiamo restringere ulteriormente il campo e introdurre l'idea che quanto più stretto è l'allineamento in opposizione tra la Luna e Marte, tanto più probabile è una forte pioggia. Quindi restringiamo ora il percorso richiesto della Luna e di Marte.

Condizioni per le precipitazioni

Marte viaggia lungo questo percorso

La luna viaggia lungo questo percorso

Sole

Orbita terrestre

Orbita di Marte

Condizioni per le precipitazioni

Marte viaggia lungo questo percorso

La luna viaggia lungo questo percorso

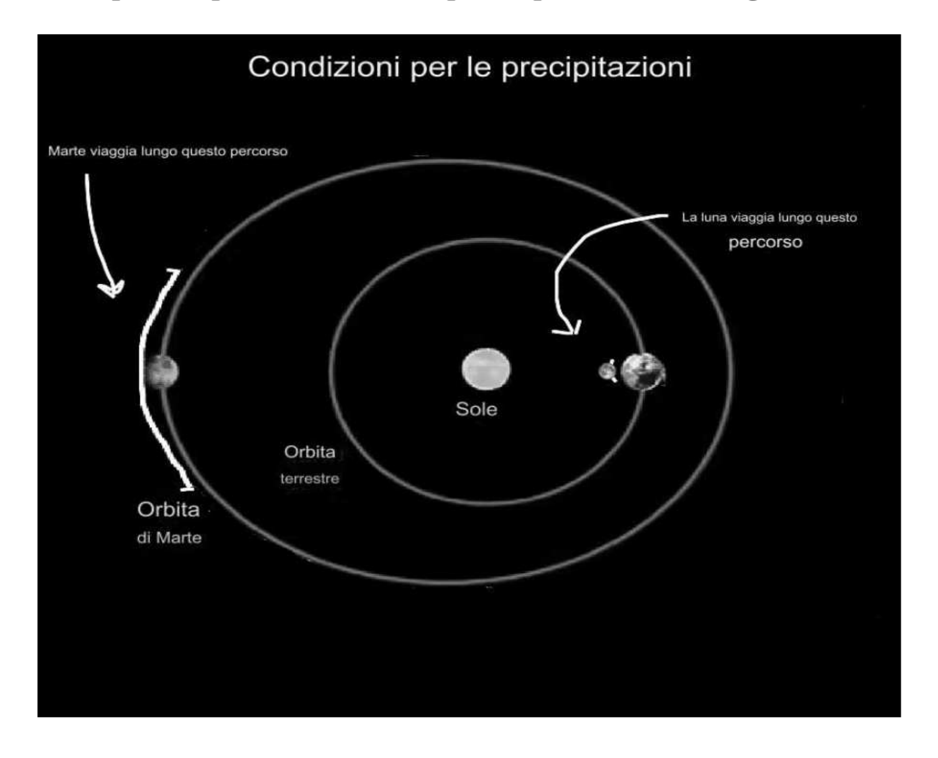
No

Sole

Orbita terrestre

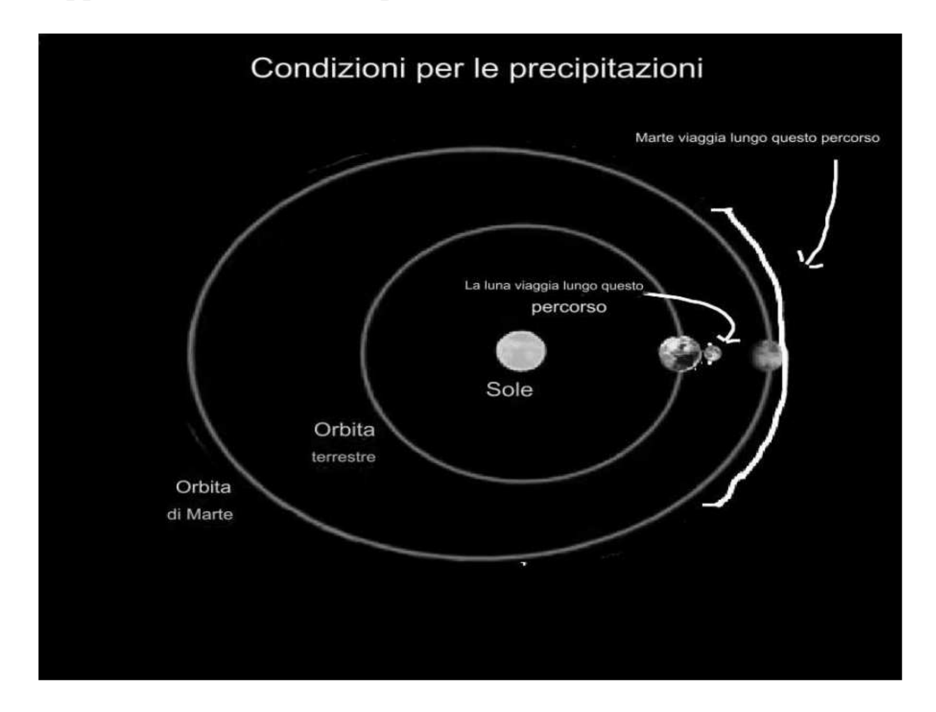
Orbita di Marte

Dopo aver ristretto il campo, possiamo passare alle altre due varianti, che possono essere utilizzate anche nella scienza delle precipitazioni e implicano una stretta congiunzione tra la Luna e Marte. Se la Luna passasse davanti alla Terra mentre Marte passasse dietro il Sole, entrambi i corpi insieme attirerebbero l'asse terrestre verso il Sole, esponendo la Terra a più luce solare e calore. Qui possiamo supporre che le temperature più elevate risultanti potrebbero portare a precipitazioni poiché il fronte caldo si mescola con l'aria meno calda, il che potrebbe portare alla decomposizione del vapore acqueo. Ecco un esempio di questa stretta congiunzione.



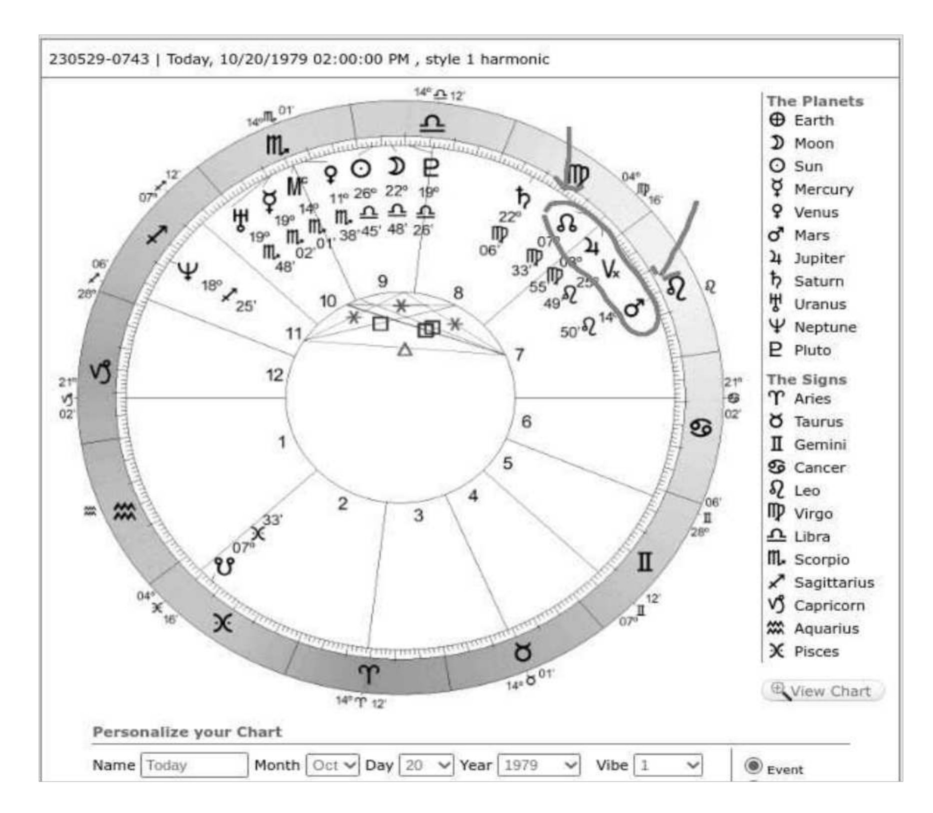
Ora passiamo ad una rappresentazione visiva dell'altra congiunzione ravvicinata tra la Luna e Marte, dove la Luna viaggia dietro la Terra e Marte viaggia davanti al Sole, rispetto alla posizione della Terra. Entrambi i corpi eserciterebbero una forza gravitazionale sull'inclinazione della Terra, allontanando la Terra dal Sole ed esponendola a temperature più fredde. Se le temperature risultanti

dal fronte freddo si mescolano con l'aria meno fredda, il vapore acqueo e le precipitazioni possono disgregarsi. Ecco una rappresentazione visiva di questo scenario



Finora abbiamo progettato un quadro teorico che potrebbe permetterci di prevedere le fluttuazioni di temperatura che si traducono in precipitazioni poiché sia la gravità di Marte che quella della Luna agiscono sulla Terra, inclinando l'asse terrestre verso o lontano dal Sole. Tuttavia, poiché questo articolo si è occupato di eventi meteorologici estremi come quelli discussi nelle prime due sezioni sul lancio di razzi da Gaza e sui crolli del mercato azionario, dovremmo attenerci a questo argomento ed esaminare gli eventi di precipitazioni estreme. Similmente all'escalation degli attacchi missilistici da Gaza e ai crolli del mercato azionario, dovremmo trovare un tema simile, vale a dire che Marte entro 30 gradi dal nodo lunare è un fattore scatenante che potrebbe innescare eventi di precipitazioni estreme. Marte entro 30 gradi dal nodo lunare è stato spiegato come un meccanismo mediante il quale il pianeta Marte esercita la gravità sull'orbita della Luna, allungandola in modo da

spostare gradualmente l'orbita della Luna sempre più lontano dalla Terra, un fattore che ha un effetto destabilizzante sull'oscillazione. movimento della Terra, che esporrebbe la Terra a maggiori fluttuazioni di temperatura. Se applichiamo queste dinamiche agli eventi meteorologici, possiamo supporre che lo scenario potrebbe causare grandi sbalzi di temperatura in grado di condensare il vapore acqueo assorbito dall’aria e innescare la pioggia. La luna viene presa in considerazione perché è la componente che innesca le fluttuazioni di temperatura a breve termine. Ricorda che stiamo cercando di spiegare gli eventi meteorologici estremi. Ecco una rappresentazione visiva di come funziona la configurazione. Questo primo esempio è un evento di precipitazione estrema in Medio Oriente verificatosi nel 1979 dal 20 all'11 ottobre 1979 · fino al 23 ottobre . 50 persone morirono e 66.000 furono colpite. Guarda la mappa e nota che Marte si trovava entro 30 gradi dal nodo lunare e sono stati applicati i fattori di gravità sopra indicati. Anche Marte è dietro il sole rispetto alla Terra, quindi probabilmente è stato un inverno più caldo.



Quindi il disturbo è stato causato dalla luna. Ma fai attenzione. Ho scoperto uno schema che suggerisce che eventi di precipitazione estremi possono essere innescati da angoli retti tra Marte e la Luna quando una delle masse si trova entro 30 gradi dal nodo lunare. Quindi, se Marte si trova entro 30 gradi dal nodo lunare, il disturbo della temperatura e le precipitazioni corrispondenti verranno attivati quando la Luna formerà un angolo quasi retto rispetto alla posizione di Marte. Allo stesso modo, la perturbazione della temperatura può essere innescata quando la Luna si trova entro 30 gradi dal nodo lunare, quando la Luna si sta già formando ad angolo quasi retto rispetto a Marte. Il primo caso sta accadendo qui: Marte si trova entro 30 gradi dal nodo lunare, mentre una Luna ad angolo quasi retto rispetto a Marte crea la perturbazione della temperatura necessaria per precipitazioni estreme. Ecco la rappresentazione visiva

230529-0743 | Today, 10/20/1979 02:00:00 PM , style 1 harmonic

The Planets
Earth
Moon
Sun
Mercury
Venus
Mars
Jupiter
Saturn
Uranus
Neptune
Pluto

The Signs
Aries
Taurus
Gemini
Cancer
Leo
Virgo
Libra
Scorpio
Sagittarius
Capricorn
Aquarius
Pisces

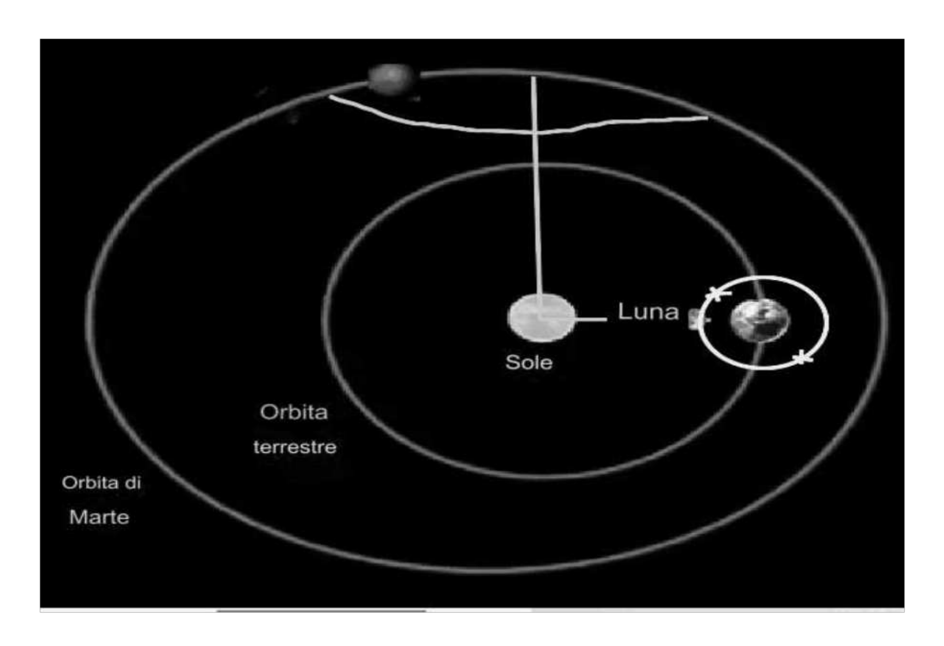
View Chart

Personalize your Chart

Name Today Month Oct Day 20 Year 1979 Vibe 1 Event

Ecco come appariva questa costellazione nel cielo





Il 13 maggio 1982 una violenta tempesta provocò inondazioni nel Medio Oriente. Ecco il diagramma. Nota che abbiamo dinamiche simili al primo grafico, ma questa volta la Luna si trova entro 30 gradi dal nodo lunare, formando un angolo quasi retto con Marte.

230529-0743 | Today, 05/13/1982 02:00:00 PM , style 1 harmonic

The Planets
⊕ Earth
☽ Moon
☉ Sun
☿ Mercury
♀ Venus
♂ Mars
♃ Jupiter
♄ Saturn
♅ Uranus
♆ Neptune
♇ Pluto

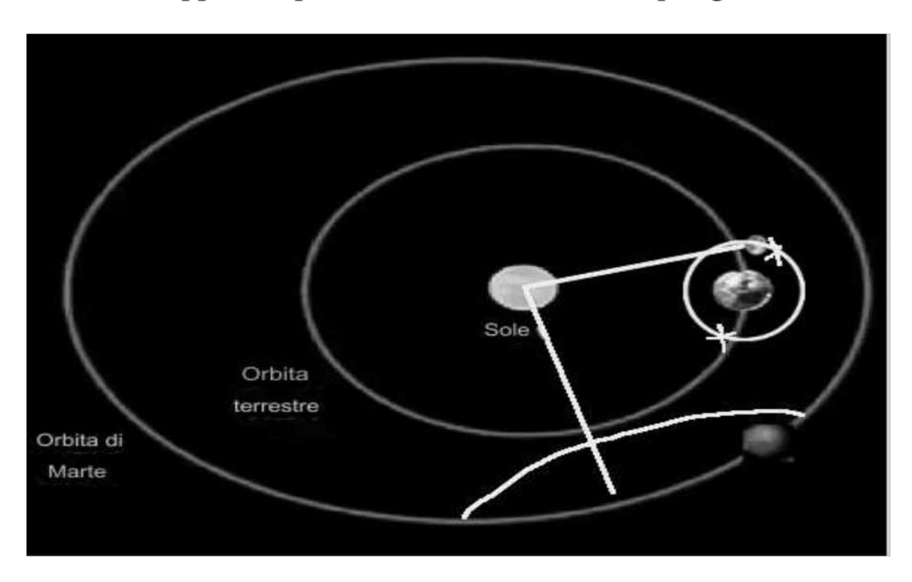
The Signs
♈ Aries
♉ Taurus
♊ Gemini
♋ Cancer
♌ Leo
♍ Virgo
♎ Libra
♏ Scorpio
♐ Sagittarius
♑ Capricorn
♒ Aquarius
♓ Pisces

View Chart

Personalize your Chart

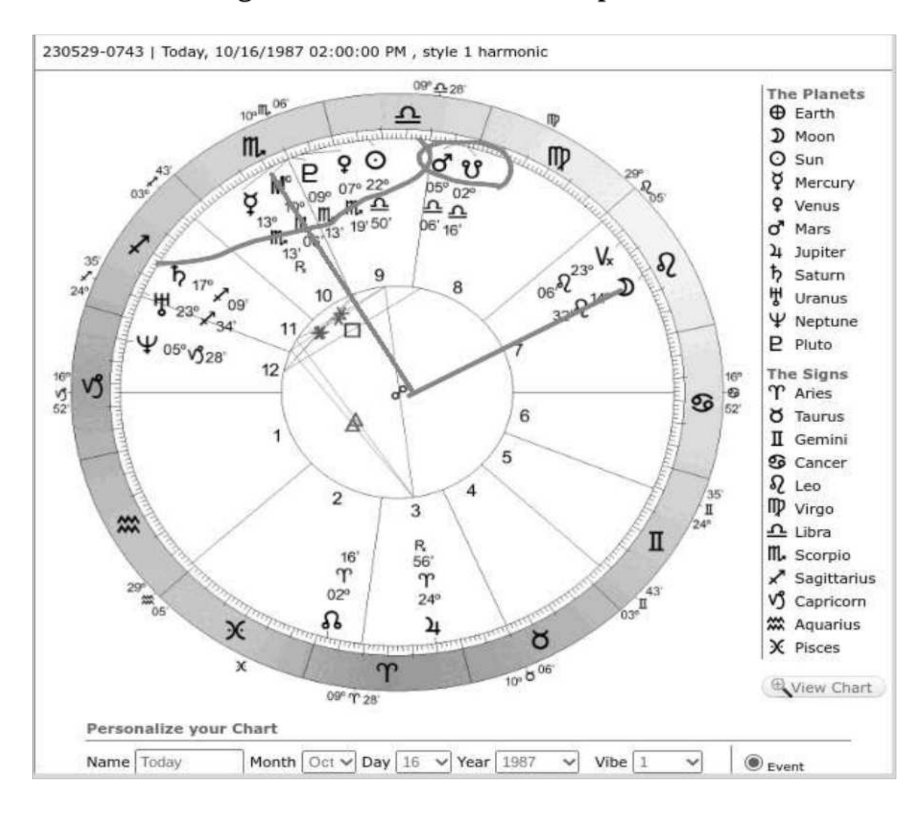
Name Today Month May Day 13 Year 1982 Vibe 1 Event

Ecco come appariva questa costellazione nel cielo quel giorno

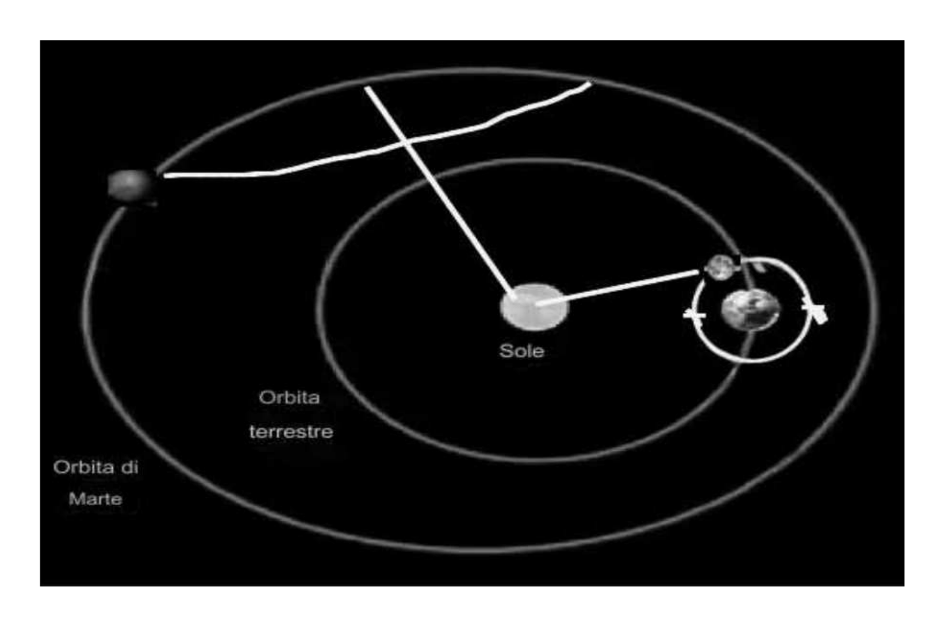


Da notare che Marte era entro i confini del punto che segnava l'angolo retto tra la configurazione di Marte e quella della Luna.

Ecco il grafico della tempesta del 16 ottobre 1987 che causò inondazioni in Egitto e Giordania e uccise 39 persone.



Marte si trova entro 30 gradi dal nodo lunare e forma quasi un angolo retto con la Luna, anche se leggermente diverso al momento del calcolo della mappa. La luna sarebbe stata nell'area assegnata ore prima. Ecco come appariva la costellazione nel cielo quel giorno



Un'altra data con forti piogge in Egitto che causarono inondazioni è stata il 16 ottobre 1988. Ecco la carta astrologica che mostra la posizione di Marte, Luna e Nodi Lunari. Ancora una volta, Marte si trovava entro 30 gradi dal nodo lunare e formava un angolo retto con la Luna.

230529-0743 | Today, 10/16/1988 02:00:00 PM , style 1 harmonic

The Planets
Earth
Moon
Sun
Mercury
Venus
Mars
Jupiter
Saturn
Uranus
Neptune
Pluto

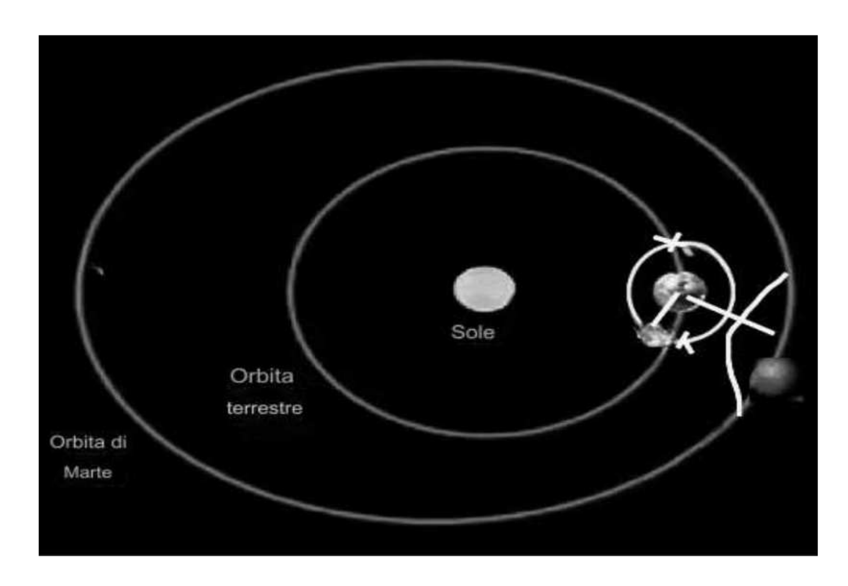
The Signs
Aries
Taurus
Gemini
Cancer
Leo
Virgo
Libra
Scorpio
Sagittarius
Capricorn
Aquarius
Pisces

View Chart

Personalize your Chart

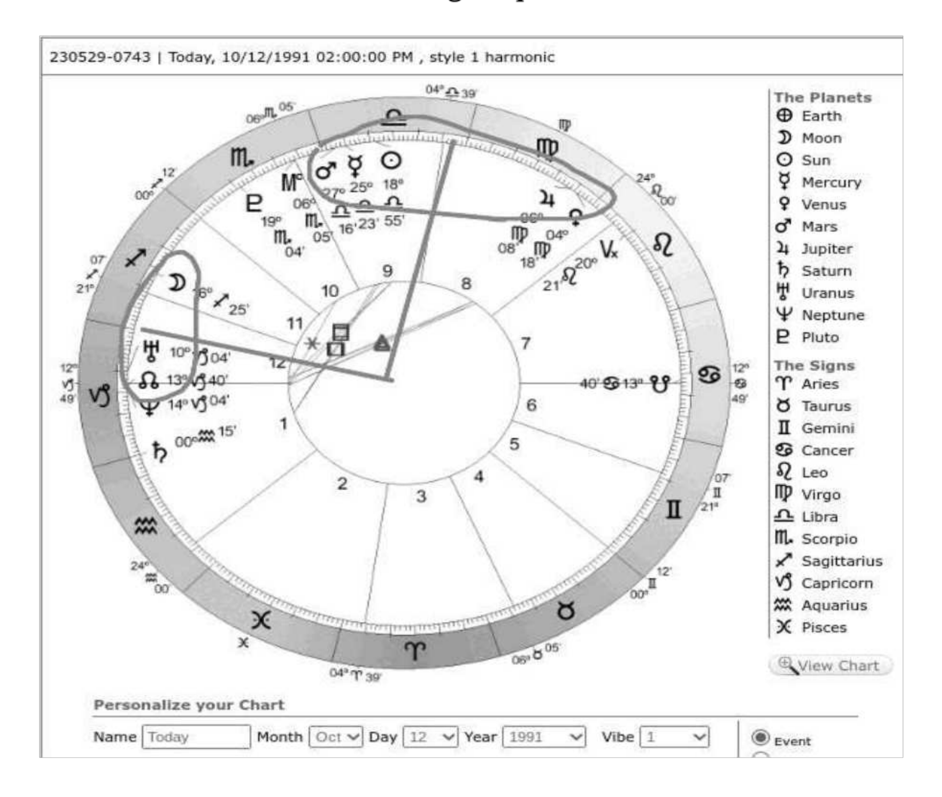
Name Today Month Oct Day 16 Year 1988 Vibe 1 Event

Ecco come appariva la costellazione nel cielo quel giorno

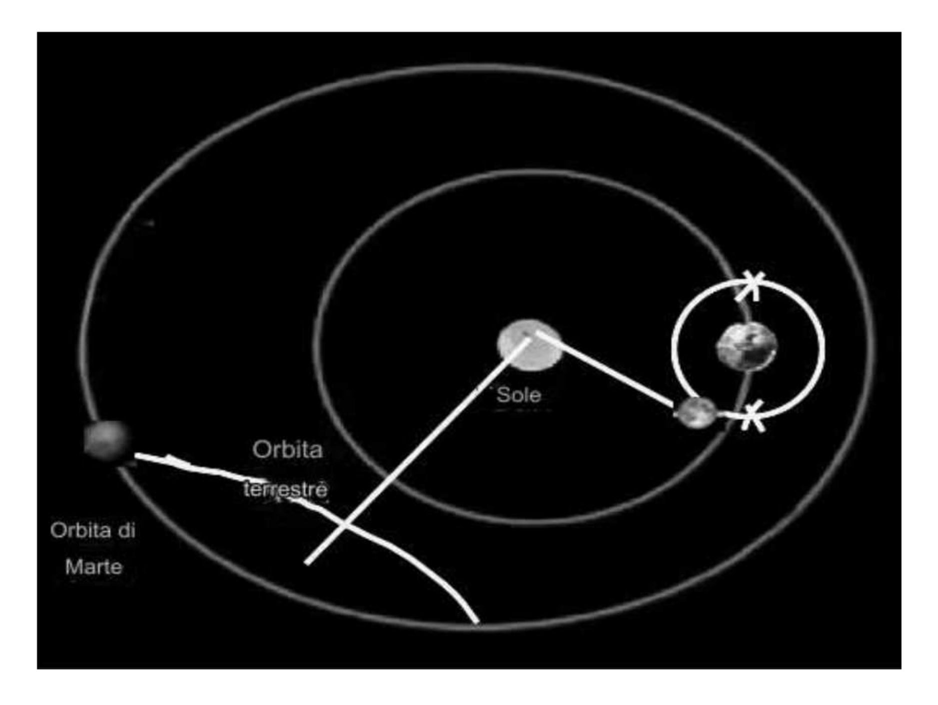


Nel cielo la configurazione forma un angolo retto

Un altro importante evento di precipitazione nel Levante si è verificato il 12 ottobre 1991. Qui la Luna si trovava entro 30 gradi dal nodo lunare e formava un angolo quasi retto con Marte



Ecco come appariva la configurazione nel cielo



Il successivo grande evento piovoso nel Levante si verificò il 20 dicembre 1993. Durante questo periodo in Israele si verificarono

In astrologia, Marte si trovava entro 30 gradi dal nodo lunare e formava un angolo retto con la Luna, che sembra essere una costellazione tipica per eventi meteorologici estremi.

230529-0743 | Today, 12/20/1993 02:00:00 PM , style 1 harmonic

The Planets
- ⊕ Earth
- ☽ Moon
- ☉ Sun
- ☿ Mercury
- ♀ Venus
- ♂ Mars
- ♃ Jupiter
- ♄ Saturn
- ♅ Uranus
- ♆ Neptune
- ♇ Pluto

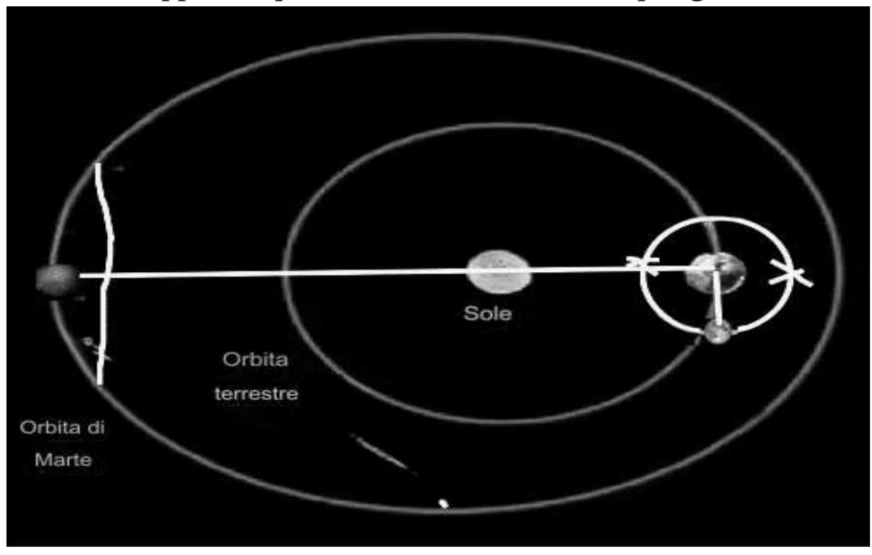
The Signs
- ♈ Aries
- ♉ Taurus
- ♊ Gemini
- ♋ Cancer
- ♌ Leo
- ♍ Virgo
- ♎ Libra
- ♏ Scorpio
- ♐ Sagittarius
- ♑ Capricorn
- ♒ Aquarius
- ♓ Pisces

View Chart

Personalize your Chart

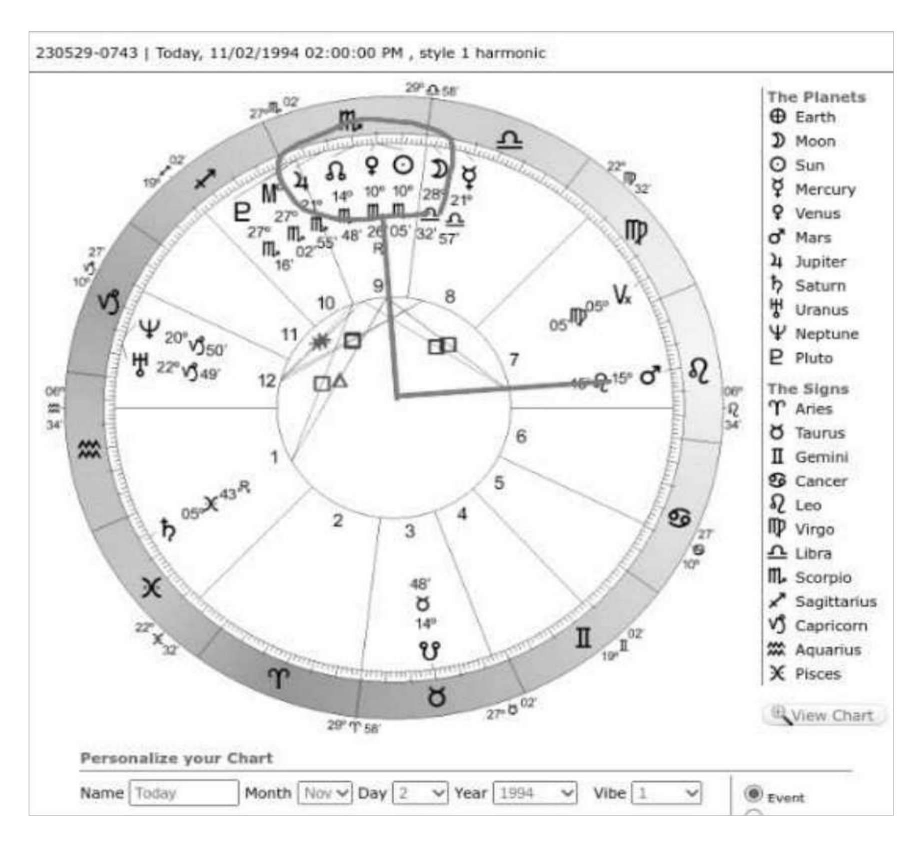
Name Today | Month Dec | Day 20 | Year 1993 | Vibe 1 | Event

Ecco come appariva questa costellazione nel cielo quel giorno

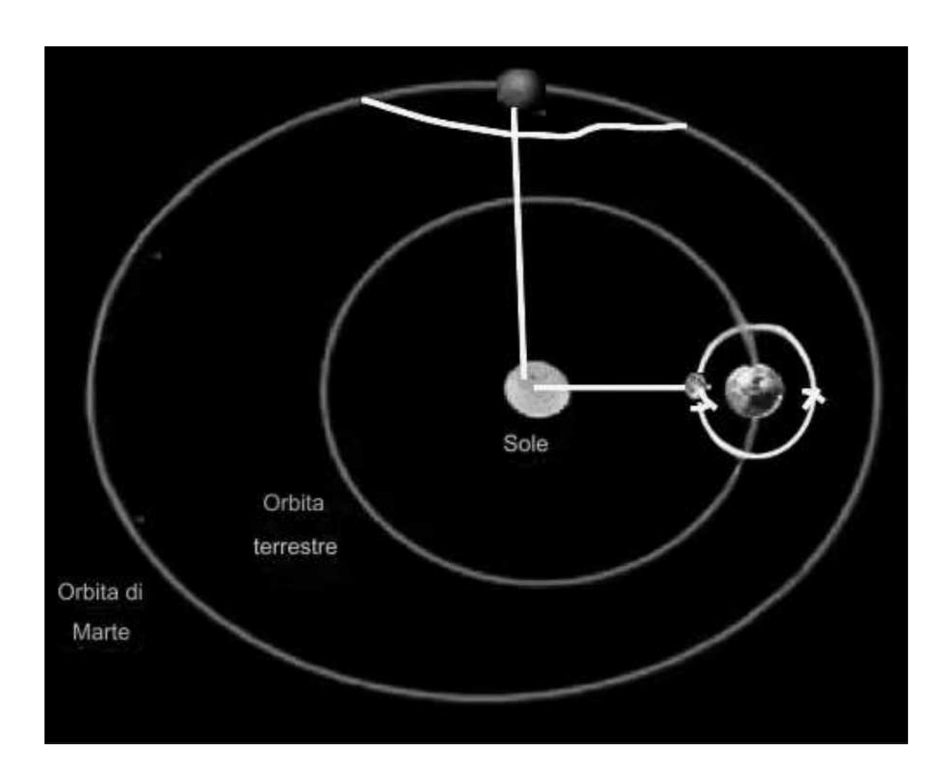


Il 2 novembre 1994 l'Egitto fu colpito da inondazioni estreme che causarono 600 vittime, colpirono 160.000 persone e causarono 140 milioni di danni.

Durante questo periodo, la Luna si trovava entro 30 gradi dal nodo lunare e formava un angolo retto con Marte. Quindi anche qui vediamo questo schema comune negli eventi estremi, con Marte o la Luna che si trovano entro 30 gradi dal nodo lunare e formano un angolo retto tra loro.



Ecco come appariva questa costellazione nel cielo quel giorno



Dal 13 al 18 novembre 1996, le piogge torrenziali in Egitto causarono la morte di 12 persone e inondarono 260 persone. Marte aveva appena iniziato [a] muoversi entro 30 gradi dal nodo lunare e formava un angolo retto con la Luna. Ecco la carta astrologica

230529-0743 | Today, 11/13/1996 02:00:00 PM , style 1 harmonic

The Planets
Earth
Moon
Sun
Mercury
Venus
Mars
Jupiter
Saturn
Uranus
Neptune
Pluto

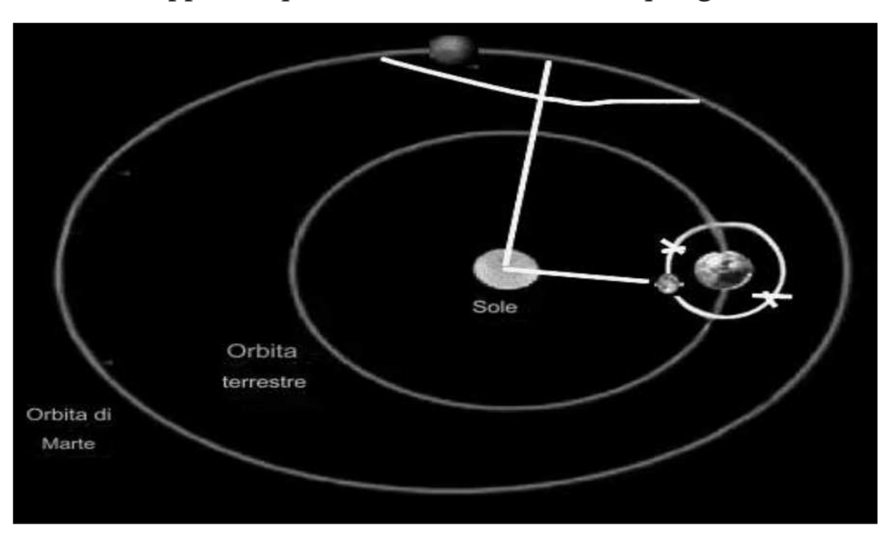
The Signs
Aries
Taurus
Gemini
Cancer
Leo
Virgo
Libra
Scorpio
Sagittarius
Capricorn
Aquarius
Pisces

View Chart

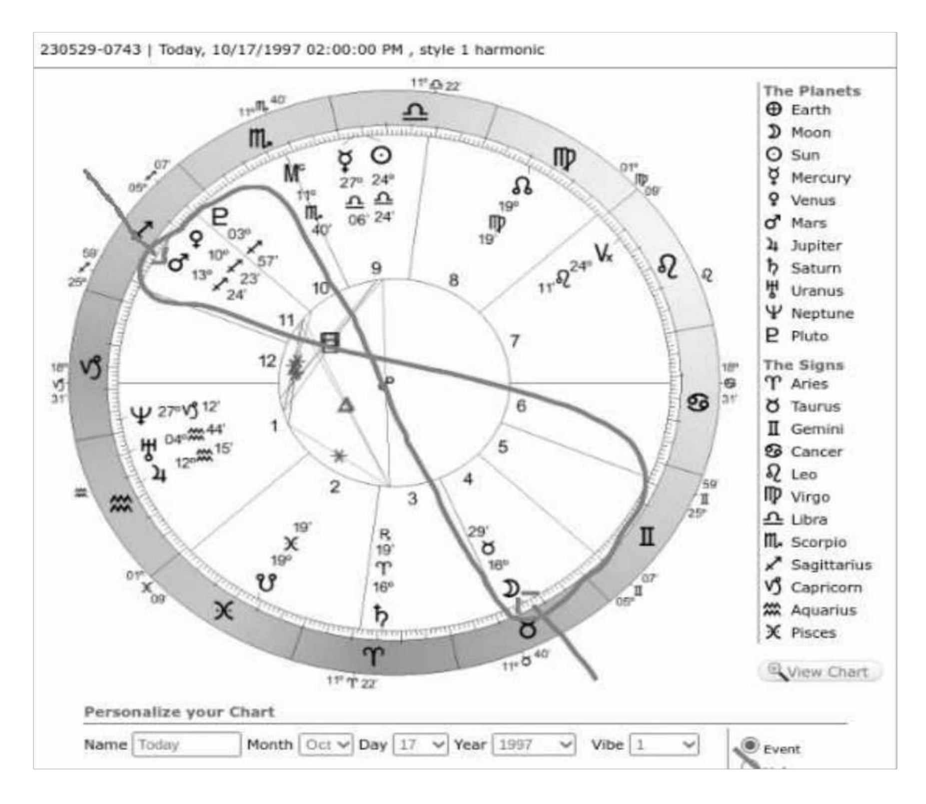
Personalize your Chart

Name Today Month Nov Day 13 Year 1996 Vibe 1 Event

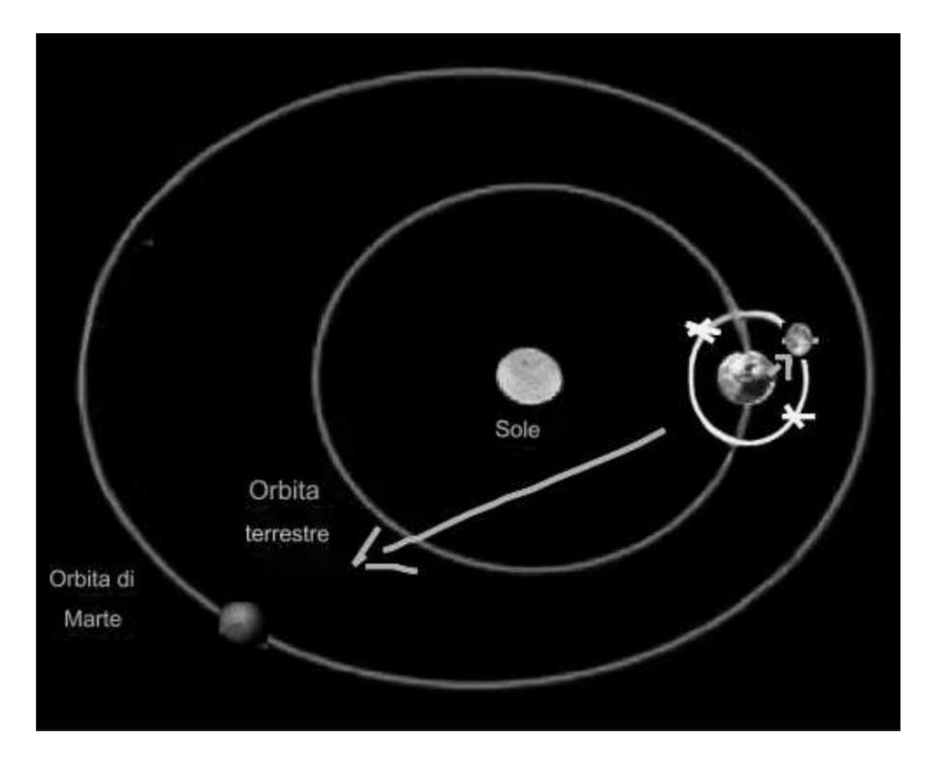
Ecco come appariva questa costellazione nel cielo quel giorno.



Il 17 ottobre 1997 forti piogge colpirono Egitto, Israele e Giordania. In Israele, Egitto e Giordania si sono verificati 15 morti e i danni ammontano a oltre 40 milioni di dollari. Ecco la carta astrologica. Ecco un esempio in cui né Marte né la Luna si trovavano entro 30 gradi dal nodo lunare. Questo è un esempio in cui la Luna e Marte erano in opposizione tra loro e ciascun corpo esercitava una pressione sull'inclinazione dell'asse terrestre, causando probabilmente una perturbazione della temperatura. Questo è un esempio di dinamica che potrebbe essere utilizzata per prevedere le precipitazioni di routine.



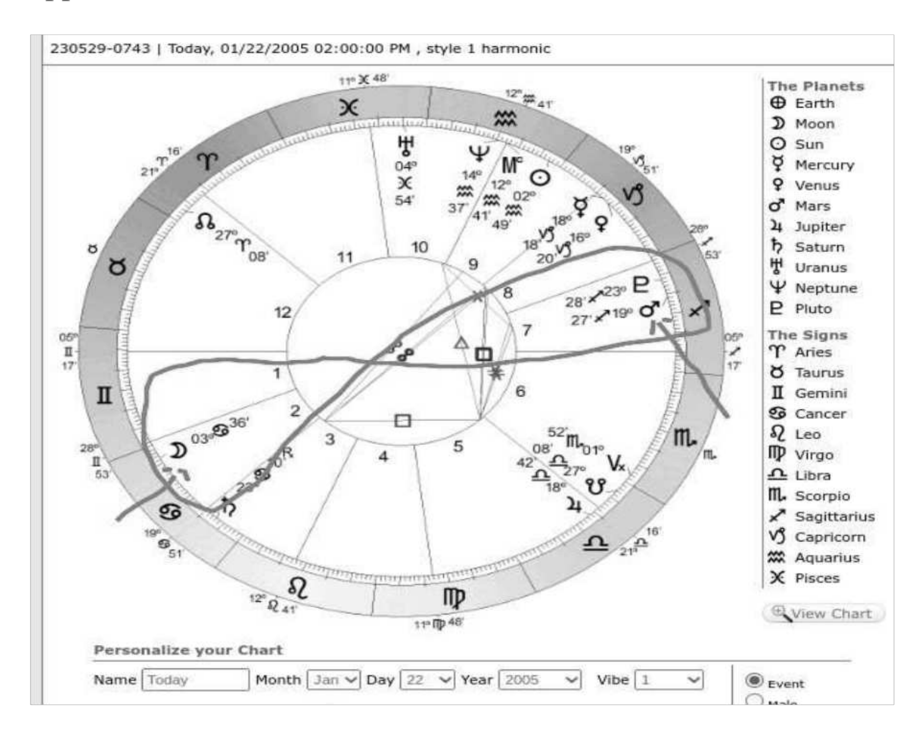
Ecco come appariva questa costellazione nel cielo



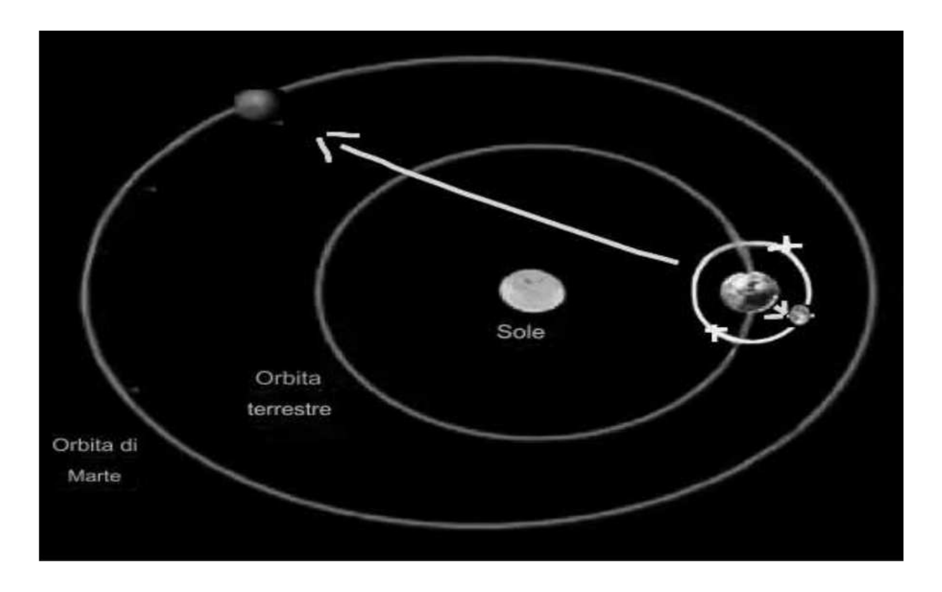
La migliore spiegazione del motivo per cui Marte è un catalizzatore di eventi di precipitazione estremi entro 30 gradi dal nodo lunare e quindi ad angolo retto rispetto alla Luna potrebbe essere che questa costellazione indica che la Luna si trova nel punto più lontano della sua orbita lontano dal piano. dell'eclittica. Questo non deve essere confuso con l'apogeo e il perigeo, quando la Luna è rispettivamente più lontana e più vicina alla Terra nella sua orbita. L'orbita della Luna attorno alla Terra è inclinata di cinque gradi rispetto all'eclittica e incontra l'eclittica solo nei nodi lunari. Ma durante il perigeo (Luna più vicina alla Terra) e l'apogeo (Luna più lontana dalla Terra), la Luna è molto vicina ai nodi lunari. Quindi, a questo proposito, dobbiamo osservare la Luna rispetto al piano dell'eclittica e sapere perché la sua vicinanza ad essa è un fattore che contribuisce agli sbalzi di temperatura e alle precipitazioni. Possiamo aspettarci che si verifichino fluttuazioni di temperatura quando la Luna è più lontana dal piano dell’eclittica mentre Marte si avvicina ai nodi lunari. Questo è il risultato della diminuzione dell'attrazione

gravitazionale della Luna sulla Terra durante questo periodo. Ciò consente a Marte di esercitare la sua attrazione gravitazionale con minore resistenza da parte della Luna. Ciò potrebbe portare umidità che formerà immediatamente precipitazioni non appena si fonderà con l'aria più fresca, supponendo che ciò accada in inverno.

Il grafico successivo è relativo al 22 gennaio 2005. Tra il 22 e il 27 gennaio, piogge torrenziali in Medio Oriente hanno causato la morte di 29 persone. Ecco il diagramma. Marte e la Luna sono in opposizione



Ecco come appariva questa costellazione nel cielo



Il grafico successivo riguarda il 25 novembre 2009, un giorno che ha provocato una massiccia inondazione in Arabia Saudita che ha causato 122 vittime. Furono colpite 10.000 persone e il danno fu stimato in 900 milioni di dollari. Marte si trova entro 30 gradi dal nodo lunare, ma la Luna non forma l'angolo previsto per un simile evento. La Luna si oppone a Marte e ha un effetto opposto sull'attrazione gravitazionale di Marte.

230529-0743 | Today, 11/25/2009 02:00:00 PM , style 1 harmonic

The Planets
Earth
Moon
Sun
Mercury
Venus
Mars
Jupiter
Saturn
Uranus
Neptune
Pluto

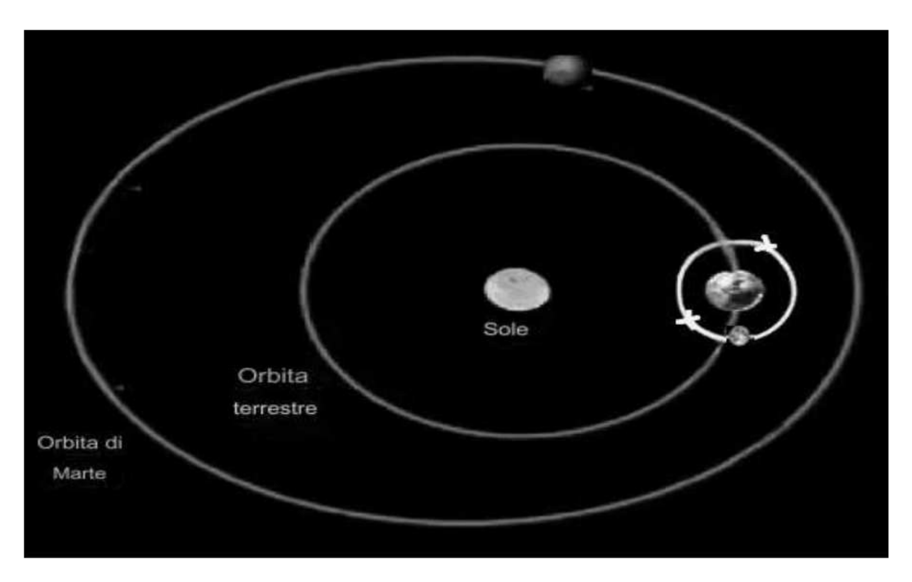
The Signs
Aries
Taurus
Gemini
Cancer
Leo
Virgo
Libra
Scorpio
Sagittarius
Capricorn
Aquarius
Pisces

View Chart

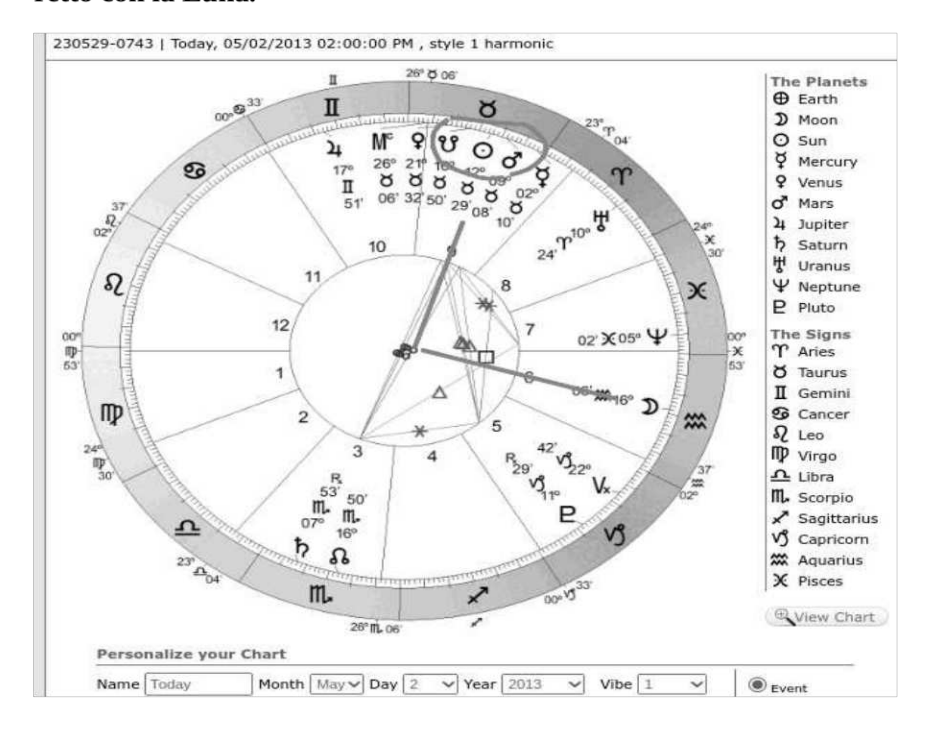
Personalize your Chart

Name Today Month Nov Day 25 Year 2009 Vibe 1 Event

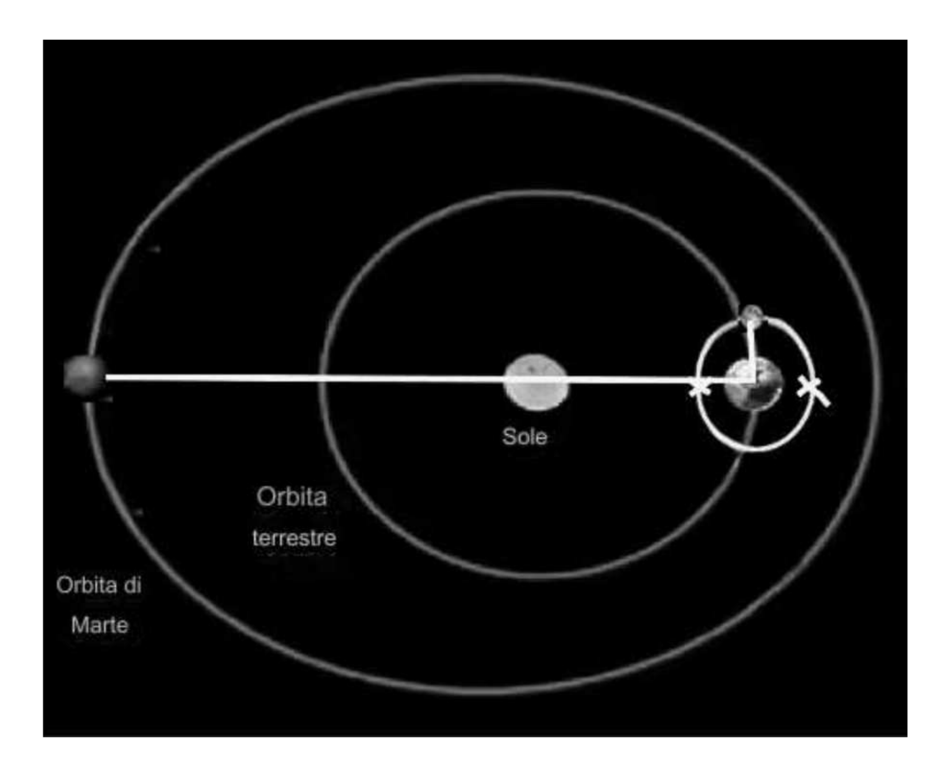
Ecco come appariva questa costellazione nel cielo quel giorno



Questa è la mappa del 2 maggio 2013, quando piogge e inondazioni in Medio Oriente provocarono la morte di 20 persone. Questa mappa mostra Marte entro 30 gradi dal nodo lunare, che forma un angolo retto con la Luna.



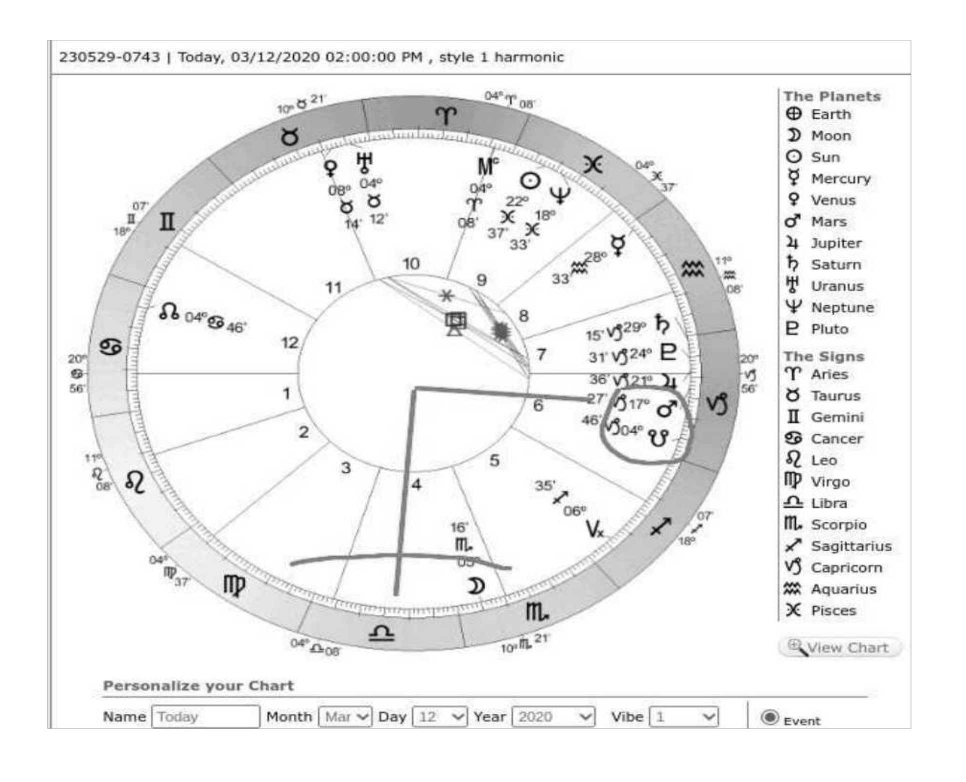
Ecco come appariva questa costellazione nel cielo



In 7 delle 12 mappe delle forti piogge del Medio Oriente elencate, Marte si trovava entro 30 gradi dal nodo lunare. Sulla base di questo allineamento, gli agricoltori del Medio Oriente potrebbero sviluppare protocolli cruciali su come distribuire in modo efficiente le risorse idriche e avviare le attività di fertilizzazione e coltivazione.

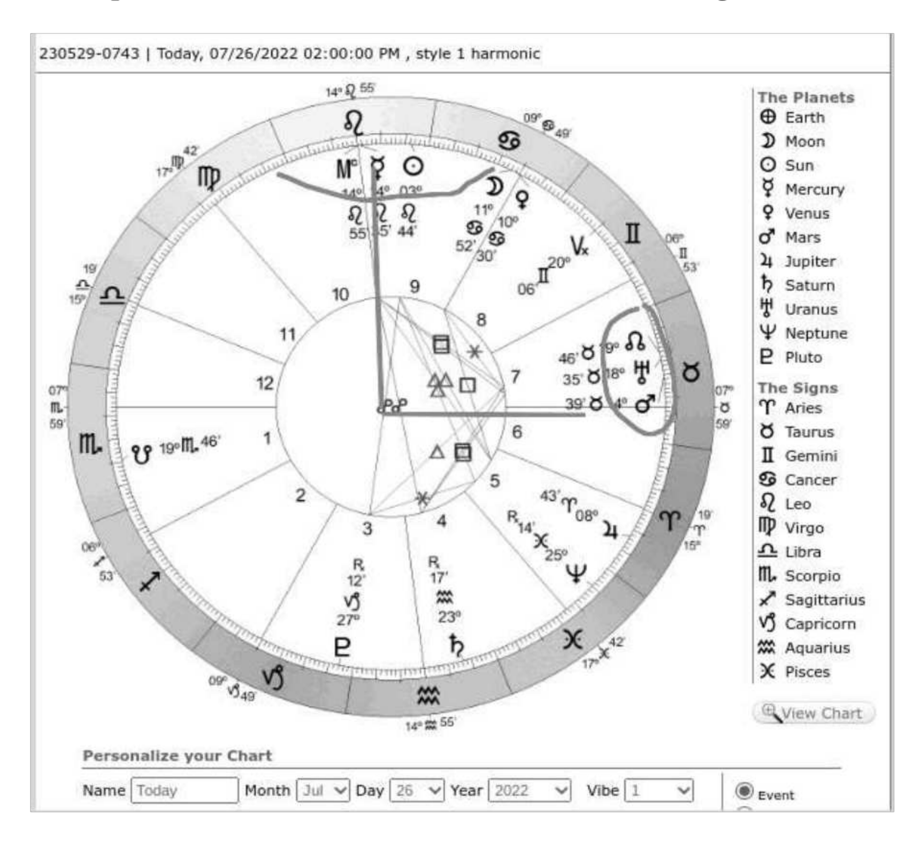
Ecco alcuni esempi di quattro grandi tempeste e inondazioni avvenute in Medio Oriente negli ultimi cinque anni.

Ecco la mappa del 12 marzo 2020, quando si sono verificate forti piogge e inondazioni in Medio Oriente. Nove paesi sono stati colpiti: Egitto, Giordania, Israele, Siria, Libano, Turchia, Arabia Saudita, Sudan, Iran e Iraq. A questo punto, Marte si trovava entro 30 gradi, formando un angolo retto con la Luna. Questa è stata la peggiore tempesta in Egitto dal 1979, quando anche Marte si trovava entro 30 gradi dal nodo lunare.

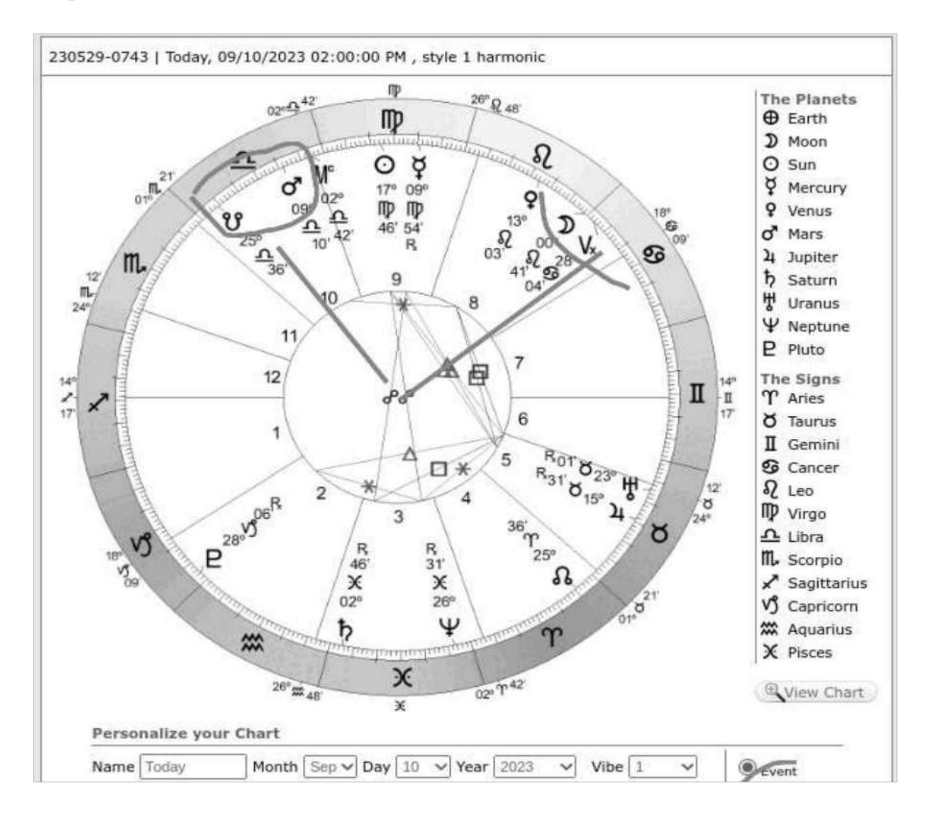


Ecco il grafico del 26 luglio 2022, quando gli Emirati Arabi Uniti hanno registrato precipitazioni record.

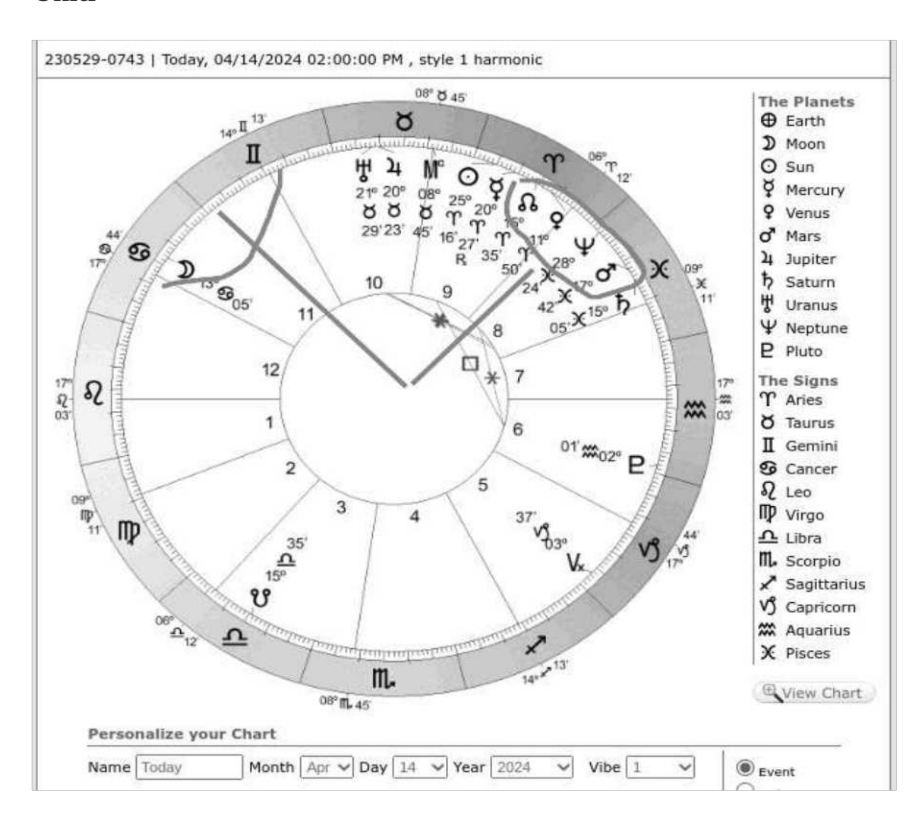
Anche in questo giorno, Marte si trovava entro 30 gradi dal nodo lunare e inizialmente formava un angolo quasi retto con la Luna. Entro poche ore la Luna si troverebbe nella zona ad angolo retto



Ecco la mappa delle inondazioni libiche del 2023 causate dalla tempesta Daniel, che ha colpito la Libia il 10 settembre 2023. Quel giorno Marte si trovava a 30 gradi dal nodo lunare e formava un angolo retto con la Luna



Ecco il grafico delle inondazioni negli Emirati Arabi Uniti nell'aprile 2024. Il 14 aprile 2024, forti piogge hanno colpito gli Emirati Arabi Uniti ， causando gravi inondazioni. Sono stati colpiti gli Emirati Arabi Uniti, l’Oman, l’Iran, il Bahrein, il Qatar, l’Arabia Saudita e lo Yemen. Si è trattato di un evento record per gli Emirati Arabi Uniti. Ancora una volta, Marte si trovava entro 30 gradi dal nodo lunare e formava un angolo retto con la Luna quando la tempesta si è abbattuta lì. Si è trattato di un evento record per gli Emirati Arabi Uniti

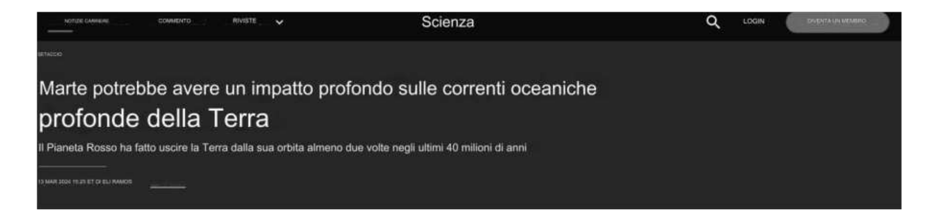


L’unica estrapolazione che possiamo fare da questi dati è che Marte entro 30 gradi dal nodo lunare potrebbe essere responsabile di precipitazioni superiori alla media in una determinata stagione. Qui possiamo sviluppare un sistema in grado di prevedere forti piogge, aiutando tutti in Medio Oriente con protocolli di emergenza e programmi agricoli relativi alla crescita e allo sviluppo delle colture.

Nell’agricoltura irrigua, la quantità di pioggia determina la quantità di acqua irrigua e il suo tempo di consumo. I sistemi basati sulle precipitazioni considerano i tempi delle precipitazioni per determinare la crescita delle piante. Ciò si ripercuote anche sui tempi di applicazione di fertilizzanti, erbicidi e pesticidi. Le precipitazioni sono cruciali anche per programmare le operazioni di raccolta per le attività post-raccolta. Prevedere gli eventi meteorologici aiuta a pianificare le attività agricole, se piantare o meno, decidere se irrigare o meno, se utilizzare fertilizzanti, trasporto e stoccaggio del grano e misure per proteggere il bestiame. In generale, un sistema di previsioni meteorologiche efficace contribuisce al processo decisionale delle pratiche agricole

Considera che la premessa del fattore Marte è stata confermata nel 2024, quando gli scienziati hanno iniziato a ipotizzare che Marte influenzi il clima e le maree della Terra.

Ecco un articolo di Science.org


NOTIZIE CARRIERE COMMENTO RIVISTE Scienza LOGIN DIVENTA UN MEMBRO

SETACCIO

Marte potrebbe avere un impatto profondo sulle correnti oceaniche profonde della Terra

Il Pianeta Rosso ha fatto uscire la Terra dalla sua orbita almeno due volte negli ultimi 40 milioni di anni

13 MAR 2024 11:25 ET DI ELI RAMOS

“ La Luna provoca le maree, ma non è l'unico corpo celeste che influenza l'acqua della Terra. Secondo uno studio pubblicato questa settimana sulla rivista Nature Communications, la gravità di Marte influenza le correnti oceaniche profonde del nostro pianeta”.

Altri lavori supportano l'ipotesi che Marte debba avere una certa influenza sulla Terra. In questa sezione ho combinato queste dinamiche con la premessa scientifica secondo cui la Luna influenza la quantità di precipitazioni attraverso la sua attrazione gravitazionale sull'atmosfera terrestre.

Nella pagina successiva troverai un esempio (fonti utilizzate) delle date in cui il Medio Oriente ha subito forti piogge, inondazioni e vittime umane. I dati provengono da uno studio che ha esaminato la dinamica degli eventi di precipitazioni estreme nel Levante e nel Medio Oriente. Fonte: Eventi di precipitazioni estreme in Medio Oriente: dinamica del bacino attivo del Mar Rosso AJ de Vries, E. Tyrlis, D. Edry, S. o Krishak, B. Steele, J. Lilyfeld. Prima pubblicazione: 12 giugno 2013 https://doi.org/10.1002/jgrd.50569

Nr.	Years and Months	Days	Sources of Motivation [a]	Societal Impact	Case Studies
1	Oct 1979	20–23	1,2	50 casualties, 66,000 people affected, and US$ 14 M damage in Egypt (flood) [b]	
2	May 1982	13			
3	Oct 1987	16–18	1,2	30 casualties in Egypt (storm on 17 Oct) and nine casualties in Jordan (flood on 16 Oct) [b]	
4	Oct 1988	16–19	1		
5	Oct 1991	12–14	1,2,3		*Greenbaum et al.* [1998]
6	Dec 1993	20–23	3	two casualties and estimated damage US$ 10 M in Israel [c]	*Ziv et al.* [2005]
7	Oct 1994	10	1,2		
8	Nov 1994	2–4	1,2,3	600 casualties,160,660 people affected, and US$ 140 M damage in Egypt (flood, 2–8 Nov) [b]	*Krichak and Alpert* [1998], *Krichak et al.* [2000]
9	Nov 1996	16–18		12 casualties and 260 people affected in Egypt (flood, 13–18 Nov) [b]	
10	Oct 1997	17–19	1,2,3	15 casualties and US$ 40 M damage in Israel (flood from 17 to 19 October), four casualties, and US$ 1 M damage in Egypt (flood, 18–20 Oct) and two casualties and US$ 1 M damage in Jordan (flood, 18–20 Oct) [b]; at least six casualties in Egypt, nine in Israel, and two in Jordan [c]	*Dayan et al.* [2001]
11	Nov 2003	23–25			
12	Oct 2004	28–29	3		*Greenbaum et al.* [2010]

The Dow's Biggest One-Day Drops

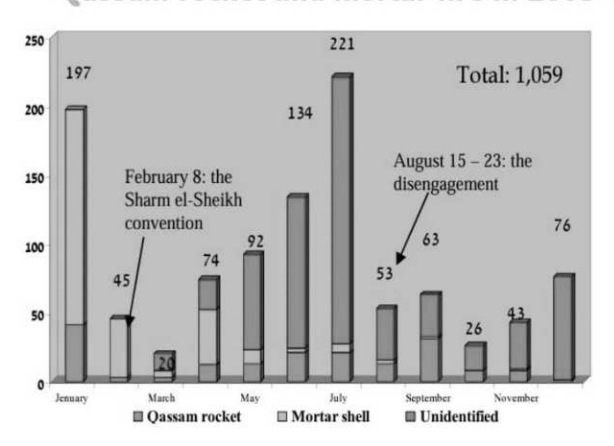
Here's where yesterday's drop of 586 points ranks among the worst drops in the Dow's history:

Date	Close	Change	Percent
9/29/2008	10,365.45	-777.68	-6.98%
10/15/2008	8,577.91	-733.08	-7.87%
9/17/2001	8,920.70	-684.81	-7.13%
12/1/2008	8,149.09	-679.95	-7.70%
10/9/2008	8,579.19	-678.92	-7.33%
8/8/2011	10,809.85	-634.76	-5.55%
4/14/2000	10,305.78	-617.78	-5.66%
8/24/2015	15,873.22	-586.53	-3.56%
10/27/1997	7,161.14	-554.26	-7.18%
8/21/2015	16,459.75	-530.94	-3.12%

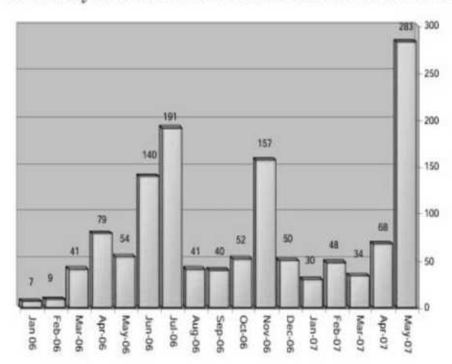
Largest daily percentage losses[5]

Rank	Date	Close	Change	
			Net	%
1	1987-10-19	1,738.74	−508.00	−22.61
2	2020-03-16	20,188.52	−2,997.10	−12.93
3	1929-10-28	260.64	−38.33	−12.82
4	1929-10-29	230.07	−30.57	−11.73
5	2020-03-12	21,200.62	−2,352.60	−9.99
6	1929-11-06	232.13	−25.55	−9.92
7	1899-12-18	58.27	−5.57	−8.72
8	1932-08-12	63.11	−5.79	−8.40
9	1907-03-14	76.23	−6.89	−8.29
10	1987-10-26	1,793.93	−156.83	−8.04
11	2008-10-15	8,577.91	−733.08	−7.87
12	1933-07-21	88.71	−7.55	−7.84
13	2020-03-09	23,851.02	−2,013.76	−7.79
14	1937-10-18	125.73	−10.57	−7.75
15	2008-12-01	8,149.09	−679.95	−7.70
16	2008-10-09	8,579.19	−678.91	−7.33
17	1917-02-01	88.52	−6.91	−7.24
18	1997-10-27	7,161.14	−554.26	−7.18
19	1932-10-05	66.07	−5.09	−7.15
20	2001-09-17	8,920.70	−684.81	−7.13

2005
Source: https://www.terrorism-info.org.il/en/18892/



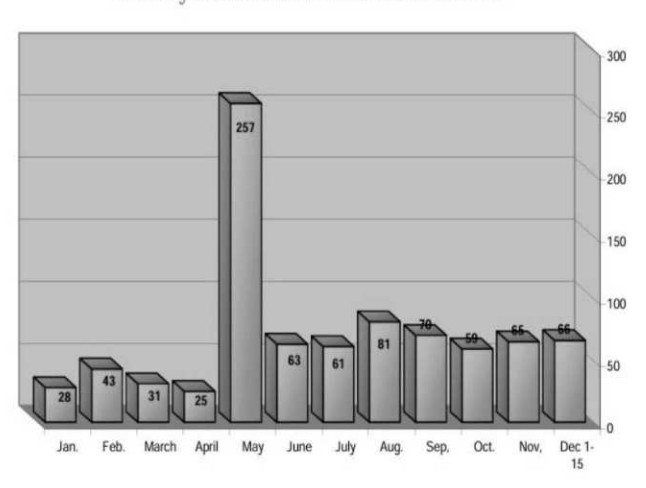
2006
Source: https://www.terrorism-info.org.il/en/18614/



2007

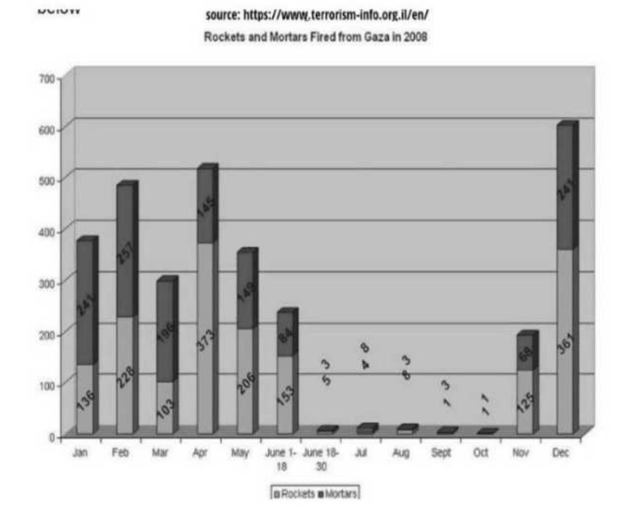
Source: https://www.terrorism-info.org.il/en/18534/

Monthly distribution of identified rocket hits

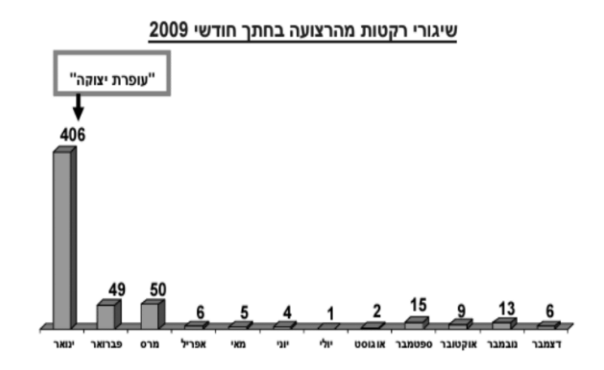


2008

Source:https://en.wikipedia.org/wiki/File:Rock_mort_gaza_2008.JPG



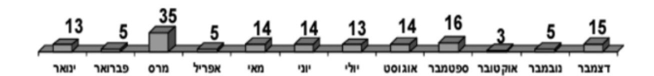
2009
Source: https://www.shabak.gov.il/reports/



2010
Source: https://www.shabak.gov.il/reports/

שיגורי רקטות מהרצועה בחתך חודשי 2010

סה"כ: 152 שיגורים



2011

Source: https://en.wikipedia.org/wiki/List_of_Palestinian_rocket_attacks_on_Israel_in_2011

Month	Missiles launched		Effect of missiles		Retaliation by Israel	
	Rockets	Mortars	Killed	Injured	Killed	Injured
January	17	26		4		
February	6	19			1	17
March	38	87		3	9	8
April	87	57	1	6	8	23
May	1					
June	4	1				
July	20	2				2
August	145	46	1	30	4	2
September	8	2				
October	52	6	1	2	12	
November	11	1		1	2	6
December	30	11			4	4
Total	**419**	**258**	**3**	**46**	**40**	**62**

2012

Source: https://en.wikipedia.org/wiki/List_of_Palestinian_rocket_attacks_on_Israel_in_2012

Month	Missiles launched		Effect of missiles		Retaliation by Israel	
	Rockets	Mortars	Killed	Injured	Killed	Injured
January	9	7				
February	36	1			1	1
March	173	19		14	26	
April	10					
May	3					
June	83	11		1		
July	18	9		1		
August	21	3		1		
September	17	8		7		
October	116	55			8	2
November	1734	83	6	45	6	51
December	1					
Total	**2,221**	**196**	**6**	**69**	**41**	**54**

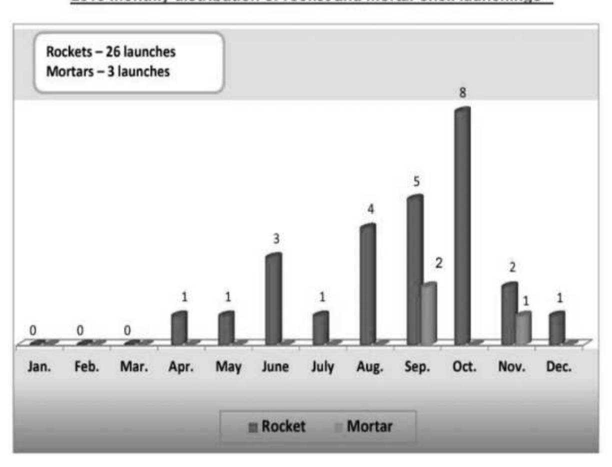
2013
Source: https://en.wikipedia.org/wiki/List_of_Palestinian_rocket_attacks_on_Israel_in_2013

Month	Missiles launched		Effect of missiles		Retaliation by Israel	
	Rockets	Mortars	Killed	Injured	Killed	Injured
January						
February	1					
March	4					
April	17	5			1	
May	1	4				
June	5					
July	5	2				
August	4					
September	8					
October	3	2				
November		5				
December	4					
Total	**52**	**18**	**0**	**0**	**1**	**0**

2014
Source: https://en.wikipedia.org/wiki/List_of_Palestinian_rocket_attacks_on_Israel_in_2014

Month	Missiles launched		Effect of missiles		Retaliation by Israel	
	Rockets	Mortars	Killed	Injured	Killed	Injured
January	22	4				
February	9					
March	65	1		1	1	
April	19	5				
May	4	3				
June	62	3		6		
July	2,874	15[6]	6	34	1,122	7,800
August	950		2	19	540	1,913
Total	**4,005**	**31**	**8**	**60**	**1,663**	**9,713**

2015
Source:



See Jewish virtual library for statistics between 2016 and 2022

https://www.jewishvirtuallibrary.org/palestinian-rocket-and-mortar-attacks-against-israel

In 2023, the data was taken from both

https://www.jewishvirtuallibrary.org/palestinian-rocket-and-mortar-attacks-against-israel

and

Wikipedia
https://en.wikipedia.org/wiki/List_of_Palestinian_rocket_attacks_on_Israel_in_2023

In 2024, the data was taken from
https://www.shabak.gov.il/reports/

and also from news sources about Iran's attack in April of 2024